Д. С. ПРЕНС D. C. PRINCE

621.38

ЭЛЕКТРОННЫЕ ЛАМПЫ, КАК ГЕНЕРАТОРЫ МОЩНЫХ ЭЛЕКТРОМАГНИТНЫХ КОЛЕБАНИЙ

VACUUM TUBES AS POWER OSCILLATORS

перевод с английского и и ж. К. Э. В И Л ЛЕР



63A

д. с. прен **КО**НТРОЛЬН**ЫЙ** D. С. PRINCE **ЭКЗ**ЕМПЛЯР



ЭЛЕКТРОННЫЕ ЛАМПЫ, КАК ГЕНЕРАТОРЫ МОЩНЫХ ЭЛЕКТРОМАГНИТНЫХ КОЛЕБАНИЙ

VACUUM TUBES AS POWER
OSCILLATORS

перевод с английского инж. К. Э. ВИЛЛЕР

Республіканская назукова-тэхнічная бібліятэна

ЛЕ**Н**ИНГРАД

Эта расота является попыткой свести проектирование мощных дамповых генераторов к техническим основаниям, подссвым тем, которые служат для проектирования моторов и трансформаторов. При этом здесь изложены осъяснения многих побочных явлений, нарушающих правильную расоту генераторов.

Как электрон, так и явления при высокой частоте, по природе своей, не могут сыть наслидаемы или измерены непосредственно и поэтому необходимо найти объяснений этим посочным явлениям построением гипотез и провегной экспериментальным путем ожидаемых результатов. Так как сесчисленное множество гипотез может дать одни и те же результаты, то нужно откровенно признать, что некоторые выдвинутые пункты граничат со спекуляцией. Пусликуя эту статью, автор надеется, что ему удестся доказать правильность приводимых им утверждений.

В этой статье автор пытался сольше говорить о вопрс сах, о которых до сих пор не говорилось совсем, или очен мало, чем рассмотреть все случан применения электронных ламп. Во всех главах, кроме с-й, рассматриваются только свосодные колесательные контура Вопрос о связанных контурах затронут в главе б-й только для того, чтосы по казать, как можно с помощью того же общего метода авали ва определить влияние возсуждаемого контура на величину отдачи и полезной мощности.

Основанием для этой статьи послужили поверочные опыты, проделанные мг. г.в. Vogdes и мг. д. Schmidt. В ском чательной своей форме эта статья Выла проработана мг. Vogdes и издана мг. Е. W. Kellog. Автор благодарит всех за помощь.

солержания

Глава 1

и восх тросусмых напряжений, при которых электронная лампа судет расотать, как генератор оссуждение вопроса о возникновении колесании и ориво (втоскіна) 5-18

Глава 2

ИЗЛОЖЕНИЕ ПРИСЛИЖЕННОГО МЕТОДА, КОТОРЫЙ ДЛЯ ОПРЕделения различных вакторов, как капример, пространственный заряд, напряжение и т.д. проще кропотлано-19-27

Глава 3

Проентирование кситура с одной настровкой на основании условии главы 1. Установление критернев для высора емкостей и самоннуущий контура. Оссуждение условии прерывистости колесании

Traba 4

Проектирование внодного контура, допускающего частичную настроику. Изложенный здесь порядок расчета типичей для методов, применимых ко многим контурам одна самоиндукция и емкость которых служет для насстроики, но имещим еще другие самоиндукции и емкости, присоединенные к главному контуру

Гиава 5

Расомотрение расоты вакуумной дампы на двуволниотый контур, как простое следствие отсказания на спососы контролирова вия колесании в двуволнистом контуре

Гжава 6

Оссуждение вопроса о влиянии приемного контура не величне полезной мощности и К.П.Д. мощного лампо-

Глава 7

Применение методов главы 1 к контурам с несинусоидальным анодным напряжением, указание на то как можно значительно увеличить полезную мощность й КЦД

специальнук форму подбором контуров, дакщим колесаний кривой 91-

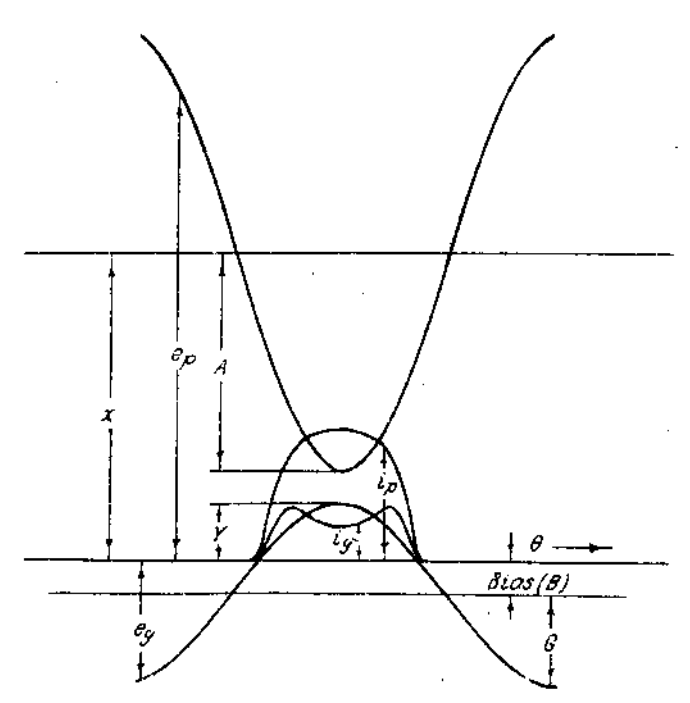
Краткое сравнение между теорией и наслидениями в отношении эмиссии, пространственного заряда и уси-лительной постоянной. Оссуждение вопроса о разде-лении первичных и вторичных электронов между ано-дом и сеткои

TAABA 1

ЭЛЕКТРОННАЯ ЛАМПА, КАК МОДНЫЙ ГЕНЕРАТОР ЭЛ.

МАГНИТНЫХ КОЛЕВАНИЯ.

Целью этой статьи является развитие метода расчета условий работы мощного лампового генератора в зависимости от характеристик лампы. В первой части мы ограни...
чимся синусоидальными колебаниями в простых контурах.
В этом случае основные соотношения имеем следующие (фиг1)



Фиг. 1. Соотношение между напряжением и током в Плиотронном генераторе.

е, -мгновенное значение напряжения между сеткой и

х подожное напряжение между аводом и нитью; «» «исторовеное значение напряжения между аводом и

1, *мгновенное значение анодного тока;

BUTSC:

Все предыдущие соотношения совсем не вависят ни от практеристик лампы, ни от частоты или формы кривой копасаний карактеристики лампы не могут быть просто выра
пакты через уравнения статических кривых, так как они про

 $\frac{\int_{c}^{c} (X-e_{p}) i_{p} - e_{q} i_{q} d\theta}{\int_{c}^{2\pi} Xi_{p} d\theta} = \text{оредиему значеник К.П.Д.}$

пости дарактористики лампы не могут сыть просто выра

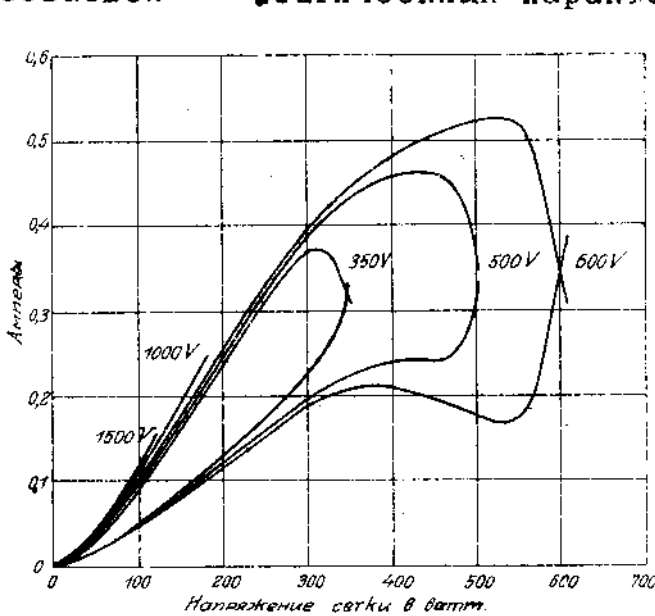
воды через уравнения статических кривых, так как они про
водят через области, в которых действуют различные физи
водине законы При усилении работа происходит в небольшой
вости одной зоны, где имеет место один и тот же закон, в

до время как при стационарных колебаниях рабочая точка переходит из одной воны вдругую, соседнюю с ней. Это ста нет ясным, если рассмотреть ряд действительных характе-

ристик. На фиг. 2-й помещено семейство кривых для 1клв-я лампы Gen. El. Comp. Ниже 10 в. ток, прислизительно, пропорционален степени ½ от напряжения. Показатель степени постепенно падает до ¾ выше 10 в., становится равным 1-г около 250 в., а дальше принимает отрицательное значение. Однако, можно использовать непосредственно статические кривые, производя интегрирование шаг за шагом; т.е. можно разсить целый период на ряд точек и, интегрируя от дельно между каждыми двумя отдельными точками выбести затем и среднее значение подводимой и полезной мощности

ва целий период.

Так как не наблюдается доступного измерению запаздывания в движении электронов, то, независимо от частоты,
можно пользоваться статическими характеристиками.



Фиг. 2. Характеристики Плиотрона UV-206 N 7,621

Для выполнения интегрирования ваг за шагом необходимо определить пять переменных - X, e_p , 1_p , e_q , 1_q . Это производится следующим образом:

х - постоянное внодное напряжение, на которое расчигана лампа, в нашем случае - 10.000 в. е, - не может быть выражено в общей форме. В генерато ре с, сравнительно, несольшими потерями, можно, с очень несольшой ошиской, предположить, что судут индуктировать ся синусоидальные напряжения. Таким образом извества форма кривой колесаний, но неизвестна ее амплитуда. Осозвачим ее через "А". Это синусоидальное напряжение накладывается на приложенное постоянное напряжение. \mathbf{e}_g создается тем же потоком; что и \mathbf{e}_p и потому форма кривой колесаний здесь та же. Из ур-ния (5) видно, что полезная мощность имеет положительное звачение для 💂 вімінив и і,- вахівив. Это значит, что развость фаз между e_p и i_p равна 180° . И так как i_p в разе с e_g , то разность фаз между e_p и e_g равна 180° (фиг.2). Амплитуда н ось е₄ неизвестны. Осозначим их через "G" и "В". Зная ед и ед, можно из характеристик непосредственно получить 1, и 1, Общее уравнение трехэлектродной лампы имеет следуюший вид: $i = f(e_g + \frac{e_g}{\lambda t})$. рткуда следует, что $e_q = -\frac{\theta_2}{\pi^2}$ ДЛЯ $1_2 = 0$. . . е_р = X - A cos θ (9) Пусть (10) $e_q = -B+G \cos \theta$ Тогда, если θ_r = углу, для которого i_p =0 $-B+G\cos\theta_1 = -\frac{X-A\cos\theta_1}{m}$ Для углов, сольших 2 6, , как подводимая, так и полезвая

Мошность равны нулю и, следовательно, производить даль чейшее интегрирование не нужно. Входящие в уравнение (11)

ИСПРАВЛЕНИЕ В строках С, D, F, H, N и О следует вмес читать "е":

Пост. внови. напряв. : (Х)

Постоянная усиления (м)

X-KH

макс.сеточв. вапряж. (У)

миним. анодн. напряж. (2)

			:				•		,	,	
		8.	b	c	đ	e	. t	g	ħ	1	j
					Авод	вое	вапр	я ж е н	ие	·	
	Θ	00	100	20°	304	40°	500	60°	700	` 80°	90°
Å	1-cos A	0	0,0152	0,0603	0,1340	0,2340	0.3572	0.5000	0.6580	0,8264	1,000
В	(X-Z)(1-cos 0)				(X-Zx	на	строчку	"A"	<u>-</u>		
C	1,				3 · c	вигост.	В.				
D	14/14	, , , , , , , , , , , , , , , , , , ,			Стр	ка "С*+ <i>м</i>	د				
					Се	0 H P O	е напр	я ж е н	и е 🤇		
E	Угол отсечки тока			Вставля	NOT ROTE	ю выбран	H Ne SBAR	вния угл	a Θ ₁)		
F	¥+1n/m					трочка "					
G_	l-cos θ	0	0,0152	0,0803	0,134	0,2340	0,8572	0,5000	0,6580	0,8264	1,000
H	Мако. знач. 1 ₄ (G)				CTI	ıка "F" +		··			
I	перем. составл. Е,				Cr _j	ika "Н" +	· √2				
K	Напр. смещения.				C r i,	ка "H" -	Y				
	-			Pa	счет	асоч	ей т	о ч к и			
	Θ			(Высери	те одно	тресуем	PERS XH	еви#)	4		
	Θ -	00	100	200	30°	40°	50°	60°	700	800	900
L	1-0080	ó	0,0152	0,0803	0,134	0,2340	0,3572	0,5000	0,6580	0,8264	1,0000
М	G(1-cos0)		(1	Зовьмите	аначен	; , COOTE	етотвую:	mee Θ ₁)			
- 1					··· 🕇 😅	и д вигодт:	7				
0	lg +1 p/M				01	9K8 "N"	POGTO +	Ka "D"			
P	12				Ę	ется из	х-ки ла	MUR			
٥	14	\			Ę	ет кото	х-ки ла	WUR			· .
R	Потери ва аводе				C	чка "Р"	+ orposi	Ka "C"	······································		
S	Потери на сетке	•			C	чка "С"	+ 670041	ka "N"			,

Среднее значение анодного ток $\frac{P_0+2P_6+2P_c+2P_d}{36}$ и т.д. $\frac{O_0-2O_4+2O_c+2O_d}{36}$ и т.д. $\frac{S_0+2R_4+2R_5+2R_c+2R_d}{36}$ Среднее значение анодн. потерь $\frac{R_0+2R_1+2R_c+2R_d}{36}$ и т.д. $\frac{S_0+2S_1+2S_d}{36}$ и т.д. $\frac{S_0+2S_1+2S_d}{36}$ и т.д. $\frac{S_0+2S_1+2S_d}{36}$

Потери в лампе - сумме двух пледних -

Потери в гридлике = смещ напрі среднее знач. сеточн. тока.

Полные потери (исключая потерна накал) = сумме последних двух.

Подводимая мощность (исключая инвость накала) = X х среднее значе-

не авного тока.

Полезная мощность = подводимойощности - полные потери.

Н.П.Д. (исключая накал) : Полной мощности = Поднимую мощность

Исправление в первых колонках таблиц:

Таблица:	Строка:	Напечатано:	Должно быть:
Анодное напряжение	4 и 5	I	e
Напряжение сетки	2.	1	e
1-ая рабочая точка	4	ı	e
· 10 11 52	5	$l_p \longrightarrow l_p/p$	$e_p + e_D/\mu$

ттеправление в первых колонках таолиц.

IADMUA C.

Тиблица:	Строка:	Напечатано:	Должно быть:	i	F	A	(9	i	T	Γ		H	E	P	A	T C	ħ	A	•			
нодное папряжение	4 и 5	l	e																			
Напряжение сетки	2	l	e	ι .	UV	-	:6	i			Πo	o P								000	ю.	•
1-ая рабочая точка	4	1	e		N				00	n.	. Ми	н.					ИГ.			50	В.	
n 11 12	5	$l_g \longrightarrow l_p/\mu$	$e_g + e_p/\mu$	Ç.	or.		a i.e	- £		D.	• 13:11	•••		~ -			. 6 -					

АНОДНОЕНАПРЯЖЕНИЕ.

Θ.	0°	10°	20°	30°	40°	ã0°	60°	70°	80°	90°
(1-cos0)	. 0	0,0152	0,0803	0,1340	(2340	0,3572	0,5000	0,6580	0,8264	1,000
(X-Z)(1-cos θ)	. 0	140	555	1240	1170	333C	4625	6080	7650	9250
12	750	890	1305	1990	3920	4080	5375	6830	8400	10000
14 /m	3	4	5	8	12	16	22	28	34	40

напряжив сетки.

									1	
θ,	٥٥	10°	20°	30°	40°	50°	€0°	70°	80°	90°
Y+1 p/pc	603	804	605	608	612	616	622	628	634	640
1-00s O ₁	0	0,0152	0,0603	0,1340	1,2340	0,3572	0,5000	0,6580	0,8264	1,000
G	∞	39800	10000	4530	2010	1710	1240	860	768	640
Пар. состав. Е	ص	28200	7070	3200	1845	1210	877	679	543	453
Напр. смещенин.	∞	39200	9400	3930	2010	1210	640	360	168	40

1-я расочая точка. θ_{i} =70 $^{\circ}$

θ	0°	10°	20°	30°	40'	50°	60°	70°	80°	. 90°	Сумма	Средн анач.
1-cosθ	0	0,0152	0,0803	0,1340	0,2310	0,3572	0,5000	0,6580	0,8264	1,000		
G(1-ccs)	:											
1,9	600	586	543	471	374	≥56	128	28				
1g-In/m	603	590	549	479	386	272	142	0				_
in	560	5 50	540	Б10	479	330	120	0		, , , , , , , , , , , , , , , , , , ,	5610	156
iq	140	145	160	190	230	170	60	0			2050	-57
Іотери на ан.	420	494	705	1020	1375	1345	645	С			11590	322
Потери на сет.	84	85	87	90	86	44	7	0			902	25

Потери в лампе - 347

Потери в гридлике = 20

Полные потери (исиличая накал) = 367

величины А. В и С можно рассматривать, как независимые переменные.

Обозначим через "Y" расотояние наибольшего сеточного напряжения от нулевой оси.

Тогда и уравнение (11) может сыть переписано в виде:

 $\frac{X-A\cos\theta_2}{\sqrt{n}} = -Y+G(1-\cos\theta_2)$ (12) (X-A) является теперь минимальным анодным напряжением, а Y максимальным положительным напряжением на сетину. Из характеристик (1иг.2) видно, что при Y>0,8(X-A) наступают условия, при которых начинается уменьшение 1_{7^0}

таступают условия, при которых вачинается уменьшение ід и увеличение ід. Это может привести к понижению как полевной мощности, так и К. П. Д., поэтому переходить за
эту точку не следует. Это положение можно еще объяснить
так, что при возбуждении в генераторе колебаний амплитуда продолжает расти до тех пор, пока подводимая к комтуру мощность не уравновешивается рассеиваемой в нем. Исследования показали, что эта точка имеет место тогда, кот-

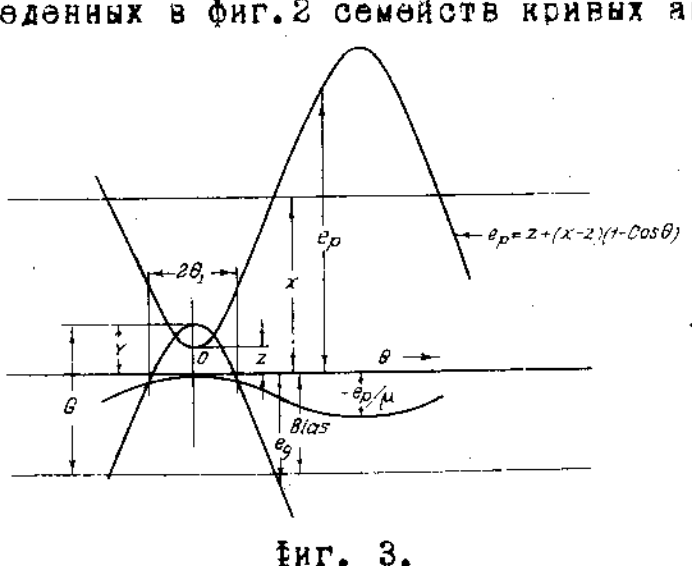
да максимальное напряжение на сетку составляет 80% минямального анодного напряжения. Что это предположение не ваключает в себе большой ощибки, можно видеть из следующих рассуждений. Обращаясь к вычисленной нами точке (таблицы2) увидим, что увеличение переменного анодного напря жения на 2% составит 185 в. Этому соответствует увеличевие сеточного напряжения на 18 в. Результирующее минимали ное анодное и максимальное сеточное напряжения будут осответственно - 565 в. и 618 в. При этом условии большая

часть тока эмиссии идет на сетку, а анодный ток практически равен нулю (см. хар - ки фиг.2). Вследствие этого
полезная ношность очень сильно понизится и лампа ве в состоянии судет возмещать все возрастающие с амплитудой потери. Т. к. уменьшение переменного анодного напряжения на
2% вызвало погижение полезной мощности, и т. к. очевидно,

что полезная мощность падает при всяком уменьшении анодис реакции, то отсюда следует, что при выбранных нами величинай (тасл. 2), мы находимся очень слизко от точки устов чиной расоты генератора. Ембор а определяет Y, а дополнительный высор θ_{i} (угла отсечки тока) определяет G. Принименья двум независимым переменным ряд значений, мы можем исследовать расоту лампового генератора.

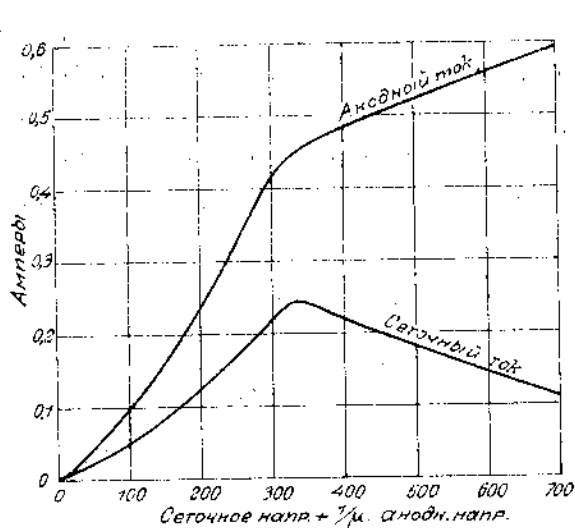
Для облегчения работы здесь приведена форма таблицы 1 с указанием, как заполнить каждую строчку. Таблица 2 пре ставляет собой образцовый расчет по такой форме. Строчки от A до K включительно заполняются для заданной пары значений максимального сеточного и минимального анодного напряжений только один раз. Строчки от L до S долж-

ны ваполняться отдельно для каждой расочей точки. Приводимая эдесь номенклатура относится к фиг.З.Каж-дое из приведенных в фиг. 2 семейств кривых анодного и



сеточного тока для 1-клв - ной лампы можно заменить одной кривой и экстраполировать с достаточной точностью. Эта замена выполнена на фиг. 4 и с помощью этих кривых мож изводить расчет для минимального анодного напряжения до

1000в. Мгновенное значение потерь в лампе при минимальном анодном напряжении в 1000в. и маноми: сеточи. вапряжей в 800в. настолько велики, что в этой области нельзя поль зоваться статическими характеристиками. Идеальным методом для снятия динамической характеристики лампы являет он осциллографический, т.к. он дает возможность регистри ровать мгновенные токи и напряжения сез вреда для лампв.



Фиг. 4. Экстраполированные х-ки Плиотрона UV-206 N7621.

Тиг. 5 дает результаты расчета точек для трех значе - ний минимального анодного напряжения при различных $\theta_{\rm Z}$ Так как само $\theta_{\rm Z}$ для нас не представляет интереса, то по- отроена зависимость К.П.Д. и потерь от величины полезной

мощности. Величина полезной мощности ограничена нагреванием анода, который в рассматриваемом нами случае допускает рассеяние в 350 ватт. Таким образом, соответствея-

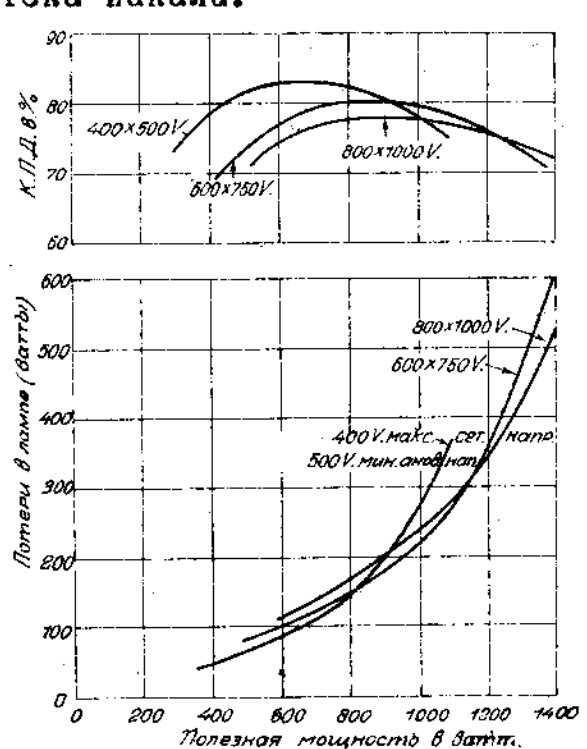
ным подбором всех величин, можно, не переходя за допуска емые пределы для лампы,получить полезнук мощность 1080, 1195 и 1215 ватт. Казалось бы, что кривые изменения поте и К.П.Д. должны были бы пересечься при одном и том же зна

чении полежной мощности. На самом деле это не так, т. к. потери в грид-лике входят в К.П.Д., но не включаются в величину общих потерь на нагревание лампы.

Ясно, что при сольших значениях минимального анодного напряжения и потерях в 350 ватт, полезная мощность судет меньше, чем при мин. анод. напр. в 1000 в. Еслизи этой

точки судут жежать наивыгоднейшие условия в смысле полезной мощности, хотя в значительных пределах за этой точкой, она все еще не будет падать. Так как все эти ве личины не зависят от частоты, то они, практически, являются основанием для проектирования люсого контура при постоянном напряжении в 10000 в.

Подобным же образом можно произвести расчет для других ламп, или тех же, но при других значениях анодного напряжения и тока накала.



фиг. Б. Вычисленные значения К.П.Д.и потерь в лампе UV-206 при 10000в.пост. напряжения.

Из фиг. 5 видно, что подбор величив, соответствующих наибольшей полезной мощности, не всегда является наилуч-шим для меньшего значения полезной мощности. Можно про-вести огибающую, на которой будут лежать точки минимальных потерь для любого значения полезной мощности. С по-мощью такой кривой можно произвести выбор постоянных кон

тура для любого заданного ряда условий. Это построение показано на фиг. 6 и 7. Кривые К.П.Д. и потерь для постоянного, напр. в 1500 в., приведени на фиг. 8. Выбрав величину мощности, можно из фиг. 6 и 7 получить соотвэтотвующие значения постоянных контура, а из остальных кривых величину К.П.Д. и потерь.

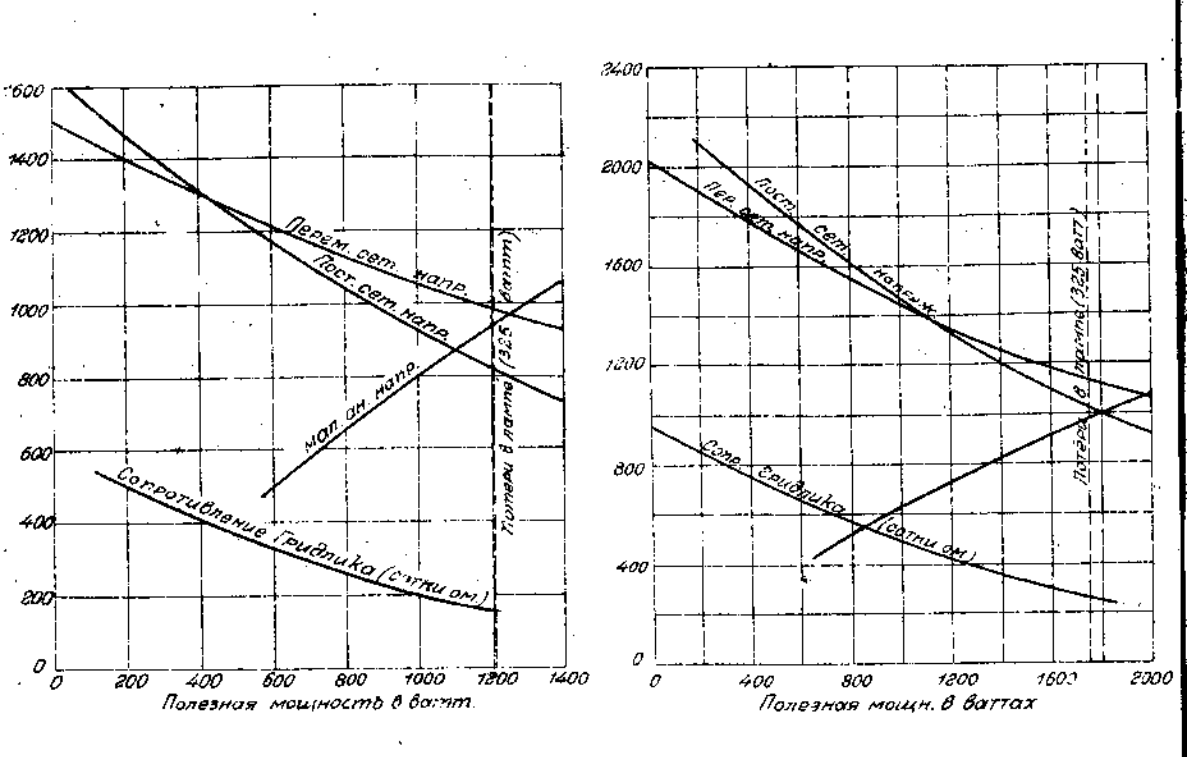
пинавакон винавоннинера

Имея все денные для лампового пенератора, можно, осну но, не делая специальных исследований, определить, будут ли колебания возбуждаться автоматически. Однако, в ососых случаях бывает желательно в этом убедиться. Предположим, что мы хотим определить, будет ли ввычисленной точке иметь место самовозбуждение. Как только рубильник зам кнут, мы имеем на аноде полное напряжение в 10.000в. Напряжение на сетку равно нулю. Фит. 9 изображает соответств сщую этому моменту часть характеристики. Всякое проходящее возмущение, как например, замыкание рубильника возбудит в колебательном контуре небольшой ток. А это создаю напряжение, которое распределится между анодом и сеткой определенном соотношений, зависящем от способа присоединения их к колебательному контуру. Для рассматриваемой нами точки $\Delta e_g = -0.104\Delta e_p$.

Сохраняя зависимость $\triangle e_g = -0$, $104 \triangle e_p$, мы можем графически построить зависимость анодного тока от индуктируемог (переменного) анодного напряжения. Для этого предполагаем ряд значений результирующего анодного напряжения - 10.000в., 9.900в., 9.800в. и т.д. Разность между этимя вначениями и 10.000в. эквивалентна индуктируемому в коле Сательном контуре напряжение, а напряжение на сетку в 0,104 раза больше этой разности. Такого рода кривые изо

Сражены на фиг. 10. Проведя новую ось х'черев конец ордиваты, соответствующей нулевому потенциалу, и, относи зна чения токов к этой новой оси, мы получим в каждой точке мгновенные звачения подводимых к контуру вольт и ампер

На несольшом расстоянии от начала координат мы можем иривую рассматривать, как прямую с наклоном, обратная во лична которого представляет сосою омическое сопротивлению, потресляющее получаемую от лампы мощность. Если



Тиг. 6. Вычисленные наивы- Фит. 7. Начисленные наигоднейшие условия расоты для выгоднейшие условия расолампы UV-206 при пост. напр. ты лампы UV-206 при пост. в 10.000в. напр. в 15.000в.

эквивалентное сопротивление сольше этой величины, то колосания возникнут и судут расти до тех пор, пока не судет достигнута точка устойчивой расоты. Теряемая в контуре мощность судет равна $W_{L} = \frac{(\Delta \Phi_{T})^{2}}{L}$. С увеличением "г молности в контуре теряется меньше и излишки ее накопиляются в виде колебательной энергии до тех пор, пока

воврастарщая амплитуда колебаний становится недостаточвой для того, чтобы покрыть возрастающие при этом потери. Эквивалентное сопротивление представляет собой сопротивдение контура, допускающего многократную настройку и обратно пропорционально омическому сопротивлению отдельных частей его. В рассматриваемом нами случае полной нагрузне соответствует сопротивление в 35.800 ом. Так как самовозбуждение имеет ме-

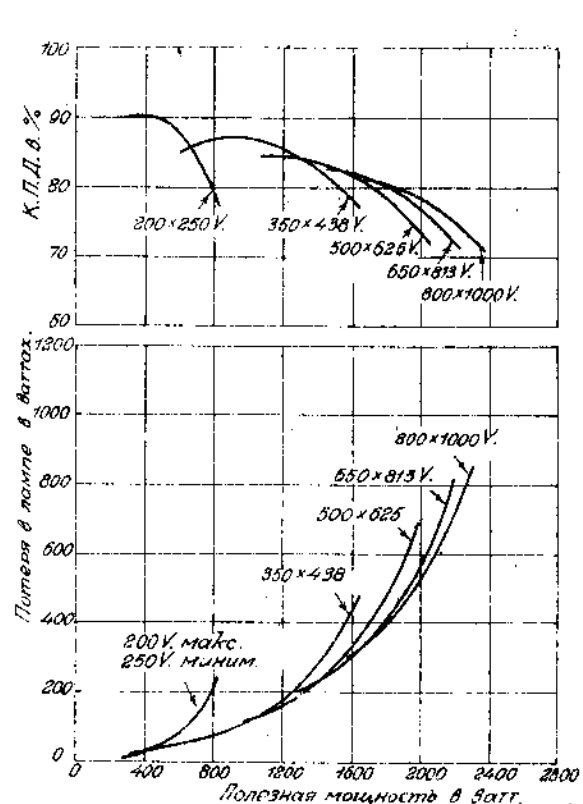
осеспечено. Внутри ослаоти можду 8.700 и 35.800 омами лампа при длительной расоте судет перегре ваться, что не является полезным и может сыть допущено только в исключительном случае, когда тре Суется сольшой запас для самововсуждения. Для солое низких энодных напряжений эта область все суживается до тех пор. пока не наступит точка, в кото рой самовозсуждения не су дет. При опытах с понижен

ным анодным напряжением Следует помнить об этой

точка. Точно настроенный

контур часто не дает са-

ото при 8.700 омах, то, следовательно, адесь оно



Тиг. 8. Вычисление К.П.Д. и потери для лампы UV-206 при пост. напр. в 15.000в.

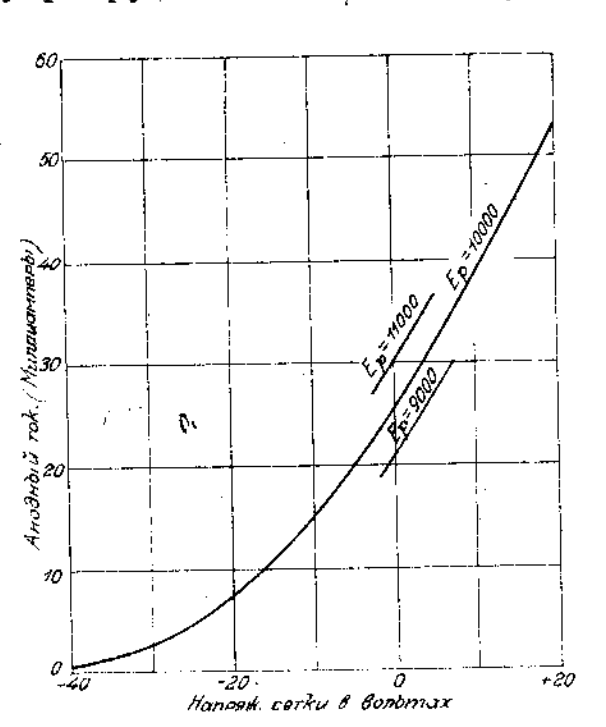
мовоэсуждения при половинном анодном напряжении, несмотря на то, что он судет колесаться, если дать вначане полное напряжение и затем постепенно понижать его.

Что касается устойчивости колесаний, то никаких завлючений на основании фиг. 10 сделать нельзя. Как только колебания возникли, сетка начинает заряжаться отрицател но и оси представленного здесь графика перемещаются.

CPBB КОЛЕВАНИЙ (blocking).

Некоторые, даже и хорошей конструкции, лампы подвер жены явлению, известному в технике под названием "blo-cking". Внешние признаки этого явления заключаются в при кращении колебаний, сопровождающемся внезапным повышением анодного тока до значения, большего того, которое мы можем получить при полном анодном напряжении и нуле-

вом потенциале на сетку. Это явление "blocking", обыч-



Биг. 9. Характористики лам-

пы UV-206.

но, разрушает мощные лампы, вследствие рассенваемой при этом на аноде колоссаль.

Однокиловатная лампа UV-206, взятая здесь
в качестве примера, прав тически не соится "ь1оокіпа", но природу этого
явления можно изучить,
экстраполируя сложную жа
рактеристику фиг. 4. Крив
фиг. 11 можно мысленно
продолжить до значения
сеточного напряжения в
2.000в. Когда сеточное
напряжение проходит через значение в 1.000в.,

сеточный ток меняет свое направление. При этом па дение напряжения вдоль грид-лика также меняет свой энак и ось сеточ - ного напряжения перемеща

ется в подежительную область. Т. к. при этом тек течет от сетки, то между сеткой и нитью имеется эквивалениное окнелаиточно воналежение грид-лика равно 18.000 омам, то падение напряжения вдоль него для тока-тоша равно 1.250в. При этих условиях равновесне установится в точке "А", но оно будет неустоичявым. т. к. водивоточвующий этому состоянию сеточный ток -- 80 на даве падение напряжения вдоль сопротивления гри лика в 1.440в. что в свою очередь совласт ток в =180мл. A STOT TOK ABOT ORATE ви винежеднен синедеп сетку больша 2.000а., BO B STON TORRS TOR ан ареа тибанен атепо правление и равнове оне установится в точке "В", Проведя из на: чала колрдинат касатель ную и кривой. Найдем точ ку С. соответствующую наи изньшему сопротивлению, дающему устойнивое равне весие при положительном дапряжении на сетиу. При #DOIDO X RHEGPARE XM 4HOM

тивления врид-лика срыв

Makeum 68301

 e_g/i_g . Если сопротивление

колебаний (plocking) нефиг. 10. Кривые вознижнове-BOSMORSH. ния колебаний при пост. напр. Нужно ваметить, что в 10.000в. для наступления "blocking"

необходимы том слодующих одновременных условия: 1)большое значение минимального анодного напряжения; 2) большое значение максимального соточного напряжения и. 3) сольшое сопротивление грид-лика, Это положение, обычает увенительной попытке увени-

6:5

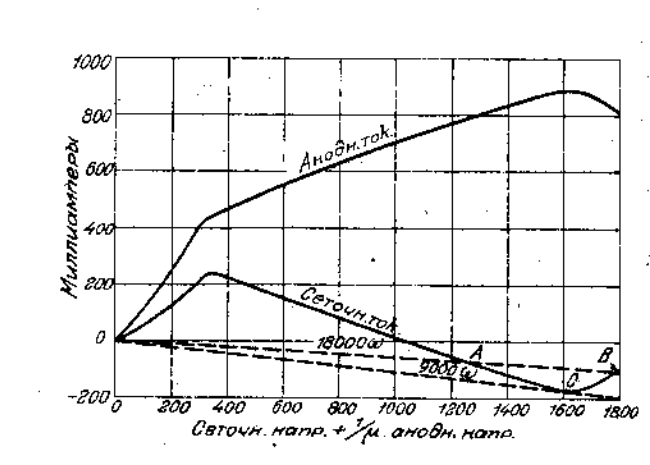
навунова-тэхцічная

чить полезную мощность, уменьшением эффективного сопротивления анодного контура. При этом понижается ампдитуда колебаний и возрастает анодное напряжение. Экспериментатор, пытаясь восстановить амплитуду колебании,
увеличиваетьоебущение на сетку, вследствие чего напряжение на сетку повышается до значения, большего того,
при котором сеточный ток начинает убывать. В результате этого уменьшается и отрицательное напряжение на сетку, так что результирующее напряжение на сетку становится еще более положительным, до тех пор пока не наступает срыв колебаний (расоката).

При разумном построении контура можно совершенно изсежать "БІоокіпд".расмотрим вычисленную нами
для примера точку. Контур сыл подобран таким
осразом, что амплитуда
переменного анодного
напряжения сыла 9350в.

а амплитуда сеточного напряжевия-960 в. При

постоярном анодном напряжении в 10.000в.минимальное анодное напряжение равно 750в., следовательно, прежде чем сеточное напряже-



фяг: 11. Характер кривых, выражающих условия, при которых наступает "blocking".

ние примет значение, при котором сеточный ток становится отрицательным, анодное напряжение будет слишком мало для того, чтобы могло наступить явление "blocking.

тлава 2

ПРИБЛИЖЕННЫЙ ТЕОРЕТИЧЕСКИЙ РАСЧЕТ ПЛИОТРОНА С СИНУСОИДАЛЬНЫМИ АНОДНЫМИ И СЕТОЧНЫМИ НАПРЯ: ЖЕНИЯМИ:

Для качественного анализа лампового генератори поучеемая с помощьк изложенного в главе 1 точного метода асчета действительная кривая изменения анодного тока южет сыть с достаточной точностьк заменена частк синуюиды. Для такой кривой интегрирование производится ана итически вместо кропотливого интегрирования шаг за шаюм. Осратимся к фиг. 12: пусть

д - постоянное анодное напряжение;

е, - напряжение анод- нить;

часть всего потенциала, не потраченвая на преодоление пространственного зарядя;

i₂- аводный ток;

I - максимальное значение анодного тока;

с Такои величине, что (1+6)1 дает максималь:
пое значение анодного тока относительно
оси; для которой кривая анодного тока
есть синусоида;

 θ_2 и θ_2 — точки, в которых кривая анодного тока пере:

Т. к. колобательный контур точно настроен, то он эт чает только на импульсы его основной частоты и, слевательно, напряжение синусоидально, и т. к. при полной тружке ток должен итти тогда, когда падение внутри лам пы минимально, то внодное нагряжение не падает чиже зы четия (1-а) в которое соответствует потере на преодолен пространственного заряда.

$$1_{p}=I\left(-c+(i+c)\sin\theta\right)=If_{2}\theta$$

Основной закон имеем, конечно:

во при разности фаз между сеточным и анодным напряжение в 180°, действительное выражение очень тесно приближа: ется к виду: 1, «КЕ».

при желании можно получить высажение 12 = -Катл 0 + К', измение соответствующим осразом выражение для во- при

этом приближении нет вадобности в кропотливом интегрировании

mar sa marow.

Подводимая к гене: тору кошность задана выражением:

фир. 12.

N=E1,=EI(-c+(l+c) sip
$$\theta$$
)=

Потери в лание равны произведению из мгновенных энчении тока и падения напряжения внутри ламом.

HOTERHEI(1-asin
$$\theta$$
) (-c+(1+c) sin θ)) =
$$= \text{EII}_{\theta}\theta \mathbf{f}_{2}\theta \dots (8)$$

Полезная мощность=
$$(1)$$
- (2) -EIf₂ $\theta(1$ - $f_1\theta)$...(8)

K. П. Д.=(3)/(1)=
$$\frac{\text{EI}_{2}\theta(1-f_{1}\theta)}{\text{EI}_{2}\theta}$$
=

$$=1\pm f_1\theta=a\cdot\sin\theta \quad . \quad . \quad . \quad . \quad (4)$$

для того, чтобы определить средное сначение К.П.Д. ужно разделить средние значения полезнои и подводимон ошности.

Среднее значение К.П.Д. =
$$\frac{\int_{a}^{b} ETr_{\lambda} \theta \left(a \sin \theta\right) d\theta}{\int_{a_{1}}^{b_{1}} c + (1+c)\sin \theta d\theta}$$
 (6)
$$= \frac{\int_{a}^{b_{1}} c + (1+c)\sin \theta d\theta}{\int_{a_{1}}^{b_{2}} c + (1+c)\sin \theta d\theta}$$
 (7)
$$= \frac{a \int_{a_{1}}^{b_{2}} c + (1+c)\sin \theta d\theta}{\int_{a_{1}}^{b_{2}} c + (1+c)\sin \theta d\theta}$$
 (7)
$$= \frac{a \int_{a_{1}}^{b_{2}} c + (1+c)\sin \theta d\theta}{\int_{a_{1}}^{b_{2}} c + (1+c)\sin \theta d\theta}$$
 (7)

в одну сторону, то обратного тока сить не может полученовое нами для к.п.д. выражение инеет смысл лишь для θ_1 и θ_2 , виражение инеет смысл лишь для θ_1 и θ_2 , виражение которого течет ток. В течение сотальной части периоды как подводимая, так и полеоная мощность рывны нулю так что интегрирование меж ду указанными пределами дает результат за целым период. При высранном нами начале координат имеем следующие

Так как в термоновной лампе имеется проводимость лишь

$$\frac{\mathbf{c}}{1+\mathbf{c}} = \mathbf{sin} \, \theta_1 \qquad \qquad \cos \theta_2 = -\cos \theta_1$$

$$\theta_2 = \pi - \theta_2 \qquad \qquad \mathbf{sin} \, 2 \, \theta_2 = -\mathbf{sin} \, 2 \, \theta_1$$

востношения жежду пределами и постоянивши:

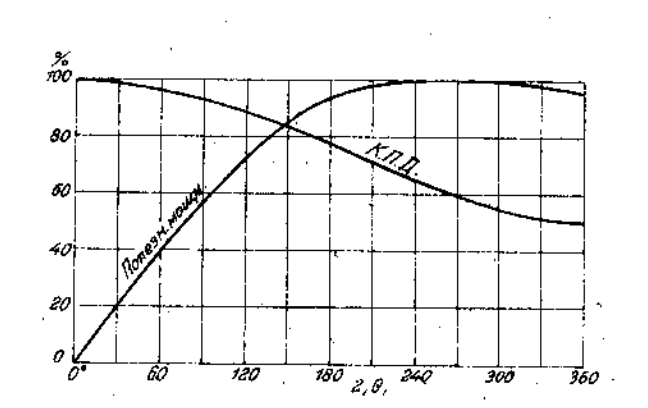
Полное вкражение может быть переписано в виде:

$$K.\Pi.A. = \frac{a\left[\frac{1+c}{2}(\pi-2\theta_1)-2c\cos\theta_1+\frac{1+c}{2}\sin2\theta_1\right]}{-c(\pi-2\theta_1)+2(1+\theta)\cos\theta_2}$$
(9)

Значение "Г" выбрано постоянным, так как максимальная

эмиссия всякой лампы постоянна и зависит от удельной и грузки инти. Отсюда можно вычислить выражение (3) для полеэной мощности для того, чтобы показать, как ее наменение отразится на изменении К.П.Д. Решив ур-ие (3) получим выражение для числителя ур-ия (9) для в 1=1.

На Фиг. 13 К.П.Д. и полезная мощность представлены процентах от их максимальных значений для "а = 1.



фиг. 13. Теоретическое значение К.П.Д. Плиотронного генератора. Изменение его в зависимости от угла отсечки тока, при условии пренесрежения потерями на пресодение пространственного заряда и в предположении пропорциональности, выветочки отеечки, между кривой тока и синубойдальным сеточным напряжением мак-симальным сеточный ток остается постоянным.

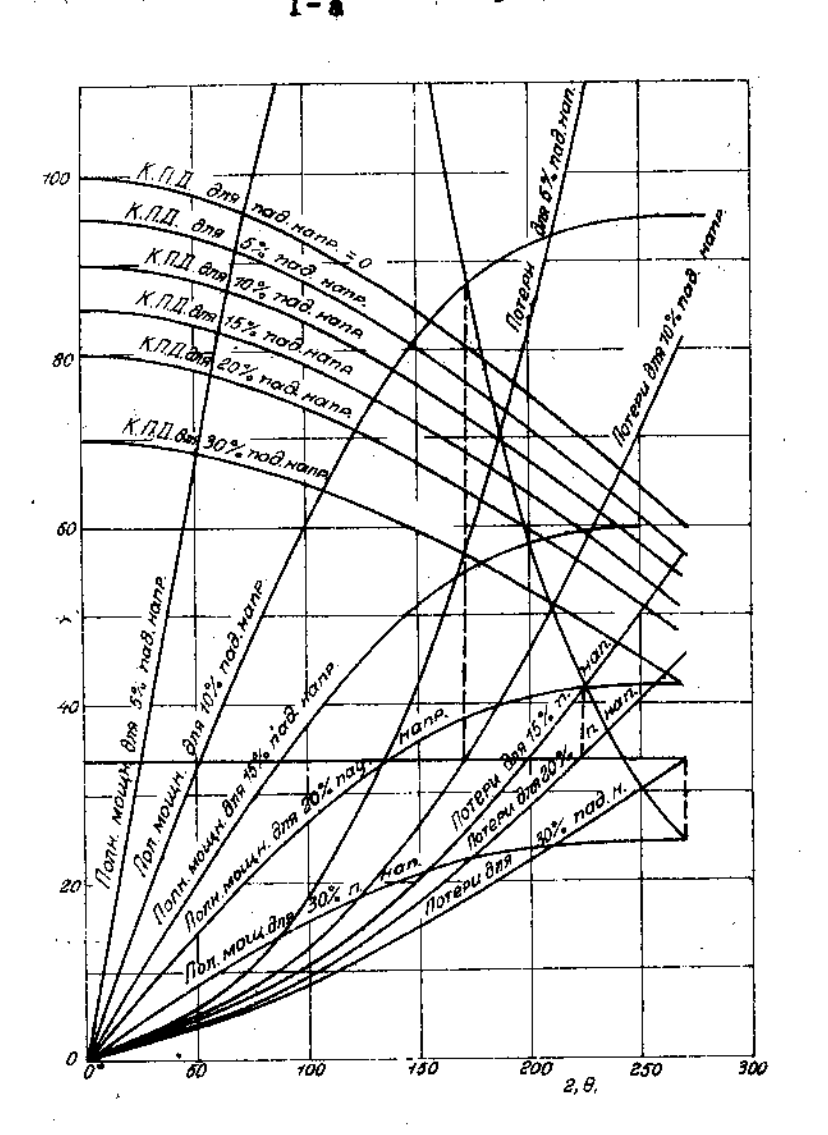
Тйг. 14 изображает кривые зависимости к.П.Д. и полез ной мощности от угла отсечки тока для раздичных значений "а".

ДЛЯ ТОГО, ЧТОСЫ МОЖНО СЫЛО СДОЛЕТЬ НУЖНЫЕ ЗЭКЛЕЧЕНИЯ ИЗГОТИХ КРИВЫХ, МАСШТЕС ДЛЯ ПОЛОВНОЙ МОЩНОСТИ ВЫСРАН ОС РАТНО- ПРОПОРЦИОНАЛЬНЫЙ (1-2) ТАКИМ ОСРАЗОМ, ЧТО МАКСИ-МАЛЬНЫЯ МОЩНОСТЬ ДЛЯ (1-2)=5% ВВЯТА ДЛЯ УДОССТВА РЕВНОЙ 200. ЕСЛИ СЧИТАТЬ, ЧТО ЭТИ КРИВЫЕ ПРИМЕНИМЬ К ОДЕОЙ ДАМ

по, то пространственный заряд в % судет обратно пропост дионален приложенному напряжених при "Гпостояннем и дополезная мощность= $\text{LIf}_2\theta(4-f_1\theta)$ $\text{E}\sim \frac{1}{1-\alpha}$ STONY:

полозная мощность=
$$\mathbb{E} \mathbf{I} \mathbf{1}_2 \theta (\mathbf{1} - \mathbf{1}_1 \theta)$$

TO DOROSHAS MORHOSTL-
$$\frac{K''}{1-a}f_2\theta(1+f_1\theta)$$
.



4нг. 14. Теоретические колесательные хар-ки Плиотро-(абсолютное значение пространственного заряда оста-Ha ется постоянным, меняется приложенное напряжение).

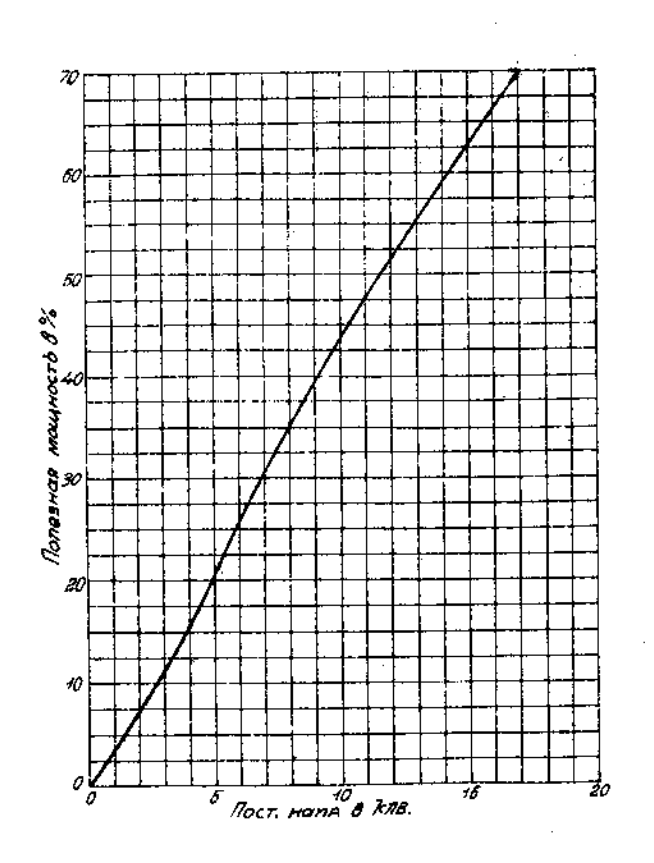
Кривые фиг. 14 представляют условия работь для различных значений приложенного напряжения.

Т. к. величина полевной мощности ограничена нагревом лампи, то можно непосредственно вывести заключение о влиянии на нее наменения напряжения. Для этого проводят любую прямую, например, "АА", представляющую маисимальное рассеяние для данной лампы. Персечение этой прямой с кривыми потерь даст значения углов отсечки то на для различных напряжений. Эти же ассписсы на кривых полевной мощности даст изменение полееной мощности при постоянном нагреве.

Тиг. 15 дает зависимость полевнои мощности от напряжения, в предололомение протопранственного заряда равны 1.000в. Масштаб для ор-пространственного заряда равны 1.000в. Масштаб для ор-проторук можно получить от лампы при постоянном внодном напряжении в 20.000в., пренесретая потерями на нагрев. Эта кривая показывает едва заметное стремление к насыжению, во при постоянеми нагребе, если уменьшить потери на преодоление пространственного заряда до 5% от приложенного напряжения, полезвая мощность продолжает возрастать почти потоприновань напряжение.

Кривые фиг. 16 повволяют вычислять токи по показани ям амперметра постоянного тска в анодной пепи для ука-ванных выше условий. Кривая "А" применима для токов, име-кших принятую нами при вычислении К.П.Д. форму колебаний, в кривая "В" относится к лампам, работающим как выпрямители бее оглаживающих устройств.

Для того, чтобы получить представление, каковы должив Быть эмплитуды сеточного напряжения при синусоилальном во Буждении, дающие раздичные К.П.Д., мы предположили услови представление на фиг. 17. Для генератора предполагалось, кто напряжение на сетку положительно, когда аводное отрипательно, так что они приблизительно встречаются.



Фиг. 15. Теоретические х-ки Плиотрова. Зависимость полезвой мощности от напря жения при постоянных значениях максимального тока и потерь.

Dyctb:

 e_{T} = анодному напряжении = $E(1-a \cos \theta)$ e_{S} = сетсчному напряжении = $E(-b+g \cos \theta)$ E = пост. анодн. напряжении e_{T} - e_{T}

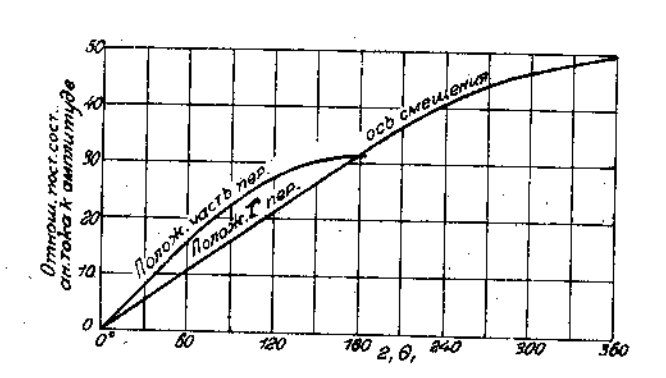
о-отношению смещающего напр. к Е д-отношению максим. сеточн. напр. к Е д-отношению максим. сеточн. напр. к Е д-отношению сеточн. напр. в точке отсечки тока к Е

ва- запряженик на сетку, необходимому для того,

Т. к. все величны выражевы через Е. То следуещих ниже соотношевиях Е привимается равным 1.

1-а-максимальному положительному напр. сетки

b+1-a-g



фиг. 16. Отношение постоянной составляющей анодного тока к амплитуде синусондального тока.

 $2\,\theta_{z}$ -двойному углу отсечки тока. Фаза сетки принима ет положительное значение, начиная с точки, находящей-ся от точки появления тока на расстоянии

$$M = (1-a) + d_1 = 1-a + \frac{\alpha p_2}{p_1} =$$

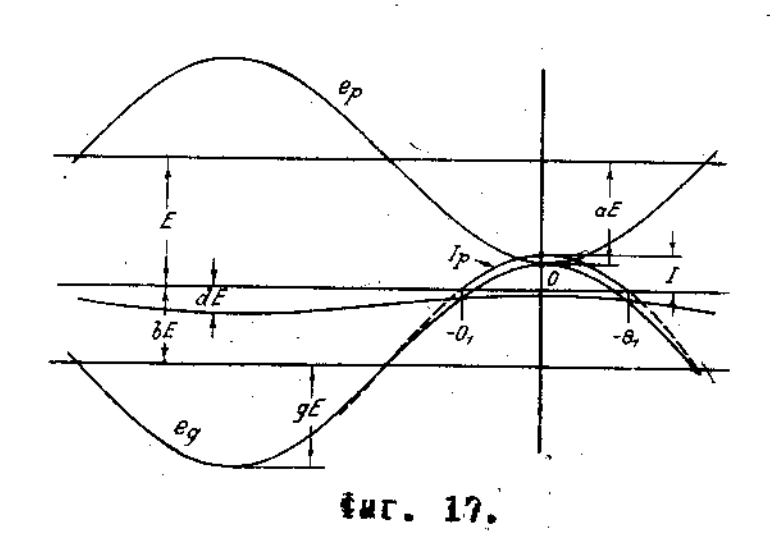
$$= 1-a + \frac{1-a \cos \theta_2}{p_1}$$

$$g \cos \theta_2 = g - M$$

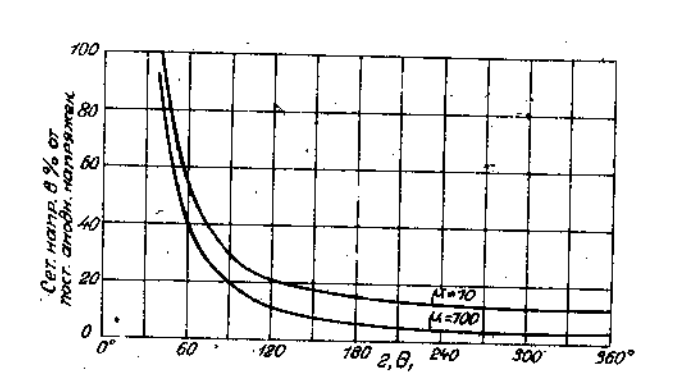
$$g = \frac{\left[\frac{1+\mu}{p_1} - a\left(\frac{1}{p_1}\cos \theta_2 + 1\right)\right]}{1-\cos \theta_2}$$

Или

Кривые фиг. 18 показывают изменение "g" от $2\partial_2$ -двояного угла отоечки тока для a=0, 95, $\mu=10$ и $\mu=100$. При малых значениях ∂_2 "g" присдижается к сесконечности, так что если при этих условиях веобходимо получить высокий К.П.Д., то при сивусоилальном возбуждении напря-



мение сетка-нить может оказаться равным или даже больше напряжения авод-нить.



фиг. 18. Теоретические хеки Плиотрона. Максимальное сеточное напр. как ф-ия приложена пост. напр. Синусондальное сеточн. возсуждение. Простр. заряд-5%. Макс. положит. сет. напр. равно миним. вводи. напр.

PAABA 8

PACHET KORTYPA.

При расчете контура лампового генератора необходимо иметь в виду выполнение двух условий:

1. Колебательный контур должен быть подобран таким образом, чтобы в нем накоплалось достаточно энер

пин. Которая должна питать контур по принципу ма хоника в течение тех частей периода, когда подводимая мошность не равна потерям.

2. Все непряжения должны удовдетворять по выплитудам и фазам вначениям, определяемым в главе 1.

3 а й а с э н е р г и и. --Представии себе контур из самонндукции . L и емкости

С., колеситийся с частотой "г. при напряжении "V" и вотерях "V" ветт. В точке, софтветствующей нуменому то ку "миновенное напряжение равно $\sqrt{2}$ у вся энергия накоп мена в косленсаторе и равна CV^2 . Эффективное значение

тока в коеденскиоте и равна су су оффективное оделом тока в контуре равно ситсу и потери ва целый период в джоудях, равны или разделения накопленную в конденскиот ре энергию на потери в джоудях за целый период получим:

Расход энергии в джсу- W/f W 2πW 2πW 2πW В период Это приавывает что отношение накопленной энергии к расходуемой в 1/2π раз сольке отношения безваттной мошно-

сти к ваттной контура, в которых запас энергии меньне, дву к р а т в о г о расхода энергии за период. непостоявны в расоте. Контура с большим запасом энергии мо-

стояны в расоте. Контура с больним вапасом эксритовагут иметь непропорциональные омические потери. Если тола но нет какого-нибудь другого фактора, определяющего вапас энергии. То колебательную энергию в вольт-амперах нужно ваять, приблизительно, в 4% раз больше расходуемов. Иначе говоря, коэффициант мощности не должен сыть больше 2% или декремент выше 0,25. Эта жолебательная энергия имеет для генератора то же аначение, что и маховик для однотактной машины и связь с анодом должна Сыть сделана тесной.

Пооле окончательной проверки необходимого знанения колебательной энергии, остается только определить правильные напряжения и их фазы. Для наятой в качестве при мора лампы полезная мощность для в -10000 в. была определена в 1 клв. Из фит. 6 получаем следующие внанения напряжения:

Предположим, что мы хотим расчиталь пгостой новеус Гартлай"я, удовлетворяющий этим услания, (фиг. 19),

эдесь:

L_P= внодиля самонидукция. _{Lg=} самонидукция цепи сетки. С₁= конденсатор явстройки.

С2 в водный блокировочи конден.

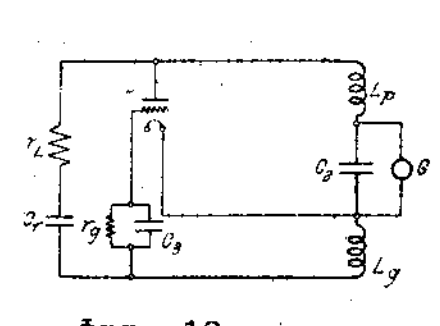
С3 - Слокировочн. конденсат. сетки.

г, л сопроливление грид-лика.

г. = сопротивление напрузки.

С .- ИСТОЧНИК ПОСТ. ТОКА.

Для того, чтобы удовлетворить пребуемым условиям, необходимо, нтобы:



Фиг. 12. новтую: Гартлей'я.

$L_p/L_g = \frac{6500}{1050}$; $r_g = 20000$ onau.

нилов. акп.

readu.

reapu.

Предположим, что в сопротивление нагрузки г. веобходино передать наконнальную звертию при часточе в 10° пер. сек. При полевной мощности в 1 илв. Сезваттная мощность в клв. -амп. должна быть в 4 т раз сольше, т.е. равна 12,5

 $X_{L_p} = \frac{E_p^2}{Va} = \frac{6500^2}{12500} = 3880$ ом, при 10° пер./сем. $L_p = 0.538$ милли -

 $X_{L_q} = X_{L_p} \times \frac{1050}{8500} = 545$ am, npm 10 nep./cek. $L_p = 0.087$ милли-

 $X_{C_1} = X_{L_p} + X_{L_q} = 3.925$ om, non 10° neg./cek. $C_1 = 4.06 \times 10^{-5}$ Mpg.

Полное сопротивление контура равно $\frac{1000}{1.925^2}$ =270 см.

Отскав, намерив сопротивление при выдокой частоте $\mathbf{L}_{\mathbf{p}}$

чение г. Предположим коэффициент мошности самонидукций равным 1%, а потери в конденсаторах и соединительных

Этин методом можно рыссчиреть сесчиоленное множество различных контуров, имеющих одну вастрояку. Требуещье напряжения молут осуществляться; с помощью самоинджилия, емкостей или взаимонидукрий, и если только разность фаз между анодным и сеточным напряжениями правильна и контур не перегружен, генератор должен пра-

Безваттный ток равен $\frac{12500}{6500}$ =1,925 ампер.

ня, C₄ и соединилельных проводов, можно получить

r, =270-39,3=280,7 om.

ВИЛЬНО расотать. С. и С. не имеют ососого значения.

Всян, при выполнении указанных условий, экспериментатор, все же не получит ожидаемых результатов, то это,

проводах ничтожно малыми, тогда

фане всего, объясняется следующими двумя причинами: лисо лампа не соответствует приложенным характеристикам, лисо постоянные контура не те, какими они кажутся. Чаще всего ваменяется эмиссия лампы. Если она мала, то ламна расотать не судет. Если она слишком велика, то можно удлинить жизнь лампы, уменьшив ток накала, как полез най мощность, так и к.П.Д. могут сыть увеличены за счет продолжительности жизни лампы перекаливанием нити.

рек-электродная дампа может расотать почти при люсей частоте, но при частотах выше сосственной частоты
самонндукции последние могут действовать как емкости.
Индуктивное сопротивление соединительных проводов, идуших от конденсатора, может оказаться выше его емкостнов
то сопротивления. Возможны также колесания в отдельных
частях контура. при высоких частотах сопротивление воз
растает вследствие вкіп-еібесі а и окружающие предмети могут влиять на сопротивления, катушки и емкости,
шля того, чтобы получить правильно расотающий генератор,
веобходимо учесть или уничтожить все эти паравитные яв-

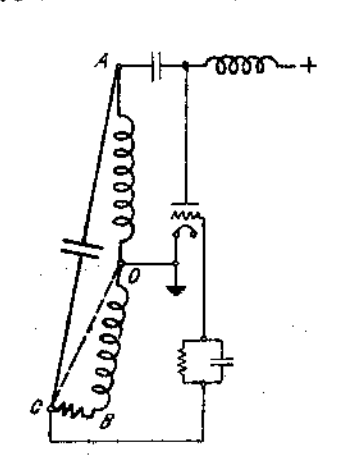
Приведение 1 азы сетки к требуемому значению:

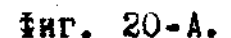
Рассмотрение условий расчета контура не является полным без учета явлений, ваставляющих генератор коле: баться с частотой, отличной от сосственной частоты контура. Заслуживает также детального обсуждения выбор блокировочных анодных конденсаторов и воздушных дроссё лей:

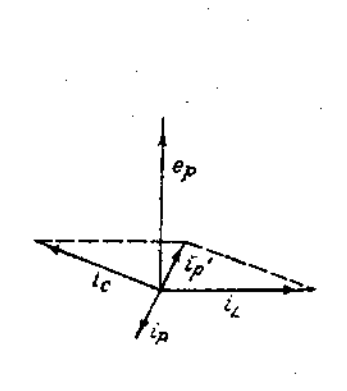
контур і артлей'я нормально расотает при частоте ви в определяемой по формуле:

Причина этого ясна на фиг. 20-А и 20-В, которыми мод но воспользоваться для численного подсчета.

фиг. 20-А представляет соединенные вместе диаграммы контура и напряжений. ОА-вектор аводного напряжения;
внод присоединен к точке А, вить в О, а между ними включена анодная самонндукция. ОВ-падение напряжения вдоль
самоиндукции цепи сетки, а ВС вдоль сопротивления, так
чето ОО и представляет собой результирующий вектор сеточ
вого напряжения, при чем С есть точка присоединения сет
ки. Т.к. сопротивление анодной самонндукции на фазу сет
ки не влияет, то оно не включено в диаграмму, хотя окавываемое им всобще действие очевидно.







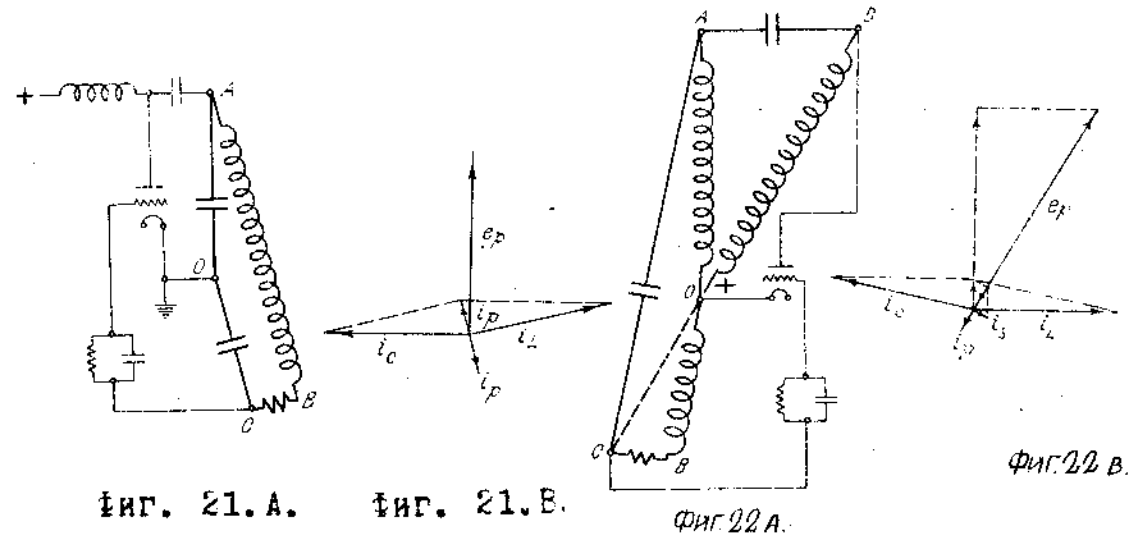
⊅Hr. 20-B.

Анодний ток в разе с сэточным напряжением. В фиг. 20 представлен вектором 1_P . 1_C обозначает ток в контуре ОВСА, а 1_C -ток черз самонндукцию ОА. По закону Кирхгофа векториальная сумма токов в точке О должна быть равна нулю. Поэтому сумма 1_C и 1_C равна 1_P , равному и обратному 1_P . Т. к. 1_P ямеет компоненту, опережающую \bullet_P , которая складывается с соответствующей компонентой 1_C , то значение 1_C должно быть увеличено, а это можно осуществить лисо уменьшением самонндукции анодной катушки, лисо понижением частоты. Отокда следует, что простой контур Гарлей я всегда работает ниже точки резонанся и что уменьшение частоты можно вычислить, если приписать век-

торам диаграммы 20-Е численные значения.

Рассуждая подосным образом, можно провнализировать в рассту контура Колпитт'я - Анг. 21-А и 21-В.

Как и прежде, фиг. 21-А есть соединенная диаграмма контура и напряжений с анодом в точке А, нитью в О и сетной в С. В этом случае составляющая анодного тока в фазе с і, и ее нужно скомпенсировать повышением тока через анодный конденсатор. Это требует лисо увеличение емности анодного конденсатора, лисо повышения частоты, так что контур колпитт'а всегда расотает выше точкя резонанса на величину, которук можно вычислить из диаграммы, приписав векторам численные значения.



Диаграммы фиг. 22-А и 22-В иллистрируют влияние слокировочного конденсатора и воздущного дросселя на расоту контура Гартлей'я. Здесь О.А.В в С имеют то же значения, что и в фиг. 20-А. АД-переменная составляющая падения напряжения в конденсаторе. Авол присоединен в точке D. ОД-переменная составляющая падения напряжения в воздущном дросселе. Постоянный ток, проходящий через ОД в диаграмме не представлен. Фиг. 22-В подосна фиг. 20-В, за исключением досавочного тока в дросселе ОД-15 и наменения е, которое направлено по ОД вместо ОА.

Очевидно, что правильным высором слокировочного конденсатора и воздушного дросселя можно опять ваправить ** ВВОДНОЕ НАПРЯЖЕНИЕ ПО ОДНОЙ ПРЯМОЙ С СЕТОЧНЫМ НАПРЯЖЕ-

вием и анодным током. Не главы 1-ой видео, что наисольций К.П.Б. получается при разности фаз между внодным и

соточным напряжением в 150°. Если это условие не места, то интегрирование нужно производить шаг за шагом ва пелых период и тик как максимальный ток уже не соответзівует мивимальному анодному напряженик, то

тегральное произведение, естественно, сольше. Поэтому вы сор слокировочного конденсатора и воздушного дросселя должен еходить в расчет контура. Еначале расчет производится так, как если-сы конден-

сатора и дросселя не было совсем. Контур может быть эквивалентен лисо чисто омическому, лисо последовательно

соединенным омическому и реактивному сопротивлениям. Пред положим, что контур эквивалентен чисто омическому сопротивлению, тогда можно вычислить угол СОА и дополнительный к нему угол дор. Так как эквивалентное сопротивле ние между А и О известно, то емкостное сопротивление AD BUCHPACTOR TAKEN OCHASOM, TO AD/OA-tg-1(180 -AOC).

пряжение передается в контур в точке D и создаст в нем опережакний ток, величина которого легко может быть определена. Остается только выбрать такой дроссель, чтобы

создаваемый им вапавдывакший ток был по величине равен one perakuemy forv. Из числанного примера станет яснее как практически производится выбор правильных величин блокировочного кон денсвгора и воздушного дросселя.

Прежде всего необходимо, чтобы возбуждение на сетку удовлетворято требуемому соотношению.

Возьмем:

 $\frac{\mathbf{E}_{\mathcal{F}}}{\mathbf{E}_{a}} = \frac{\mathbf{O}\mathbf{A}}{\mathbf{O}\mathbf{C}} = \mathbf{4}$

Так как об представляет собой анодное напряжение.

может оказаться необходимым, в случае резкого отличия ор от оа, еще второе приближение.

BOSEMOM OA=100 OMAM HHAYKT.

OB= 25 OMAM HHAYKT.

BC=2,5 OMAM OMUROCK.

CA=125 OMAM OMKOCTE.

Тогда угол ОАС=
$$\sin^{-1}\frac{2.5}{100}$$
=1°27'

Всли напряжение ОА равно 100 в., то

$$i_L=1$$
, Earth B $0A=i_L^2 \times 10=10$
 $i_C=1$, Earth B $8C=i_C^2 \times 2$, $5=\frac{2.5}{12.5}$

Эквивалентное сопротивление $\frac{E^2}{W} = \frac{100^2}{12.5} = 800$ ом. Можно на строить ковтур в резонанс, и тогда реактивное сопротиваление Судет равно нулк.

По правилу синусов имеем:

Полное кажущееся сопротивление равно 894 омам, так что соотношение для сетсчного напряжения получилось, почти точно, равным высранному нами раньше. Если взять напряжение D — 0 равным 100 в., то ток судет равен:

$$\frac{100}{804}$$
=0,124 ампер

безваттная мощность судет равна:

 $0.124^2 \times 80 = 1,23$ вольт-ампер.

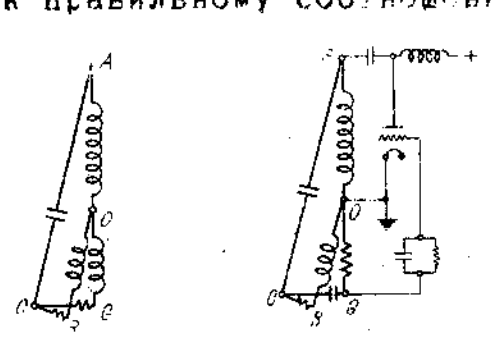
Для того, чтосы скомпенсировать эти опережающие воль амиеры, необходимо пслучить от воздушного дросселя столь ко же вапаздывающих вольт-ампер.

 $D0 = \frac{100^2}{23} = 8,180$ OM.

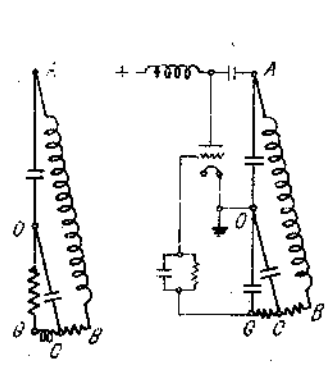
Если-бы кажущееся сопротивление слокировочного кон-

денсатора оказалось слишком велико, то взятое нами вначале соотношение между анодным и сеточным вапряжением не выполнялось сы.В этом случае пришлось-сы взять первоначальное значение сольше, чем то, какое мы хотим получить окончательно, и производить подсор всех величин рядом последовательных прислижения. Однако, и по другим причинам высокое кажущееся сопротивление слокировочного конденсатора нежелательно, т.к. это влечет за сосой низ ное кажущееся сопротивление воздушного дросселя, и токи высокой частоты могут проникнуть в цепь мощного генератора и произвести разгушения.

Соответствующий высор слокировочного кондевситора и воздущного дросселя не есть единственный метод для получения разности фав между анодеым напряжением и то-ком в 180°. Угол ОАС может сыть скомпенсирован таким намением фавь сеточного напряжения, чтосы вызвать колесания с частотом ревонанся и принести анодеый ток и напряжение к правильному соотношению.







inc. 28-C. inc. 28-D

Фиг. 23-А и 23-Е иллкстрирукт два метода, приводядих контур Гартлей'я в колебания с частотой резонанса
при правильном соотношении фаз, и фиг. 23-с и 23-р дакт
два эквивалентных метода для кситура Колпитт'а.
В схеме фиг. 23-А изменение фазы производится последо
вательным соединением сопротивления СС с самоиндукцией
СО. Сетка присоединена к точке С. Тот же результат достигается включением сопротивления ОС и конденсатора СС
Эти же элементы с схеме 23-С и 23-р переменить местами
для того, чтобы вместо опережения получить запаздывание.

Несмотря на то, что изменением тазы сетки можно компенсировать различные углы, все же подбор блокировочно то конденсатора и воздушного дросселя предпочтительнее, т.к. они нормально всегда имектся налицо, и это не вносит лишних усложнения.

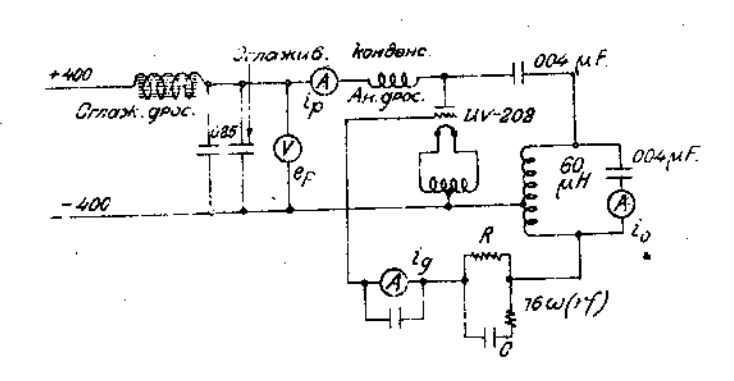
KOHJEHCATOP CEIKN.

Следует заметить, что до сих пор не было создано критериев для выбора блокировочного конденсатора на сетку. Т.к. разначение этого конденсатора состоит в том, чтобы пропускать составляющую тока возбуждения без заметного падения и заставить постоявную составляющую итти через сопротивление утечки, то велична его емкости не имеет критического значения. Она должна быть достаточно велика, для того чтобы емкость сеткавнод была мала по сравнению с ней. 1.к. емкосты ламп обычно очень малы, то это требование легко осуществимо. Отдельные толчки постоянного тока не должны изменять вначительно смешающего напряжения, но это также не имеет большого значения.

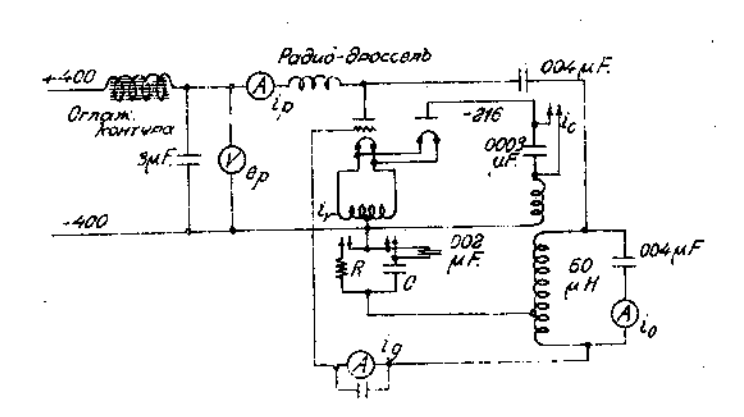
прерывистые колевания.

Слишком сольшая емкость конденсаторы грид-лика может вызвать осложнения в расоте генераторы. Т.к. это с пер-

вого вагляда не ясно, то оно судет разосрано детально. Внешне это проявляется в понижении подводимой и полезной мощности и излучении прерывистых колесаний.



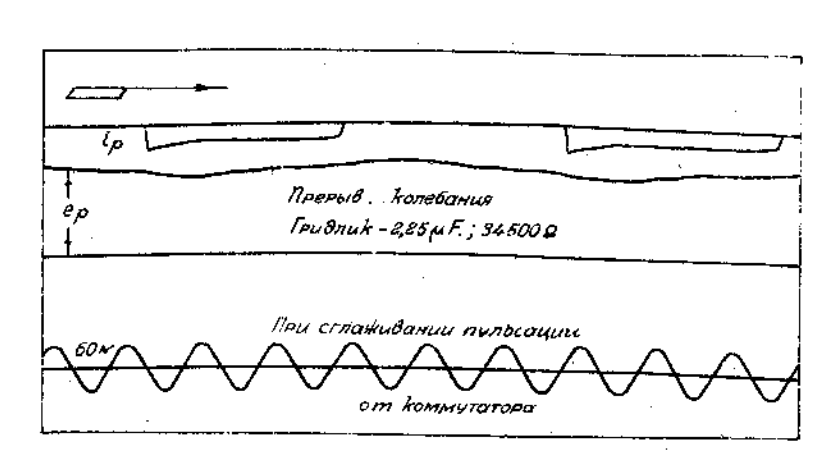
1иг. 24. Контур, служивший для снятия осциллограмы 1иг. 26, 27 и 28.



Фиг. 25. Контур, служивший для снятия осциллограммы циг. 29.

Осциллограмма (тиг. 26) показывает результат, полученный для очень сольшого конденсатора сетки (схема фиг 24). Колесания то возникают, то исчезают, при чем приод довольно длительный. При уменьшений емкости конденсятора период изменяется (фиг. 27). Это явление имеет место и тогда, когда анодное напряжение сглаживается при помощи фильтра (фиг. 26). Из неправильностей фиг. 28 можно увидеть, что это явление нельзя объяснить резонансом. Е предыдущих 3-х оспиллограммах мерой колебаний являлся анодный ток. Из фиг. 29 видно, что лействительная амплитуда колебаний следует той же общей форме кри вой (схема фиг. 25).

К объяснение этого явления пришли следующим образом: обратимся к фиг. 30 и предположим, что соотрошение меж-ду переменным адодным током и напряжением сетки, а так же и между другими величинами остается постоянным. Если ваять постоянное смещающее напряжение, то можис, поль-

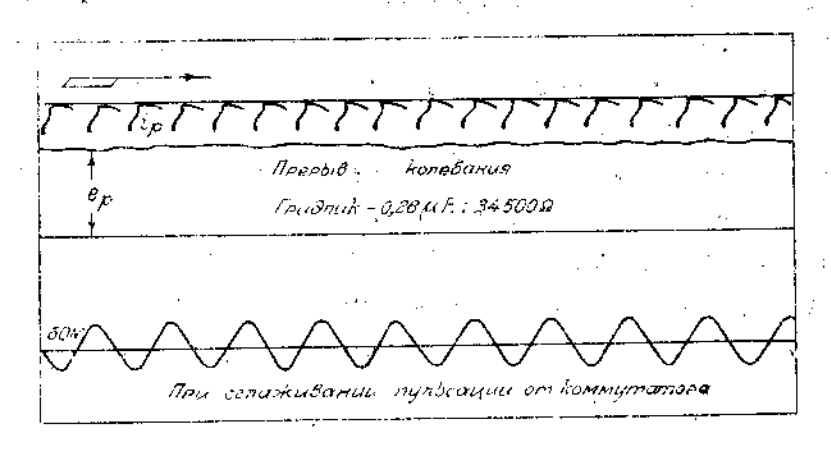


tur. 26.

вуясь методом главь 1-ой, вычислить для лксой амплитуды колесавий величину полезной мощности. Несыслько таких кривых здесь приводится.

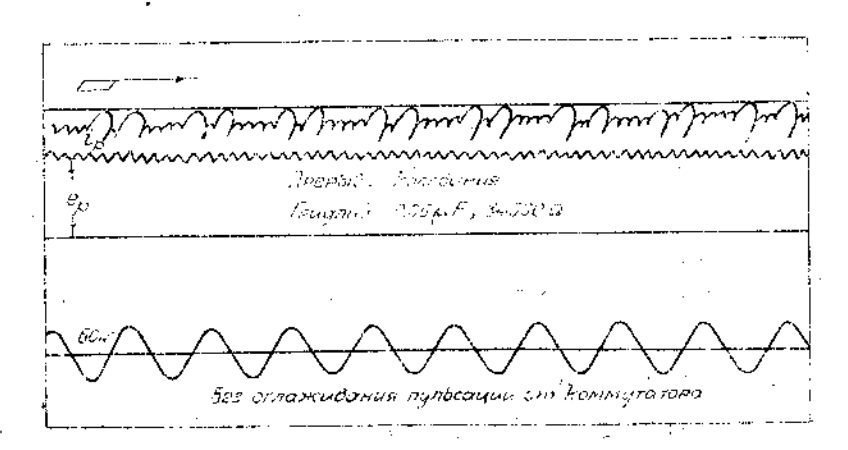
Построена также кривая омических потерь в контуре, которая квадратична. Пересечение кривых полезной мощности и потерь соответствует точке равновесия. Исли с уменьшением амплитуды колебаний полезная мошность становится больше потерь, то работа генератсра в этой точ не устейчива. Если, наоборот, то устейчивости нет. Опеределие сеточный ток для различных точек кривой полезной мощности, при постоянном смещающем напряжении, ым

можем вычислить соответствующие сопротивления утечки. Через эти точки можно провести кривую, представляющую вависимость величины полезной мощности от амплитуль ко лесаний при постоянном сопротивлении утечки.



⊉иг. 27.

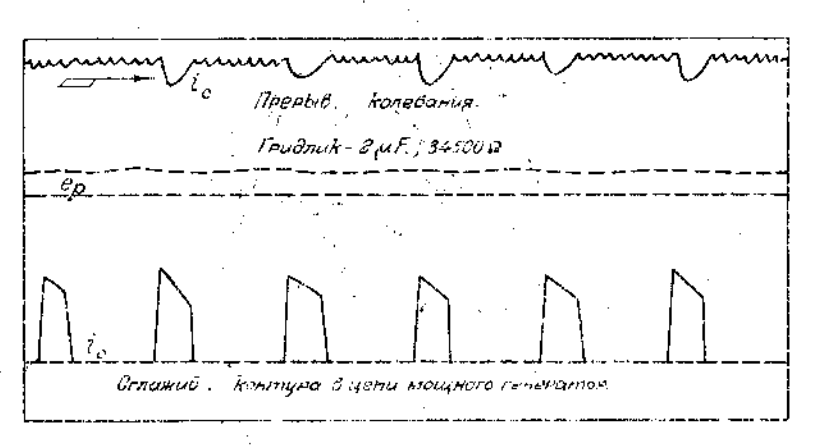
Существует такое значение смещакщего напряжения, при котором кривая полезной мошности, соответствующая это- му напряжению, касается кривой потерь в точке С. Боль- шего смещающего напряжения брать нельзя, так как тогда невозможно пересечение между кривыми полезной мощности и потерь, в. следовательно, не будет гочек равновесия.



tur. 28.

Черев любук точку на кривой потеры, например A и В, можно провети две линии, на которых одна двет направа-

рвие изменения полезной мощности при постоянном смещащем напряжении, а вторая изменение полезной мощности
ри постоянном сопротивлении утечки, При пользовании по
тоянным фиксированным смещакцим напряжением, проверку
авновесия нужно делать по линии пост. смещакцего напря
ения. При постоянном сопротивлении утечки нужно польоваться соответствующей ему линией. Елокировочный коноваться соответствующей ему линией. Елокировочный коновстор стремится сохранить постоянное значение смещашего напряжения и, что касается равновесия, то расста
риближается к линии пост. смещ. напр.

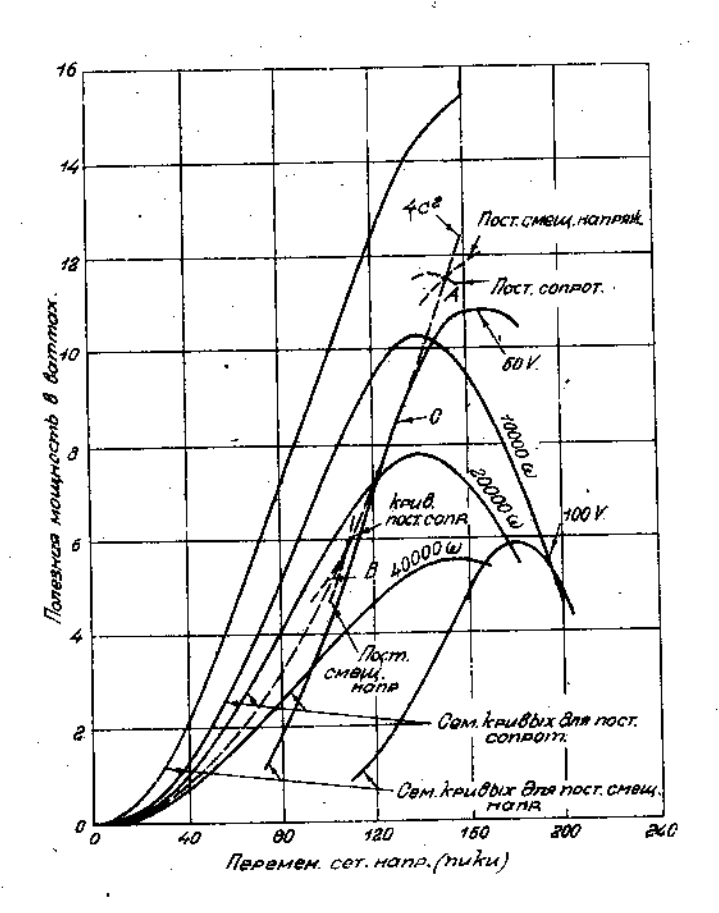


tur. 29.

При малой емкости конденсатора сетки, более правильвы иритерием устойчивости служит линия постоянного соротивления утечки. Очевидно, что в области между С и д
абота будет устойчива как при постоянном сопротивления
течки, так и при постоянном смещакщем напряжении. В негравлении от С к в работа при постоянном смещакщем неустойчива, в то-время, как при постоянном со
гражении неустойчива, в то-время, как при постоянном со

Очень вероятно, что лучше всего генератор судет расовть, особенно для ламп с сольшой эффективностьк, в осасти св, так что для устойчивости тресуется достаточно альй конденсатор, дакщий для вероятных пределов измечения амплитуд, крутость результирующей кривой меньшук.

ется и в регенеративных присыниках.



ФИГ. 20. Криеве, дакшие условия устойчивости в сеточном контуре для лампы UV-202, в предположе нии, что перем. внод. напр. в 1,7 раза сольше перем. сет. напряж., а пост. анодн. напр. равно 350в.

Всли режим расоты генератора неустойчив, или устойчи вость имеется только в узкой области, то равновеске может нарушаться пелым рядом причин, а именно: модуляцией напряжения питакщего генератора, регулировкой линии, расотой илича и т.п. В таких случаях наслидается следующи цикл: предположим, что сопротивление грид-лика = 20000 ок, колебания возникают при смещающем напр. равном нули

Я ЧТО равновесие устанавливается при полезной мощности в 7,8 ватта и омещающем напряжении около 50 в. Если еммость конденсатора сетки мала, то работа будет устойчива. При больщой емироти монденсатора всякое мгновенное возмущение одвинет рабочую точку внив или вверх по
линии, соответствующей пост. смещающему напр. в 50ь.,
при чем исиденсатор будет стремиться сохранить втечение короткого промежутка времени постоянное напряжение.
Если точка передвинулась вниз, то полезная мощность
станет меньше почерь в контуре и колебания прекратятся.

Конденсатор разрядится через сопротивление, пока напряжение не станет настслько малым, что колесания воз викнут опить. Тогда весь цикл повторится снова.

ГЛАВА 4

MACTUMHO HACTPOERRED KORTYP

ХОТЯ НАМИ СЫЛ ПРИНЦИПИАЛЬНО РАССМОТРЕН КОНТУР С ЭДНОЙ НАСТРОЙКОЙ, СЛЕДУЕТ ПРОВНАЛИВИРОВИТЬ КОНТУР СОЛОВ СЛОЖНЫЙ, ЧЕМ ВЗЯТЫЙ НАМИ В КАЧЕСТВЕ ПРИМЕРА, Т.К. ЭТО ПРОЛИВАЕТ СВЕТ НЕ ТОЛЬКО НА ЯВЛЕНИЯ В СОЛОВ СЛОЖНЫХ КОЙ ТУРАХ, НО И НЕ МЕРЫ, ПРЕДПРИНИМАЕМЫЕ ДЛЯ ИЗСЕЖАНИЯ П2-разитарных колесании, заключающиеся в досавлении частич-

ARADON. C HELETATOPA C HONDRAGIPOENHAM ARODON.

но настроенного контура к главному, полностьк настроев-

ному контуру, определяющему частоту.

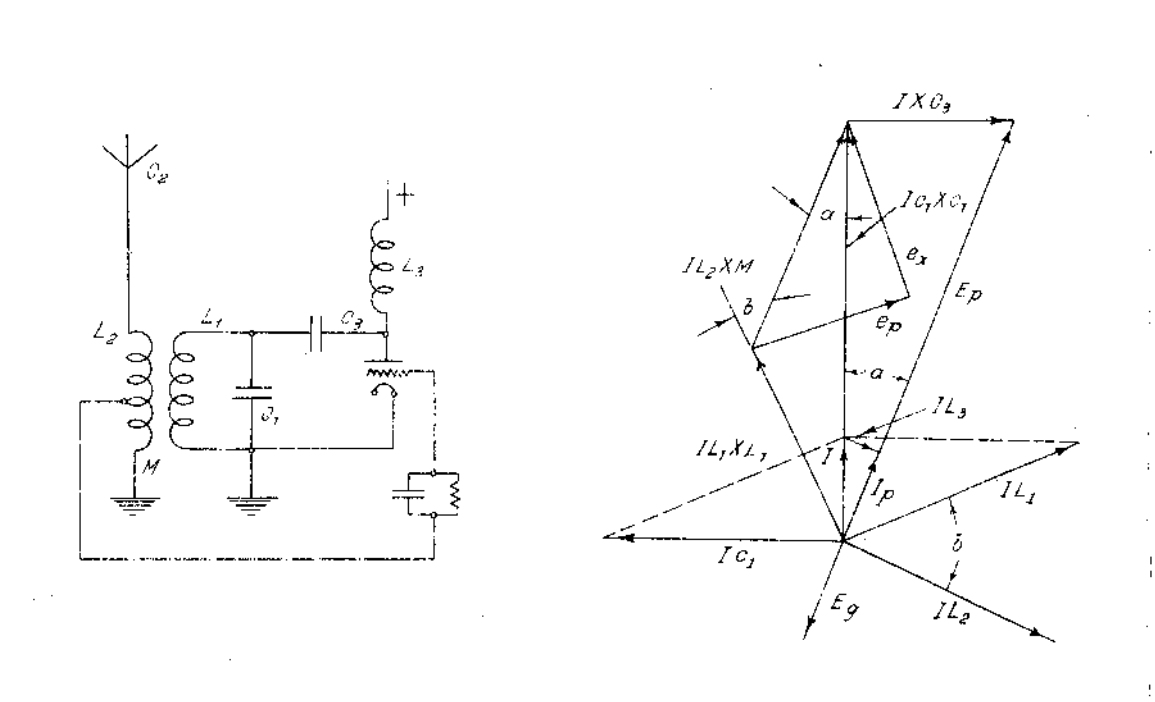
Схема фиг. 31 имеет то преимущество, что аводный кон тур действует как фильтр и ослабляет излучение гаруоник. Прежде чем говорить о фильтрующем действий, необходимо изучить осбенности колебания.

INT. 32 представляет сосой вакторную диаграмму контура fur. 31. Осовначим антенный ток, идуший через катушку L_2 через I_{L_2} . Этот ток возсуждает в первичной катушке L_1 напряжение I_{L_2} X_M . Напряжение I_{L_2} X_M состоит из двух составляющих $-e_z$, перпендикулярной к I_{L_1} X_{L_2} и e_z ,

нук составляющую, зависншую от омического сопротивления витенны. Вторая есть безваттная составляющея. $I_{L_1} X_{L_2} + Hanpswehne самоивдующий <math>L_1$. Сумма напряжений $I_{L_1} X_{L_2}$ и $I_{L_2} X_{M_1}$, возбуждаемых в катущее L_1 , вызывает в конденса.

параллельной к $\mathbf{I}_{\mathbf{b}_4}$ $\mathbf{X}_{\mathbf{b}_4}$. Первая представляет сосой ватт-

торе C_1 ток I_{C_1} , который дает падение напряжения $I_{C_1}X_{C_1}$. Емкостный ток I_{C_1} опережает напряжение, его вызывающее, на 90° , в то время как ток через L_1 отстает от напряжения самоиндукции на 90° .



Фиг. 31. Схема генератора Тиг. 32. Еекторная диаграмс частично нестроенным анод-ма генератора с частично на-

ным контуром. Строенным внолным контуром. 1.к. сетка присоединена к зытенной катушке L_2 , то напряжение на сетку составляет прямой угол с I_{L_2} и составляет разность фаз между анод напряжением I_{C_1} и сеточным I_{C_2} равной I_{R_2} и сеточным I_{C_3} равной I_{R_3} и сеточным I_{C_4} равной I_{R_3} и не равно I_{R_4} и сеточным I_{R_5} равной I_{R_5} и не равно I_{R_5} и сеточным не равно I_{R_5} и сеточный не равно I_{R_5} и сеточным I_{R_5} равной I_{R_5} и сеточным I_{R_5} не равно I_{R_5} и сеточным I_{R_5} и сеточным I_{R_5} и сеточным I_{R_5} не равной I_{R_5} и сеточным I_{R_5} и сеточным I_{R_5} не равной I_{R_5} и сеточным I_{R_5} и сеточным I_{R_5} не равной I_{R_5} и сеточным I_{R_5} и сеточным I_{R_5} не равной I_{R_5} и сеточным I_{R_5} и сеточным I_{R_5} не равной I_{R_5} и сеточным I_{R_5}

же, что увеличение $I_{b_1} x_{b_1}$ должно происходить за счет составляющей $I_{b_2} x_{M} - e_{\chi}$, т.к. e_{χ} определяет передаваемую

энергик, величина которой должив сохраняться постоянно угол, в определяется отношением этих двух величив, и он тем сольше, чем слиже к резонансу первичный контур. При точной настройке первичного контура в резонанс уго в сыл сы равен 90° и викаким падением напряжения в с его нельзя сыло сы скомпенсировать.

Если с другой стороны, $\chi_{c_1}/\chi_{b_1}=4$, то вторая гармоны из анодного тока может оказаться в резонансе с антенной необможно излучение мошного колебания этой частоты. Если бы это отношение было больше $4-\chi$, то вторая гармоны из тока в энтение была бы усилена и, если длина волны как раз в два раза больше собственной длигы волны антенны, то даже розможно возникновение незатужающих колебаний этой частоты. Поэтому желагельно, чтобы первичный контур был настроен на частоту между основной и второй гармоникой.

Взявши отношение Xc₁/X_{k-1} не слишком большим для того, чтобы избежать выявления гармоник, и не слишком близким к единице, чтобы не изменить разности фаз между анодным и сеточным напряжениями, можно для любого значения C₁ определить количество излучаемых гармоник, построив кривук анодного тока и произведя гармоничесния анализ ее. Предположив дальше, что этот ток через емкость С идет в контур, можно непосредственно определить какая часть его попадает в антенну.

Высравци емкость C_1 такой величины, чтосы излучение гармовик не выходило за тресуемые пределы, можно точно рассчитать весь контур, пользуясь качественными определениями из векторной дизграммы и принимая во внимание, что напряжения E_p и E_g должны соответствовать характеристикам лампы, и, что разность фаз между ними должна сыть равна 180° . Чиже приложен примерный расчет, выполненный этим спососом.

Рассматриваемая нами эдесь схема нормально требует тесной связи, так что можно ожидать двуволнистости. В

вязанном двуволнистом контуре оба периода колесаний ильно отличаются от периода колесаний каждого отдельрго контура, так что их легко разделить. Антенна Судет
дасо отвечать на колесания солее высокой частоты и, т.
сетка получает возсуждение от антенной катушки, то
егко так подосрыть контура, что колесания солее высоой частоты совсем не судут поддерживаться. Чем далье находятся друг от друга точки резонанся первичного
вторичного контуров, тем сласее тенденция к двуволистости.

Приложение к Главе 4.

РАСЧЕТ ЧАСТИЧНО НАСТРОЕННОГО АНОДНОГО КОН-ТУРА.

Расчитываемый контур должен передавать в антенну

многократной настройкой, имеющую два снижающихся проода, мощность в 20 клв. Полная мощность тресует 46,5 мп. на каждый снижающийся провод. Переменное анодное впряжение должно быть равно9400в., а сеточное напряжене - 2300в. Т.к. викакого тресования относительно гар овик не поставлено, то число вольт-ампер взято в 457 ав больше числа вэтт. Это двет для С значение в 0,004

Рсе величины можно разместить в таблицы:

 $\lambda = 2500$ метров $2\pi f = 758,000$ радианов/сен. $C_1 = 0,004$ мфд. $\frac{1}{2\pi f C_1} = 332$ омам $\frac{1}{2\pi f C_1} = 332$ омам $I_{1/2} = 46,5$ А

Монность равна 20 илв.

Напряжение на зажимах C_1 приблизительно равно E_p и принимаем для него это значение. Тогда $1_{C_1} = \frac{9400}{332} = 28,3$ амп.,

что в давном случае может быть взято и для $\mathbf{I}_{\mathbf{b_4}}$. Зная первичный ток и передаваемую мошность, можно определить и

$$e_z = \frac{20000}{28.3} = 707 \text{ B}.$$

Ректор $I_{C1} X_{C1}$ должен быть равен сумме трех векторов - $I_{b1} X_{b1}$, e_r и e_x й т. к. e_r раряо только 707 в., то можно, не внося какой-либо заметной ошибки, взять $e_x = I_{b1} X_b$ = 4700 в. Тогда получим:

 $X_{L_1} = \frac{X_{C_1}}{2} = 166$ omam

$$L_1 = \frac{166}{753000} = 221$$
 микрогенся $X_M = \frac{4700 \text{Вольт}}{46,58 \text{мп.}} = 101$ ом $M = \frac{101}{753000} = 134$ микрогеной

Угол "а" теперь легко вычислить, а зная его, можно найти емкость блокировочного анодного конденсатора.

$$a=\sin^{-1}\frac{707}{9400}=\sin^{-1}0,0752=4,33^{\circ}$$

 $IX_{C_3} = 9400 \sin a = 707 B.$

$$I = \frac{20000}{9400} = 2,13$$
 amn.

 $X_{C_3} = \frac{707}{2.13} = 332$ OM3

$$C_3 = \frac{1}{332 \times 753000} = 0,004 \text{ M$A}.$$

Для того, чтобы коэффициент мощности сделать равным единице, необходимо, чтобы безваттный ток через радио-дроссель был равен по величине и обратен по фазе то ку через слоччровочный анодный конденсатор.

Это осуществляется при:

 $I_{L_1} = I \cdot \sin a = 2.13 0,0752 = 0,16 8 MH.$

 $X_{L_3} = \frac{9400}{0.16} = 58700 \text{ Gm}.$

 $L_3 = \frac{58700}{753000} 78$ миллигенри.

Сетка получает возбуждение из антенного контура. Когда антенная катушка находится под рукой, то ае представ ляет трудности на ти на пей точку, соответствующую вапряжению в 2300 в. если помнить, что эта часть папряжения создается в натушке первичным током.

При мошности в 20 клвт, напряжение в антенне респо 30900 в. и напряжение, возбуждаемое первичным током в автенной катушке равно

 $I_{L_1} X_m = 28, 3.101 = 2860 P.$

Оба эти вапряжения, практически, в фазе, так что

IL2 XL2 =30900-2860=28040 B.

$$X_{L_2} = \frac{28040}{46.5} = 603$$
 OMBM.

1₂ =
$$\frac{603}{753000}$$
 = 802 микрогенри.

TRABA 5

ПРИМЕНЕНИЕ СРЯЗИ СЕТКИ С ПЕТРИЧНЫМ КОНТУРОМ К ДВУВОЛНИСТЫМ КОНТУРАМ-

В предыдущей главе упоминалось о возможности возникновения колебаний двух различных частот, но само это яв ление детально не рассматривалось. Вакуумная лампа, как

ДВУВОЛВИСТИЙ КОНТУР.

частоты резонанса.

ноточник колебаний, может питать связанный с ним контур, настроенный в резонанс на любую частоту, если только анодное и сеточное напряжения имеют компоненты с правильной разностью ўза и потери в контуре не слишком велики. В самом общем случае связанный контур имеет три

Aнализ контура такого типа дан Pierce on в "Electric Ospillations and Electric Waves," гл. X1, стр. 156-159. Обращаясь к інг. 32 ямеем, что кажущееся сопротивленне первичного контура выражается через:

$$Z_{1}^{*} = R_{1} \frac{M^{2}\omega^{2}}{Z_{2}^{2}} R_{2} + j \left\{ X_{1} - \frac{M^{2}\omega^{2}}{Z_{2}^{2}} X_{2} \right\} . \qquad (1)$$

$$= R_{1}^{*} + j X_{1}^{*} . \qquad (2)$$

$$R_{1}^{1} = R_{1}^{1} + \frac{M^{2} \omega^{2}}{Z_{2}^{2}} R_{2}$$

$$X_{1}^{1} = X_{1} - \frac{M^{2} \omega^{2}}{Z_{2}^{2}} X_{2}$$
(3)

 \mathbf{Z}_1 и \mathbf{Z}_2 - первичное и вторичное кажущиеся сопротивления, состоящие из самонидукций \mathbf{L}_1 и \mathbf{L}_2 и емкостей \mathbf{C}_1 B Ca.

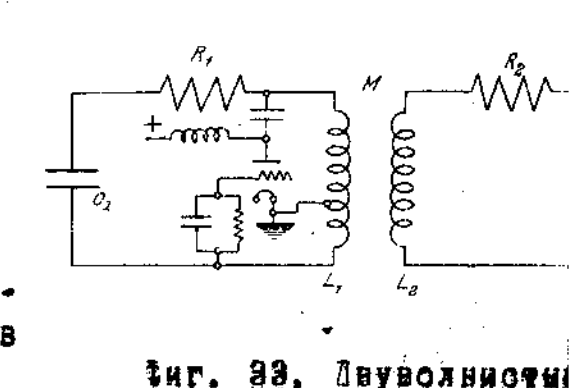
М- взаимоиндукция W - УГЛОВАЯ СКОРОСТЬ Bekropos Toka.

Предположим, что в генераторе будут возбуждаться

колебания с частотами, для которых полное кажущееся сопротивление не имеет реактив

нои составляющей, т.е.

$$x_1 - \frac{y^2 \omega^2}{Z_2^2} x_2 = 0$$
 . . (5)



контур, Попытки ревить это уравнение подстановкой равлич-

невозможно. Оно может быть решено графически, а для слу чая, когда точки резонанса близки одна к другой, режение легко получается простым приближением.

вначений для X_1 , X_2 и Z_2 приводят и большому количеству алгебраических выражений и практически такое решение

Предположим, что каждый из контуров вастроен на кр говую частотую и что все три длины волны выражены чере: изменение этой частоты- $(\Delta\omega)$. Предположим, кроме того,

$$M\omega = M\omega_0 = M_0 = (\text{постоянной вэличине})$$

 $X_1 = 2L_1 (\Delta\omega)$

$$X_1 = 2L_1 (\Delta \omega)$$

 $X_2 = 2L_2 (\Delta \omega)$

$$2L_1(\Delta\omega) - \frac{H_0^2}{4L_1^2} \frac{2L_2(\Delta\omega)}{(\Delta\omega)^2 + R_0^2} = 0$$

Тогда

YTO:

или
$$8L_1 L_2^2 (\Delta \omega)^2 + \{2L_1 R_2^2 - 2L_2 M_0^2\} (\Delta \omega) = 0$$

Это ур-ие имеет три следующих корня:

Два корня могут оказаться мнимыми и тогда будемиы иметь только одну длину волны. Для этого необходимо, чтобы

$$M_{\circ} < R_{\circ} \sqrt{\frac{\overline{L}_{1}}{\overline{L}_{2}}}$$
 (8)

С помощью указанного выше приближения было вычислено вносимсе в контур реактивное и омическое сопротивление для оледующих данных контуров:

$$R_2=0,5$$
 OM $M_0=1,46$ OM $L_1=0,000443$ Генри $L_2=0,001430$ Генри $R_1=0$ $\omega_0=115000$

Желаемая полезная мошность - 200 члвт.

По полученим аначениям построены кривые fur. 34. A_1 , A_2 и A_3 соответствуют трем частотам, колебания которых могут всаникать. Перестроив первичный монтур на частоту, слегка отличающихся от вторычного, можно эти гочки услованся сдвинуть, напр. в B_1 , P_2 п R_3 .

ЕРЕДАЧА МОЩНОСТИ НА "ВОКОВЫХ" ЧАСТОТАХ.

Обозначим через № связь при ксторой генератор, при одинакого настроенных обоих контурах, будет стре-ийться колебаться с боковыми частотами. Если № есть звязь, необходимая для того, чтобы передать мошность на пентральной частоте то обе они связаны с ур-ием:

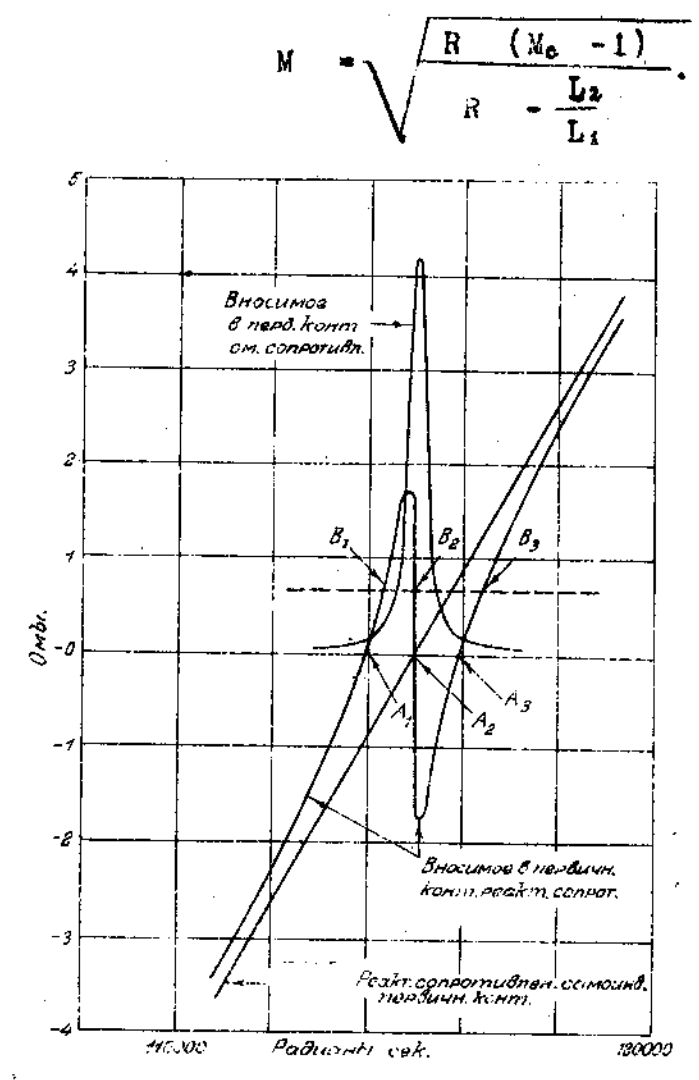
$$M_{\rm S}^{0} = \frac{4 L_{2}^{2} (\triangle \dot{\omega})^{2} + \Omega_{2}^{2}}{R^{2}} M_{c}^{2} \qquad (9)$$

Выражение для соковых частот может сыть написано:

$$(\Delta \omega)^2 = \frac{M_o^2}{4L_1L_2} - \frac{R_2^2}{4L_2^2}$$

.(10)

Подставивши это звачение $(\Delta \omega)^2$ в ур-ие (9), получим



Фиг. 34. Вносимое в первичный, связанный со вторичным, контур реактивное и ожическое сопротивление.

 $R_1=0$; $-R_2=0.5$ ом; $M_0=1.46$ ом; $L_1=0.000448$ геври; $L_2=0.001430$ геври; $M_0=115000$ радиан/сек.

Для приведенного здесь случая эта подстановка дает для му мнимое значение, а это значит, что здесь необхопимо применить особые средства для того, чтобы была воз можна передача мощности на боковых частотах.

Критерии двуволнистости и вытекающие из него ограни чения для передачи энергии могут быть выражены в более удобной форме,, чем соотношением:

$$M_o \leq R_2 \sqrt{\frac{L_1}{L_2}}$$

Когда оба контура настроены одинаково, то X₁ = X₁ = 0 и энергия передается из одного контура в другой с коэф-фициентом мошности, равным единице. Пользуясь разенст-

$$I_2 = \frac{E_m}{R_2} = \frac{I_1 M_0}{R_2} = I_1 \sqrt{\frac{L_1}{L_2}}$$

получаем $I_1^2 \omega L_1$ первичных вольт-ампер.Предполагается, что ваттная составляющая не влияет заметным образом ва величных полной мощности. Вторичных вольт-ампер имеем:

Зто званит, что если число вторачных нольт-выпер равно или меньше первичных, то в контуре судут колеса- ния только одной длины волны. Ноли бы при той же часвоте число вторичных вольт-ампер было больше первичных, то кон тур был бы трех-волнистый.

Наисольшая мощность, которую можно получить во вторичном связанном контуре при одной длине волны, равна:

$$\frac{E_{m}^{2}}{R_{s}} = \frac{(I_{1}N_{0})^{2}}{R_{s}} = \frac{I_{1}^{2} R_{s}^{2} \frac{L_{1}}{L_{2}}}{R_{s}} = I_{1}^{2} R_{2} \frac{L_{1}}{L_{2}}$$

Расходуемая в первичном контуре мощность равна I_1^{λ} R_1 . К.П.Д. равен:

•	I_1^2 $R_2 L_2$	R ₂ L ₁
I	$R_1 + I_{\frac{1}{2}}^{2} R_{\frac{1}{2}} \frac{L_{\frac{1}{2}}}{L_{\frac{1}{2}}}$	R ₁ L ₂ + R ₂ L ₄

после перестановки получаем:

$$\begin{array}{c}
\frac{R_2}{\omega L_2} \\
\frac{R_2 \vee R_1}{\omega L_2 \omega L_1}
\end{array}$$

Это выражение означает, что для случая равенства пер чных и вторичных вольт-эмпер К.П.Д. равен отношению коэффициента мощности вторичного контура к сумме косумипиентов мощности перентаего и вторичного контуров. Как будет показано ниже, приведенный выше аргумент не исключает возможности практическог работы с многовол-

ENCTUM KOHTYDOM. KORTYFOM. MERPRESE CETKU C СВЯЗЬ Нами сыло показано, что, в случае связанных контуров, из которых один возбуждается термолонной лампой, наслюдается критическое условие, определяемое равенством первичных и вторичных вольт-ампер. Если в возбуждающем контуре вольт-ампер сольше, то система судет колебаться только с одной частотой. Если же окажется боль ше вторичных вольт-ампер, то возможны колесания двух различных частот. В целях улучшения К.П.Д. в аппаратуре нежелательно, чтосы в контуре лампа сыло . Столько же вольт-ампер, сколько и в антенне, двуволнистые контура следует применять. Если лампа связана с первичным контуром, то колесания судут происходить с теми частотами, для которых х.

равно нулю при разности фаз между анодным и сеточным напряжениемв 180°, и слизко от нуля, если разность фаз не точно равна 180°, т.е.

$$X_1 = \frac{M^2 \omega^2}{Z_2^2} X_2$$

(ур-не 5). Это ур-не легче всего решить графически и,ес-ли м ω $R_2\sqrt{\frac{L_1}{L_2}}$, то оно может иметь три корня, два из которых представляют сосой точки устойчивой расоты. Фиг. Зб дает общий характер кривых x_1 и $\frac{V^2 \omega^2}{Z_2^2}$ x_2 . Там же нане-

сены соответствующие значения $\frac{\chi^2 \omega^2}{Z_2^2} R_2$.

Т. к. R_2 постоянно, то изменение первичного кажущется сопротивления, зависящее от R_2 , дает изменение вто

ончного тока. Чем выше это кажущееся сопротивление, тем сольше вторичный или автенный ток. Здесь приводится также кривая изменения X1, на которой отмечены частоты f.,

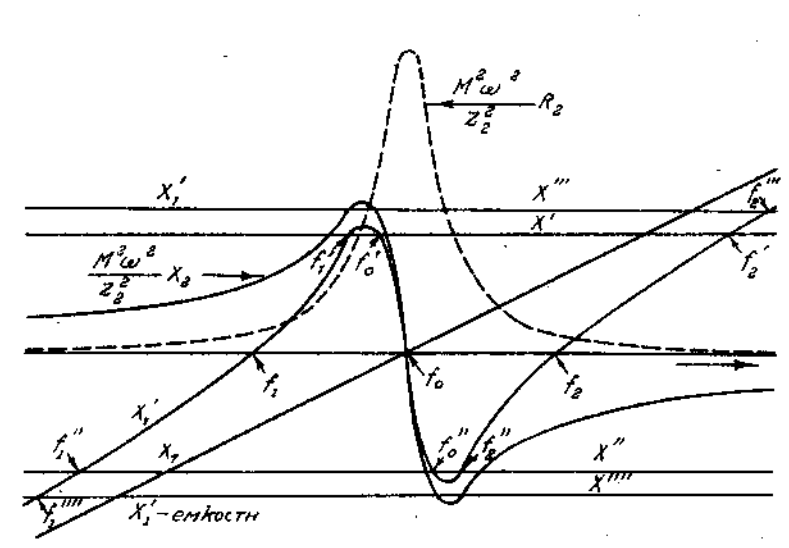
 f_1 и f_2 , сответствующие $X_1 = 0$.

Кура следующих рассуждений можно увидеть, что в точке f_1^* колебания неустойчивы. Предположим, что частота
стала немного больше f_0 , тогда вносимое в первичени контур сопротивление станет емкостным. Эта эквивалентвая
емкость последовательно с C_1 даст результирующую емкость, меньшую чем C_1 . Точка резонанса контура передви
нется еще выше и частота будет все возрастать. С другой
стороны, если частота в точке f_0 мгисвенно понивится, то

кость, меньшук чем с1. гочка резонанся контура породым нется еще выше и частота будет все возрастать. С другой стороны, если частота в точке f, мгнсвенно понивится, то вносимое в первичный контур сопротивление будет индуктивным. Эквивалентная самоиндукция, сложившись с L1, еще больше повизит точку резонанса контура. Отскда следует, что в точке f, частота всегда стремится от нее отдалить ся в виправлении первоначального импульса. Подобные рас суждения покажут, что точки f1 и f2 устойчивы. Из честежа видно, что устойчивые частоты лежат по

обе второны области, заключенной между двумя максиму-

мами кривой реактивного сопративления. Каждая из этих точек может быть отдельно перенесена как угодно близко к максимумам перестройкой петвичного и вторичного контуров на различные частоты, пледствий чего ось смещателя и точки резонанся переходят в 1; ,1; и 1; . Чем ближе будет точка резонанса к одному из максимумов, тем больше будет вносимое в контур сопротивление, а, следовательно, и вторичный ток, так что это является желатель вым.



фиг. 35. Кажущееся первичное сопротивление в овязанных контурах.

Частоты, соответствующие максимумым кривой полного реактивного сопротивления являются функциями связи, в о время как частоты, соответствующие максимумам кривой посимого в первичный контур реактивного сопротивления, в зависят от связи.

Эти точки легко определяются и, для достаточно тес-Ой звязи, могут быть использованы в приближенном вычис ени для определения связи.

Для того, чтобы получить решение относительно макси умов кривой вносимого вторичным контуром в первичный еактивного сопротивления, необходимо развернуть второй лен ур-ия (4):

Дифференцируя, получим:

постоянной. Т. в.

писано в виде:

AVGSCM:

T. 6.

 $X_{2}^{*} = \frac{N^{2}\omega^{2}\left(L_{2}\omega - \frac{1}{C_{2}\omega}\right)}{R_{2}^{2} + \left(L_{2}\omega - \frac{1}{C_{2}\omega}\right)^{2}}.$

 $\frac{dX_{2}^{2}}{d\omega} = \frac{d}{d\omega} \left[\frac{M^{2} \omega^{2} \left(L_{2}\omega - \frac{1}{c_{2}\omega}\right)}{R_{2}^{2} + \left(L_{2}\omega - \frac{1}{c_{2}\omega}\right)^{2}} \right] = 0$

. W.W≖WM

Решение ур-ия (14) несколько сложно, но для обычно встре чакщияся условий может быть сильно упрощено. В контуре о достаточной эффективностью оба максимума будут довольно близки к fo, так, что враимсидукцию в омах можно считать

Для такой узкой области, при данном изменении частот наменение емкостного сопротивления равно измеленик инду тивного сопротивления, и их можно заменить сдно другим,

где $\omega_{\circ} + \omega' = \omega$ так что ω_{\circ} представляет сосой отклонение от рассматриваемой частоты. Ур-ие (14) может быть пере-

Опуская в числителе постоянные коеффициенты 2М. L., по-

 $\frac{dX_2'}{d\omega_0} = \frac{-d}{d\omega_0} \left| \frac{2M_0 L_2 \omega_0}{R^2 + (2L_1 \omega^2)} \right| = 0$

 $(R_1^2 + 4L_2^2 \omega_0^2)^{-1} - 8L_2^2 \omega_0^2 (R_2^2 + 4L_2^2 \omega_0^2)^{-2} = 0$

 $R^{2} = 4L^{2} \omega_{0}^{2} \ldots \ldots \omega(19)$

(13)

 $R_{2} = 2L_{2}\omega_{\bullet} \qquad (20)$ $\omega_{o} = \frac{R_{b}}{9L}$ (21)

Для того, чтобы расцирить область устойчивой работы. зедует взять несколько сольшее звачение Ф., скажем

 $\omega_0 = 3R_2/4L_2 \dots (22)$

 $X_2 = 2L_2 \omega_0 = 1.5R_2$

Обращаясь снова и (3), имеем:

 $R_1^* = F_1 + \frac{M^2 \omega^2}{Z^2} R_2$

R2 - сопротивление вторичеого и и антенного контура. 4-сопротивление первичного или питающего коетура. Зна-

ение первичного тока высрено наивыгоднейшее в смысле асоты генератора, т.е. наименьшее возможное. Следоваельно потери в первичном контуре известны, и

Таким образом, зная, что ω требуемая частота, мы

MAN

естнь все величины.

 $R_1^* = \frac{\text{потери в перв. конт.} + \text{потери в антеняе}}{(\text{первичный ток})^2}$

рожем сразу получить решение для м ω и м, а зная м $^2\omega^2$, ны можем из ур-ия (4) найти я, и таким образом нам из-Для многократной антенны, связанной только одной из вамонидукций, участвующих в настройке, точное решение рказывается совсем сложным. Однако, в обычных условиях вередаваемая из одного контура в другой сезваттная молтость достаточно мала для того, чтобы не влиять на расфределение тока между различными самонндукциями. При ва #ичии этого условия, полученное выше значение для свя-**Ви умножается просто на отношение всего тока и току в** фой части, которая связана с первичным контуром.

РАБОТА ГЕНЕРАТОРА С СВЯЗАННЫМ ДВУВОЛНИСТЫМ КОНТУРОМ.

Из јиг. 35 видно, что если контур настроен на хорошую отдачу для одной из стабильных честот, то для друго нак вносимое в первичный контур розктивное сопротивлени так и вторичный ток счень малы.

Если гоноратор приводится в действие включением по стоянного напряжения, то при этом колобания, остественна возникают при той частоте, для которой сопротивление им от наименьшее значение, а это, как мы видели, влечет за собой малый вторичный ток. Колебания, возникшие с прави ной частотой, устойчивы, осли они только не втречают се езных помех; и не изменяются от сильного уменьшения амплитуды и возвращения ее до прежней величины.

Однако, если наблюдается изменение частоты от нагру ки, зависятее от способа присоединении контура и лампе, то устойчивость может игровенно нарушиться и частота бу дет непрерывно изменяться. Необходимо, во всяком случае принять меры и тому, чтобы колебания возникали с правил ной частотой.

Предположим, что в присоединенном к лампе контуре Гартлей'я возбуждаются колебания частоты f_2 ' и что имее место небольшое понижение частоты. Кажушееся сопротивление при этом возрастает и частота будет понижаться все больше и больше. Оторда следует, что для случая связанных контуров, каждый из которых настроен на частоту нижение колебаний, схема Гартлей'я не двет устойчивости.

Если, с другой стороны, контура настроены на частоту выше f₁, то в возбуждающем контуре по охеме Гартлей; это повышение частоты вызовет повышение кажущегося сопротивления, что заставит возбуждающийся контур понивить свою частоту, так что здесь осуществляются условия стабильности.

При возбуждающем контуре по схеме Колпитт'а условия

рямо противоположны, и стасильность получается тогда, огда оба контура настроены на частоту ниже требуемой.

Причина, почему в контурах Гартлей'я и Колпитт'а аблюдается тенденция к изменению частоты, объясняется ем, что если, по какой-лисо причкие, фаза сетки изменилась, то лампы нечинают пропускать безваттный ток и абота связанных контуров уже не соответствует оси нуверого реактивного сспротивления (см.главу 3).

Очевидно, что если относительная настройка контуров вменилась соответственно точке X''' на оси X, то колеса ин возможны тольно с одной частотой $\mathbf{1}_{2}''$ для ксторой сез аттная мощессть равна нулк. Для этой частоты вносимое о вторичный контур сопротивление и, следовательно, и торичный ток очень малы. Как только колесания возникли, ожно изменением настройки передвинуть ось в точку X^* . О все время этой перестроки колесания сохраняют стасиль осе время этой перестроки колесания сохраняют стасиль ость и устанавливаются при частоте \mathbf{f}_{2}'' ,при которой вто иченый ток велик. Этим можно воспользоваться, как сдним в методов для возбуждения колесаний с выгодной часто-ой в тесно связанном контуре. Однако, нужно заметить, то для целей сигнализации пользование этим методом не-

ределах, волна при покое отличается от передакшей, по-

ВОЭДЕЙСТВИЕ НА СЕТКУ ПРИ ПОМОШИ КЛИЧА.

астоте, и здесь возможна интерференция.

Уже раньше было указано, что можно, не нарушая натройки и устойчивости колебаний, сильно понизить полез ук мошность уменьшением амплитуды колебаний. Таким обгом, можно осуществить сигнализацию уменьшением мощссти колебаний, причем минимальные колебания могут под ерживаться либо главным питакщим контуром лампы, либо осторонеим источенком.

Полезно изучить пекоторые возможные способы выполения такой сигнализации. Раньше было замечено, что уве дичением сопротиряения трид-лика можно понивить амплитулу колесаний. Нез летального рассмотрения колесателя них харантеристик лампы ары отих условиях, очевидно, ча колесания судут поддерживаться, т.н. сеи возникают при отсутствии заряда на сетие и, следовательно, сопротивление сетия не существению.

Ампинтуда колосалий судот мала. Т.к. внодный ток. до известной степени, пропорционалев сеточному, а пос долний мая вследотвие сольшого сопротивления грид-лика Т. н. амплитуда колосаний мала, то смещающее напряжение также должно быть мало, иначе никакого феточного тока для поддержания этого смещения не судет. Потери в лам пе могут сыть определены прислиженно для предельного олучая, когда колебаний нет сонови. Для этого случая внодное напряжение равно приложенному постоянному напа ряжению, а потенциал сетки равен потенциалу вемли. Эт условия исключают все лампь с визким кажущимся сопротивловном, т.к. оди при полвом внодном напряжения и з вемленной сетке сметро разрушаются. По всей вероятнос не существует высоковольтных генераторных лами, которі могли бы в течение значительного времени выдержать по вое анодное напряжение при заземленной сетке.

Казалось Сы, что должно быть возможно уменьшение амплитуды колебаний с помощьк посторонного смещающего напряжения. Это втречает возражения, т.к. в контуре с посторонним смещающим напряжением не будет самовозбуждения и, кроме того, вследствие малого изменения приложенного напряжения колебания, уже возникшие, могут при сильном уменьшении их амплитуд прекратиться совсем

СИГВАЛИЗАЦИЯ С ПОМОЩЬК ДОПОЛНИТЕЛЬНОГО ГЕНЕ-РАТОРА.

Превмуществом дополнительного источника колесаний является возможность использовать его, как для возбуж-дения колесаний, так и для работы ключом, причем когда

ключ замкрут, главари мошный источник полностью выключен... - «Верей и пополнительным источником является ламповый говера ЮР. ТО ОН ДОЛЖЕН ИМЕТЬ ОВОЙ ОТЛЕЛЬНЫЙ КОЛОСЯТОЛЬНЫЙ ИСЕмур. Этот контур настроен на требуемую частоту и связан с главным контуром слабо по двум причинам. Во-первых сля бая связь необходима для того, чтобу колобания возбужда-

нов только с слиза частотой. Во-вторых, когда работает главный генератор, то он может при сильной свизи возбуинть в вспомогательном контуре очень сульные токий вызвать в нем повреждения. Связь между генераторами можво рак подобрать, что когда придет в действие главани гене ратор, он судет возвращать контуру вспомогательного ге-

вератора лишь столько энергии, чтобы разгрузить его дам ву. Посмотрим, какие для этого тресуются условия. Пусть I - ток в вспомсгательном контуре, когда

он служит дла возбуждения колебаний. Iz - сответствукщий ток в части главного KOHTYDA, OBRABBHOPO C BODOMOPATERBHMM

> ти главного контура, связанной с вспомогательным контуром.

Za. - кажущееся сопротивление вспомогатель - : ного контура.

- TOK P BCHOMOTATERSHOM KONTYDE, KOT-

- состветствующая амплитуда тока в час

да он возбуждается главным контуром.

21 - кажущевся сопротивление главного контура, выраженное через данные части эго, связанной с вспомогательным кон-TVPOM.

 $\mathbf{Z}_{\mathrm{d}}^{\star}$, $\mathbf{Z}_{\mathrm{d}}^{\star}$ - соответствующие вносимые в монтура кажущиеся сопротивления.

M_{с.} - Ваанмонадукция можду главным и вопомогательным контурами

Рівгое дает для независимого возбуждения (сто. 160, -ua 31 u 32)

люч замкруг, главани мощный источник полностью выключен.

оли дополнительным источником является ламповый генераор, то он должен иметь свой отдельный колебательный мерур. Этот контур настроен на требуемую частоту и связае
в главным контуром слабо по двум причинам. Во-первых слаая связь необходима для того, чтобы колебания возбуждаись тольно с одной частотой. Во-вторых, когда работает
главный генератор, то он может при сильное связи возбуить в вспомогательном контуре очень смльные токий вызвать в нем повреждения. Связь между генераторами можно
так подобрать, что когда прилет в действие главный гене
ратор, ов будет возвращать контуру вспомогательного генератора лишь столько энергии, чтобы разгрузить его лам
ву. Посмотрим, какие для этого требуются условия.

Пусть I_{α} - ток в вспомсгательном контура, когда он служит для возбуждения колебаний. I_{λ} - сотретствующим ток в части главного

1; - сотествующим ток в части главного контура, связанного с вспомогательным I; - ток в вспомогательном контуре, ког-

да он возбуждается главным контуром.

Т; - состнетствующая амплитуда тока в час ти главного контура, связанной с вспо могательным контуром.

 Z_L - кажущееся сопротивление вспомогательного контура.
 Z_L - кажущееся сопротивление главного контура, выраженное через данные части эго, овязанной с вспомогательным кон-

 Z_a , Z_b - соответствующие вносимые в контура кажущиеся сопротивления.

 M_{∞} - Вазимоивдукция между главным и вопомогательным контурами

Ріегое дает для независимого вовбуждения (стр. 160, р-ия 31 и 32)

TVDOM.

 $a = \frac{E}{2} \qquad \dots \qquad (25)$

Разделив (25) на (26), получим:

 $\frac{1a}{1!} = \frac{2i}{M_*\omega};$

ходимо, чтобы

Разделив (28) на (29), получим:

T.K. ME XOTHM, STOCH I $_{\infty}$ = I $_{\infty}^{*}$, TO

частотой резонанса обоих контуров, так что:

Из ур-ий (27),(31) и (33) имеем, что:

I R. I I Maw

 $Z_{\alpha} = R_{\alpha}$; $Z_{\ell} = R_{\ell}$

 $I_{g} = \frac{M_{a} \omega E}{Z_{*} Z_{*}^{*}}$

Когда возбуждающим контуром является главный, то

 $I_{\bullet} = \frac{E}{Z_{\bullet}}$

TI WW

желательно, чтоб вспомогательный контур возбуждал в

При выполнении этих условий, возможны колебания с

главном колебания только одной частоты. Для этого необ-

. . . (26)

 $I_{\alpha} = \frac{I_{1}Z_{1}}{N_{\alpha}\omega} \dots (27)$

 $I_{\alpha}^{\dagger} = \frac{M_{\alpha} \omega E}{Z_{\alpha} Z_{\alpha}^{\dagger}} \qquad (29)$

 $M_{\alpha}\tilde{\omega} < R_{\ell}\sqrt{\frac{L_{\alpha}}{L_{\epsilon}}}$ (32)

Последнее ур-ие при введении в него условий (32), дает связь между главным и вспомогательным контуром, при

которой ток в главном контура может наменяться от I₈
до I₈ только разгружая лампу, питающум вопсмогательный контур, в предположении, что настройка изменяется. В действительности ток в вспомогательном контуре олегка увеличится, но не настолько сильно, чтобы повредить включенные в него приборы.

Мотность, рассенваемая вспомогательным генератором, равна сумме I² п обоих контуров и легко вычисляется из данных втесь соотношений. Надежных критериев для провер

ки минимального вначения II нет. Его значение должно сыть достаточно велико для того, чтосы обеспечить снове рое и надежное возбуждение колесаний правильной частоты.

использование анодного тока для сигналичании.

Шля телеграфиях передатчинов средней можности, ока

жем, от 5 до 10 клвт. Сыло бы желетельно найти метод, позволяющий поддерживать устойчивые колесавня мелой ам плитуды без больших потерь. Помня об этом, рассмотрим, какое оказывает влияние сопротивление, шунтированное конденсатором, включенное между концом нити и землей. Такое сопротивление создает смещающее напряжение, пропорциональное анодному току, т.к. потенциал нити будет выше потенциала земли на Ir . При соответствующих условиях это должно дать как условчивость, так и самовоз суждение.

Для того, чтоб определить, какие для этого требуют ся условия, рассмотрим 20 клвт-нук лампу с водяным ох-лаждением типа UV-207, пользуясь х-ками фиг. 36. Для от рицательных напряжений на сетку можно с лостаточной степеньк точности определять анодный ток по формуле:

$$i = 0.29 \times 10^{-3} (E_g + \frac{1}{N} E_p),$$

где 0.29.10 -константа, полученная из пелого ряза х-к.

м-оксло 35. В колесательном контуре как сеточное, так и

анодное напряжение имеют по две составляющих-переменную

и постоянную, переменные сотавляющие пропорциональны меж у

- 66

= 0,29×10⁻³ $\left[E_{q} + \frac{1}{M} E_{r} - (C - \frac{1}{M}) \Delta E_{r}\right]^{\frac{3}{2}}$

для нашей рели с определяется полной нагрузкой я равно 0,25. Ет - приложенное поотоянное напряжение и рав

 $1+\Delta 1 = 0.29 \times 10^{-3} \left[E_g + \frac{1}{4} E_p - \Delta E_g + \frac{1}{4} \Delta E_p \right]^{3/2}$

ставляющие, то

во 15000в., поэтому

 $1+\Delta 1 = 0.29 \times 10^{-3} \left[E_0 + \frac{15000}{35} - (0.25 - \frac{1}{35}) \Delta E_T \right]^{\frac{7}{2}}$ Т. н. $\frac{\Delta E_{T}}{\Delta^{4}} = r_{o}$ эквивалентному сопротивлению лампы,

которое, очевидно, отрицательно, то колесания возникнут, если гос г - эквивалентного параллельного сопротивления вагрузки. Можно начертить схему эквивалентного контура (фир. 37). "г" - сопротивление, которое, сулучи приссединено к чистой емкости. С. и самонидукции. L.

даст нажущееся сопротивление контура. Чера L и С

цах гиг. Мощность, поглощаемая "г", равна:

Wz + E

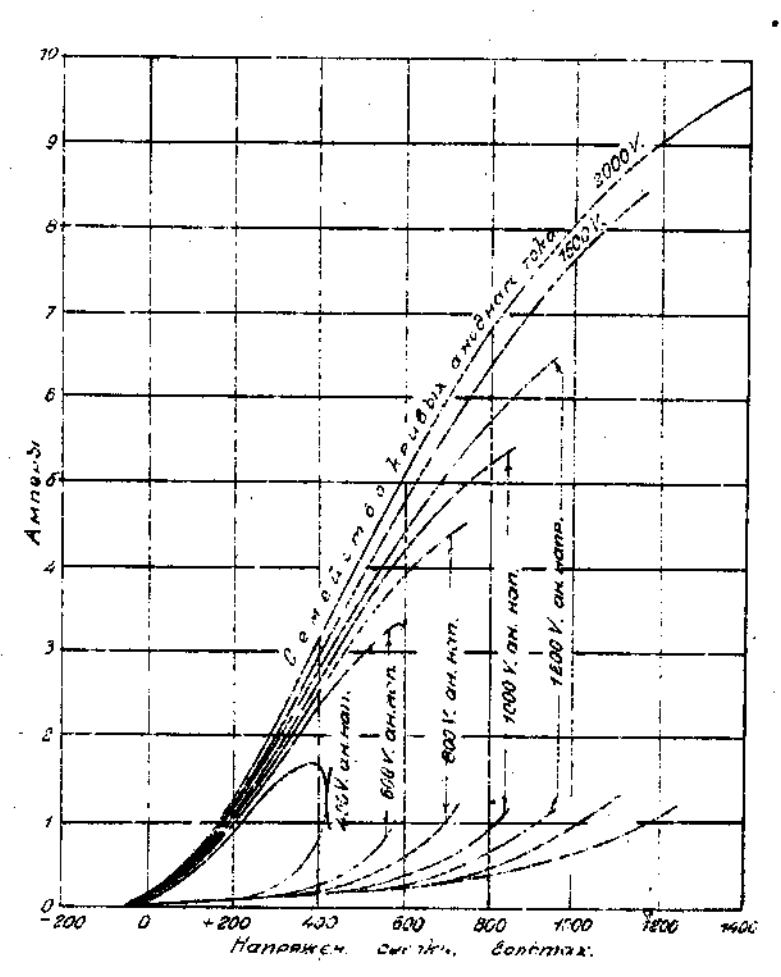
Мощность, отдаваемая "г.", равна: $N_{\tau_o} = \frac{E^2}{r}$

ядет векоторый ток, который создвет напряжение на кон-

ду контурами. Если Д в у и Д в у обозначают переменные со - 4

ду сосой и соотношение между ними зависит от связи меж-

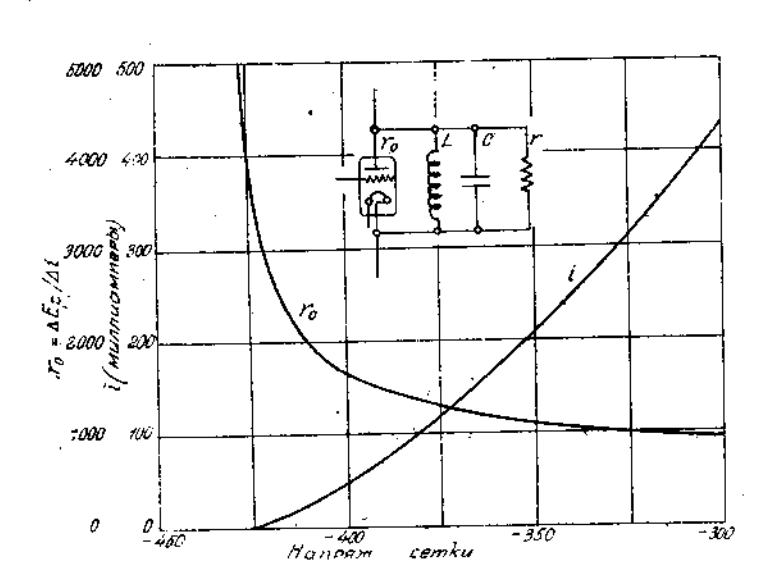
Новтому, всли г меньче, то имеется изливек онег рик, который накопляется в L и С. давая E_{ij} гил знечения, можно получить соответствующие значения $\frac{\Delta E}{\Delta L}$ и



Фиг. 36 % ин Ралистрова с водяным охламдением N109 для тока накала 52 амп. Сняты с помощью оспиллографа.

по ним построить кривук, наклон которой является морой отринательного сопрогивления. Тик. 37 дает кривук, по-лученнук таким путем. Т.к. нормальная нагрузка соответ ствует 3500 омам, то устойчивые колебания мелой ампли-туды должны получеться при токе несколько болькем 0,005

амп., что двет полезную мошность в 75 ватт. Точность приводимого вдесь ур-ия для ансдного тока едва ли достаточна для того, чтобы доказать, что колебания текой амплитуды судут поддерживаться. Однако, очевидно, что



⊉иг. 37. Отринательное сопротивление Радиотрона UV-207.

помощью смещающего напряжения можно получить колеса-

Для того, чтосы получить ток в C,005 амп., веобхомо иметь смещакшее напряжение в 425в. или сопротивлене между нитью и землей в 85000 ом.

исключение одной частоты изменением фазы сетки.

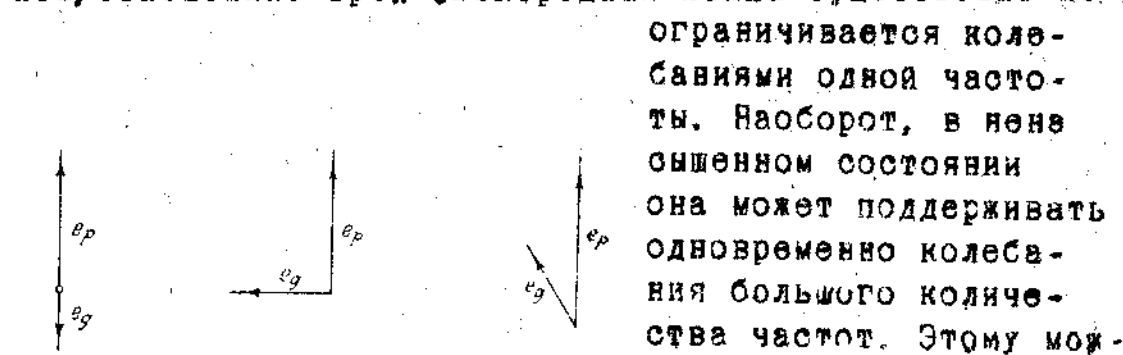
Если связь такова, что всаможны колесачий двух раз чных частот, которые можно легко разделить, то одну них можно исключить перестройкой контура. Это можно толнить следующим образом (риг. 38): сеточный контур туктивно связан с первичным или авсденым контуром и на боен в резонано на частоту между рабочими точками завного связанного контура. Лля более визкой частоты

(фиг. 39-А), требущное для колебаний соотношение фав. правильное. Вектора, соответствующие частоте резонанса сеточного контура, показаны на фиг. 39-В. онмивен винежестве вонготер порпондикулярны и колосания воддерживаться не судут. Тиг. 39-С показивает векторную ди аграмму для второй частоты ревонанса главного контура. Здесь сеточное возбуждение

активно противодействует воз Фиг. 38. Схема, применикновению колебаний этой вязмая для исилючения. CTOTH. одной частоты изменени В такой схеме, несмотря эм разы сетки.. на двуволнистость главного кон тура, возвикновение колесаний нежелательной частоты вст чает противодействие. Необходимо: чтобы связь сетки бы ла достаточно сласой для того, чтобы не могли появитьс новые нежелательные точки резонаноа.

> PABOTA OSHOPPEMENHO C DBYMA -SACTOTAME.

Продыдущио рассуждения об изменении амплитуды в св ванных контурах являются неполными в одном, очень ном, отношении. Трех-электродная лампа существенно не



но воспрепятствовать. риг. 39-4.39-В.39-С. Соотно-главным образом, омеансинны и соточным

напряжением в контуре фиг. 38.

щением сетки. Если смещающее напряжение подобрано таким образом, что все токи прерываются втечение значительной части периола, то преобладакшее колебание будет поддерживаться соответствующей синхронизацией толч нов тока. Все колебания другой частоты с самого начала прекращаются втечение той частя периода, когда тока нет, и не могут, таким образом, стать первенствующими.

Перестройна контура, колеслюшегося устойчиво с одной частотой и малой амплитудой, с цельк увеличить полевную мощность, может сделать смещающее напряжение не достаточным для того, чтосы воспрепятствовать вовникновених других колесаний. Если при этом будет поглощаться мало энергия, то колесания, раз возникшие, могут даже заглушить колесания полезной частоты. Вероятность этого является ф-ней от изменения амплитуды от времени. Янкакого количественного определения этой ф-ии пока еще не удалось получить.

Приложение к Главе 5.

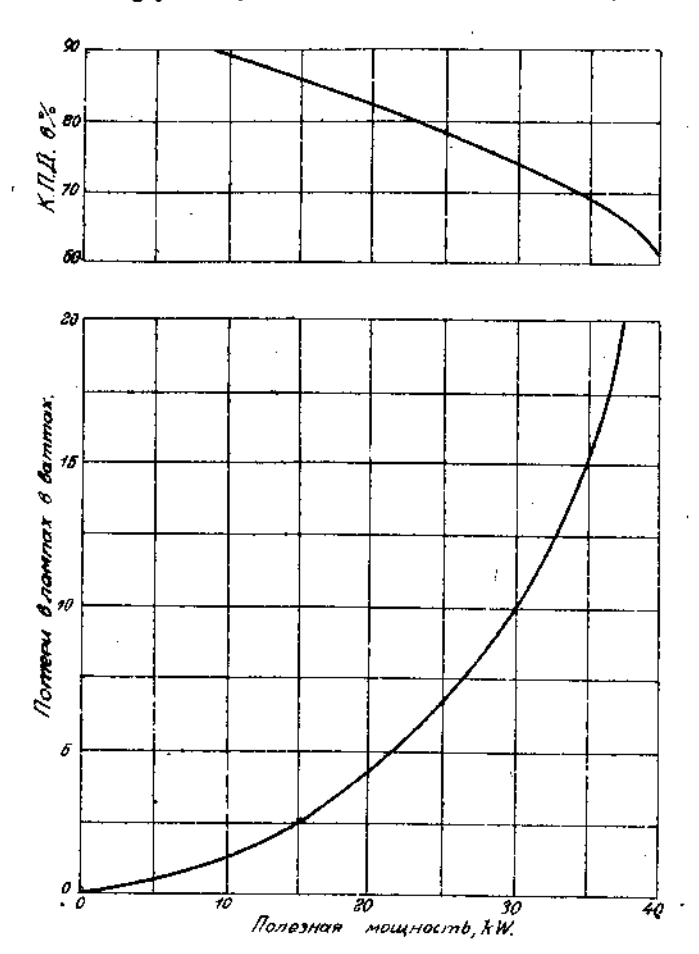
РАСЧЕТ ПЕРВИЧНОГО КОНТУРА, СВЯЗАННОГО С СЕТКОЙ.

Расчитываемый контур поназан на фиг. 38; в нем одначастота искличена тем, что для нее фаза сеточного напряжения неправильна. Генератор должен дать мощность в 200 клат. при длине волны в 16400 мтр. и состоит из 10 ламп, расчитанных на пост. напр. в 15000в. Х-ки автенны двны фиг. 40 клат дани фиг. 40 и 41 лля полезной мощности в 25 клат. дани след. величины:

Потери в лампе - 6,6 клвт. на каждую лампу. Перем. анодное напр. - 9400в. Перем. зеточи. напр. - 2350в.

Метолом, указанном в главе 1, Сыло вычислево, что

потери в цепи сетки составляют 8% от потерь в цепи аво да. Для того, чтосы оделать допуск на потери в первичном контуре и другие, для мощности каждой лампы ваято



тиг. 40. Вычисленные К.Д.Д. и потери Гадиотрона N109 с водяным охлаждением в наивыгоднейших условиях расоты для пост. напр. в 15000в.

значение в 25 клет.

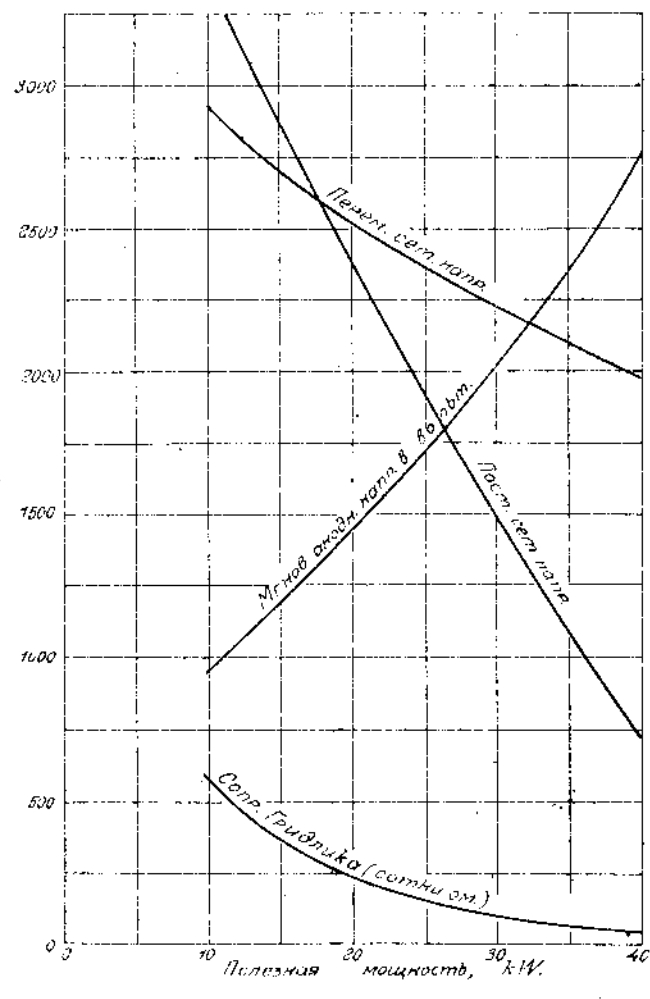
первичный контур.

Ти. связь с антенной предполагается сласой, то количество вольт-ампер, которое должно накопляться г первичном контуро, в 49г раз больше ватт, т.о. равно 251Сква. Это двет при переменном анодном напряжении 9400в. для безваттного тока значение в 267 вмп., и вносимое антевным или вторичным контуром в первичный омическое сопро-

 $\frac{200000}{267} = 2,81 \text{ oms.}$

Резитивное сопротивление конденсатора C равно $\frac{9400}{280} = 35,2$ омам.

Вносимое эторичным контуром реактивное сопротивление в сумме с первичным сопротивлением должно равляться этор величине.



Тиг. 41. Вычисленные наивыгоднейшие условия расоты Радиотрона с водяным охлаждением N108 для пост. напр. в 15000р.

ARTERNIA KORTYP.

Тиг. 42 дает х-ки автенны. Там же нанесева зависимость первичного реактивного сопротивления от расстройки первичного контура. Антенный контур наверное двуволвистый, т. к. антенный ток $=\sqrt{\frac{20.049}{85}} \neq 633$ амп., что дает 633 х x164,2 = 65600 ква., а это визчительно сольше 2510 ква. порвичного контура. Как видно из чертежа, наименьшая выявь, при которой эффективное сопротивление первичного контура равно 2,81 омам, заключается между 5 и 10 омами, но т.к. контур двуволнистый, то веобходимо взять большую рвязь, для того чтосы можно сыло разделить обе частоты настолько, чтобы дать возможность контуру сетки исключить нежелательную частоту. Мы возьмем связь в 20 ом. тиг. 42 дает для вносимого в первичный контур омического сопротивления значение 2,81 ома при 99,61% тресуемой час тоты. Этому соответствует вносимов антенной в первичный контур реактивное сопротивление в 7,25 ома при расотройже первичного контура в 10%. Индуктивное сопротивление первичного контура должно быть равно 35,2-7,25-27,95омам. Еторая точна резонанса определяется пересечением продол--оквиточно отонентивья стонгивает кивняя свядив киннеж ния и вносимого в контур реактивного сопротивления при связи в 20 см. Это имеет место вемного дальше 110% тре суемой частоты и эта частота должна сыть исключена дейотвием сеточного контура. Сеточный контур должен сыть настроен на частоту, равнук 109% требуемой, и тогда точка, соответствующая 110% тресуемой частоты судет исклю-

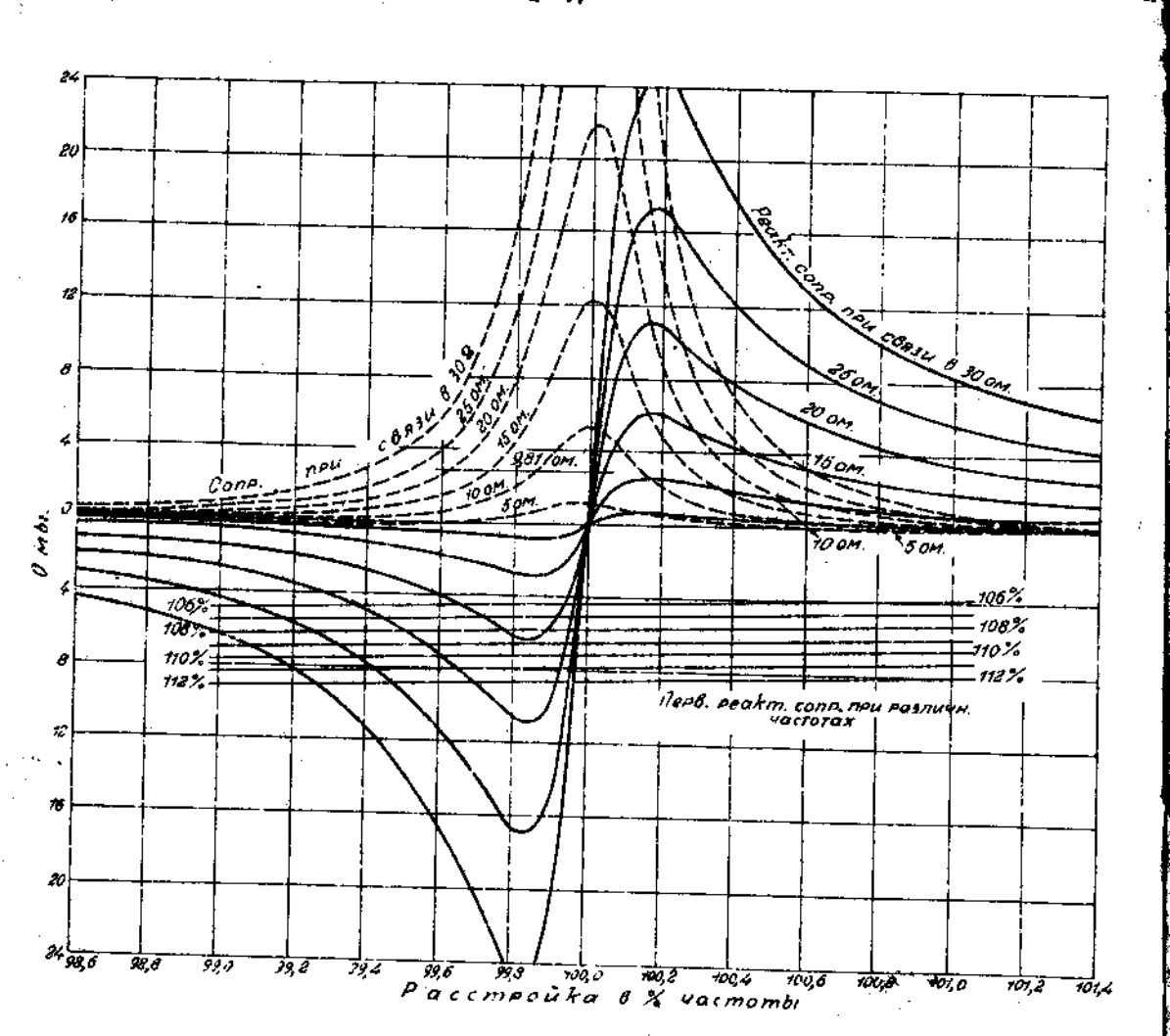
KOHTYP CETKU.

gera.

помощьк которой может сыть вычислено возсуждение сетки. Если колесания возникают при напряжении первичного контура \mathbb{E}_{cp} , то полное падение напряжения в \mathbb{L}_p равно \mathbb{E}_{cp}

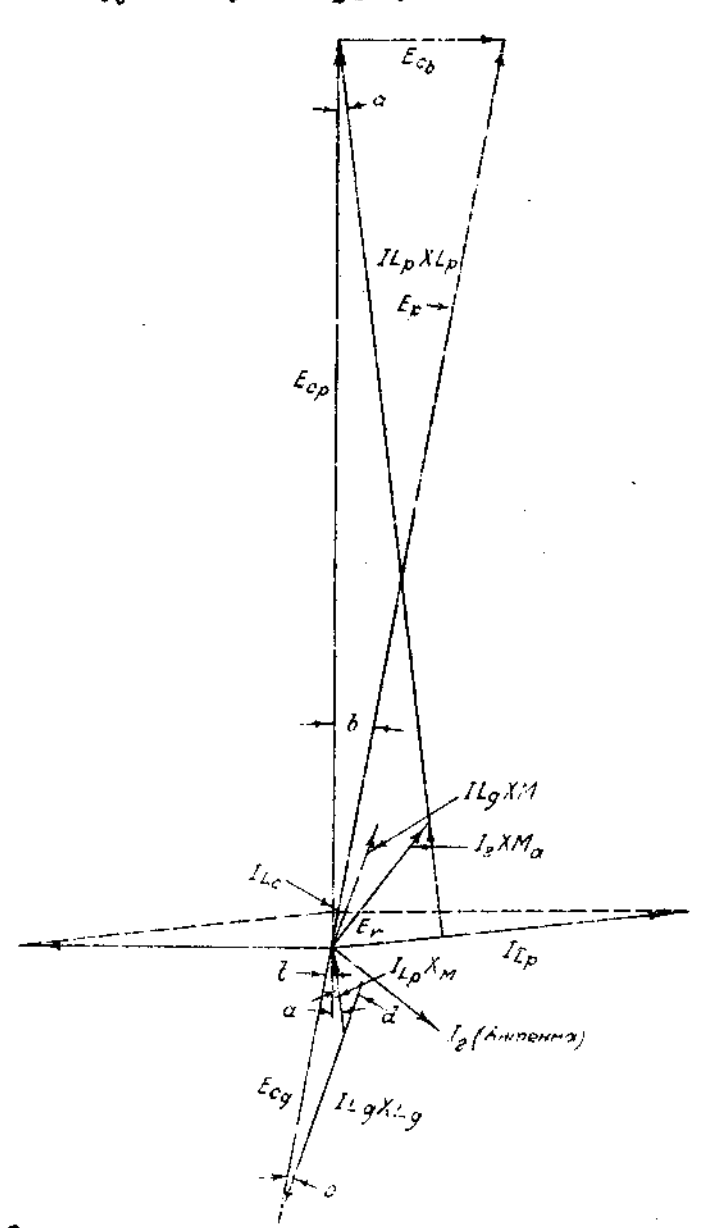
фиг. 48 представляет сосой векторную диаграмму, с

и может быть разложено на две составляющие $+ I_{L_{m}} X_{L_{m}}$ нац ряжение самоиндукции и $I_{\chi} X_{h}$ — возбуждаемое антенной. Нац



Тиг. 42. Характеристики сольшой многократной антенны. Числа на кривых обозначают связь в омах при частоте, рав ной 100% тресуемой (18300 пер./сек.). Емкость антенны рав на 0,053 мгд. (сопротивление при 100% частоты равео 164, омам.) связь взята с одной из вести катушек настройки. Сопротивление антенны - 0,5 ома. Емкостное сопротивление первичного конденсатора при 100% частоты =35,2 омам. Сле дуэт заметить, что кривые реакт. сопр. самого контура и вносимото антенной, нанесены в противоположных направлениях,т.ч. их пересечение дает нулевог реакт. сопрот.

яжение I_2X_M может в свою очередь быть разложено на $_{t}$ в фазе с $I_{L_{T}}$ и E_{x} , перпендикулярное к $I_{L_{T}}$ и, слевательно, в фазе с $I_{L_{T}}X_{L_{T}}$. Падение напряжения в слонровочном конденсаторе $_{-E_{c,t}}$ дает анодное напряжение E_{τ} , тотакшее от E_{cg} на угол "ь".



фиг. 43. Ректорная диаграмма для случая, когда первичный контур связан с сеткой

что касается контура сетки, то напряжение \mathbb{E}_{C_g} должно отличаться по разе от напряжения \mathbb{E}_{T_g} на 180° , разнорая между $I_{L_f}X_m$ и I_{L_f} равна 90° . Падение напряжения в кушке сетки, создаваемое сеточным током, равно $I_{L_f}X_{L_g}$ отличается по разе от напряжения, возбуждаемого сеточни контуром в первичном, на 180° . Это напряжение $I_{L_g}X_{L_g}$ на столько мало, что им при расчетах можно пренебречь, а при окончательной настройке оно автоматически учтется. Угол "а" получается из отношения вносимых в первичный контур омического и реактивного сопротивлений, когда от сеяван с антенной:

$$a = tg^{-1} \frac{2.81}{35.2} = tg^{-1} 0.0798 = 4^{\circ}35^{\circ}$$

Эквивалентное параллельное сопротивление первичного колесательного контура может быть вычислено из мошность и напряжения:

$$R = \frac{9400^2}{200000} = 442 \text{ OMBM}.$$

Исли взять анодный слокировочный конденсатор емкос в 0,2 мфд., то его сопротивление равно 43,5 омам и

$$b = tg^{-1} \frac{43.5}{442} = tg^{-1} 0.0985 = 5^{\circ}40^{\circ}$$

Если контур сетки настроен на частоту, равнук 109 гресуемой, то для воасуждения колесаний частоты, равнок 100% тресуемой, не окажется составляющей сеточного напоряжения правильной фазн. Предположив, что контур сетки настроен на частоту, равнук 109% тресуемой, и зная, что вестора дваграммы напряжений сеточного контура. (фиг. 40 Угол в начале координат равев $a+b=10^{\circ}15^{\circ}$; $T_{\text{Lq}} \times \text{Lg} = \text{Ecq} \times 1/1.09^2 = 19808.$

Зная две стороны и угол треугольника, мы можем вычалить и третьк сторону, которая равна 369в., и угол С \sim 1055°. Таким образом, нам полностью известна диаграми

пряжений, несмотря на то, что мы не вняем ни токов, на противлений.

В этом контуре питакщим является напряжение $I_{L_{f_{1}}}X_{f_{1}}$. Коэффициэнт мощности равви sin d = sin (a+b+c) = sin 12°10'=0,211

Полная мощность сеточного контура равна

 $N_g = 10x6600x0,08 = 5280$ ватв. и отсида $I_{L_g} = \frac{5280}{369x0.211} = 67,8$ амп.

Сто двет для сезваттной мошности значение - 159000 одьт-ампер, которая не может повлиять чувствительным гразом на первичный контур с сезваттной мошностьк в 10000вольт-ампер. Длина вентора I_{L4} X_{II} задается

$$I_{h_1} X_{h} = I_{h_1} X_{h} - \frac{I_{h_2}}{I_{h_1}} = 369. \frac{87.8}{267} = 948.$$

Это, конечно, совсем невначительная величина и, как ило указано, компенсируется при окончательной настройв контура.

Пужно заметить, что количество вольт-ампер сеточого контура гораздо больше, чем нужно. Для уменьшения
го возможны два метода. Во-первых, можно увеличить І_{Іт}Х_н.
го повлечет за собой дальнейшее удаление частоты сеточого контура от рабочей, что, в свок очередь, потребует
оиления связи между питакщим и антенным контуром, для
ого чтобы обеспечить себя от возникновения колебаний
вжелательной частоты. Во-вторых, может быть увеличен
раффициент мощности передаваемой в сеточный контур энер
ии. Это требует увеличения угла (а+ь). Значение "а" фик
вровано выбором первичных вольт-ампер и эквивалентным
опротнелением антенны, а "ь" может быть увеличено увевчением емкостного сопротивления блокировочного янолвчением емкостного сопротивления блокировочного янол-

ження, т.к. очень трудно построить катушки связи соль, шой мощности, и взаимонндумция должиз сить оделяна кат можно маньше. Кроме того, чем меньше связь, тем меньше гармовик попадет в антенну. Вфорой спосос также далеко не мелателен, т.к. он может привести к неожиданным осложнениям паразитарного характера. Из всего сказанного здесь следуют, что при проектировании такого генератор приходится считаться с тремя факторами: количествомноль ампер сеточного контура, связью между первичным и антенным контурами и ентенным контурами и ентеннатирующим контурами и ентенным контура

Емкость слокировочного конденсатора сыла взята 0,5 мрд., следовательно, сопротивление его равно 43,5 оман это дает для угла "ь" значение $5^{\circ}40^{\circ}$. Ток, подводимы к колесательному контуру, равен 200000/9400 = 21,3 ами и находится в фазе с \mathbf{E}_{ep} . Для того, чтосы фазе токе свя равна фазе \mathbf{E}_{p} , необходимо, чтосы ток через \mathbf{L} сыл

 $I_{b_0} = 21,3xsin 5^040' = 2,1 8MH.$

Т.н. напряжение на концах L равно 9400г., то ее недуктивное сопротивление должно быть равно 4480 омам.

СВОДКА ВСЕХ ПОСТОЯННЫХ В ТАБЛИЦЫ.

Пользуясь предыдущими вычислениями, можно определита вначения всех эмксстей и самоиндукций и распределить и по таслицам.

Приводимые здесь пифры были приняты без допуска на то, что рабочая частота равна 99,615% частоты антенны вместо 100%. Заключающанся при этом ощиска меньше той точности, с которой могут быть измерены конденсаторы и катушки, и окончательная настройка должна производитьс по волномеру для каждого контура отдельно.

F 7:	i					_
Pas-	Вольты	ыщепиА	T		HHBTRP.	
вание			сопротивлея	ВОЛН	ANBA	
_						7
Lç	9400	2,1	4480	39 u	миллигенри 2 микрофарады 247 микрофар. микрогеней	
Ce		-	43,5	0,2	микрофарад	S
Č ₄	9400	267 ·	35,2	0,2	47 микрофар	
Lp		287	27,95	.243	Marbole Hen	
Ж	369	267	1,38	12	макроганри	
No			20	174	микрогеври	
C _g	2350	67,R	34,7	0,25	1 микрофар.	
Lg	1980	67,8	29,2	254	микрогенри	
POCYCL ROCTATO CANTE O ПОЛУ Local	нмеет т сольше сорьтся серется точки ге высирает чаемому вависит должна	PERS SONE TREE SONE REQUISE SON SONE BENEFE ASSOCIATION MOTE HQD ATEMORTOL	готвин с фиг ого, чтобы вы и передать тра зольно. Прове значеник L.и	ле воль дет ток 42 л до годным о есуемую рка ее о	Т-ампер в , дагший олжна быть образом раз мощность. производито	

Направление векторов напряжений сеточного контура раженровани, т.к. \mathbb{E}_{q} должно отличаться по фазе от \mathbb{E}_{p} на 1800, а $\mathbb{I}_{L_{p}}X_{N}$ от $\mathbb{I}_{L_{p}}$ на 900. Если контур должен быти вастроен на частоту, равнук 109% тресуемой, то

$$I_{L_q} X_{L_q} / E_{C_q} = \frac{1}{109^2}$$

Длина \mathbb{E}_{ϵ_0} определяется х-кой вамен, а потери в кој туре определяют все остальные постояеные.

ГЛАРА 6.

контур мошного усилителя.

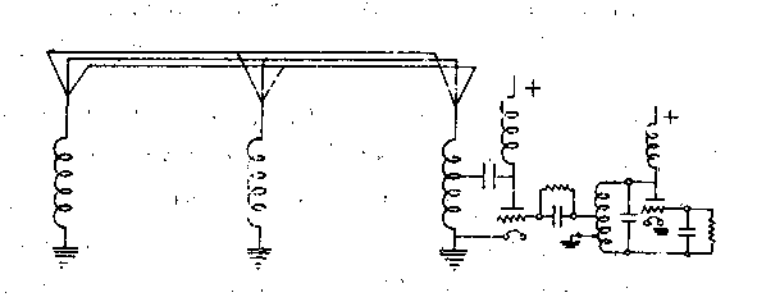
Иногда Сывает желательно получить сольшую излучаемую мещность усилением колебаний малой мошности, отличающихся сольшим постоянством частоты, при помещи солее
мошных ламп. Затрушнения, с которыми прихолится встречаться в этом случае, особенно резко выражены тогды,
ногда контур нагрузки точно настрось на требуемую часто,
ту. Поэтому полезно изучить работу мошного усилителя в
условиях, имеющих место в мошной Трансатлантической антенне.

Фиг. 42 показывает влияние, оказываемое на первичный контур при регличных частотах и энечениях связи. По яме юнимся сведениям, изменение скорости ветра и темпоратуры может вызвать изменение емкости антенны, дакшее изменение частоты резонанся на 0,3%.

Предположим вначале, что усилитель связан кондуктивно с антенной (фиг. 44). Для простоты выберем связь в 20 ом, т.к. это есть наибольшая связь, для которой фиг. 42 дает полнук кривук. Помещенная ниже таблица дает зна чения полного кажущегося сопротивления отбирающего кон-

· · · · · · · · · · · · · · · · · · ·	,			-			
Расстроина в Яй	C	0,05	0,10	0.15	0.20	0.25	0,30
	22.2		16	11.5	8.4	6.2	4.7
Реакт, сопротив.	0	€.4	10.3	11,2	11.0	10.1	9,2
Наж. сопротивл	22,2						11.32

Очевидно, что при резонансе кажущееся сопротивление максимально. Т.к. при постоянной эмиссии и сеточном воз суждении ток не может увеличиться при повижении кажу- щегося сопротивления, то его можно считать постоянным. Тогда полезная мощность равна произведение из квадрата тока на омическое сопротивление. Подводимая мощность ротаєтся постоянно:

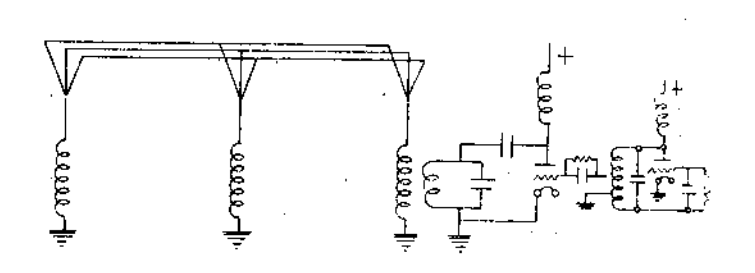


иг. 44. Контур мошного усилителя, сгязанный непосредственно с антенной.

Если К.П.Д. при резонансе равен 80%, то подродимая мошность равна 200/0.8 = 250 клвт. Соответствующие раздличной расстройке значения К.П.Д. и потеры даны в помещенной выже таблице.

Расстронка в 3%	C	0,05	0,10	0,15	0,20	0,25	0,30
	22,2	20	16	11,5	8,4	6,2	4,7
Пол. моца, в клат.	200	180	144	103,5	75,7	55,8	42,3
Потера в клет.	50	70	106	146,5	174,3	194,2	207,7
Антен. ток в %%	100	85	85	72	61,5	53	46

Из таблицы видно, расстроика частоты в 0,1% удваивает потери и доводит ток до 85% его заксимального звамения. Дальнейшая расстройна до 0,3% снова удваивает по гери и уменьшает излучение больше чем на 50%. Для привятой нами раньше длины волмы 0,1% составляет 18,3 пери ода в секунду, а 0,3% - 54,9 периола Сомичтельно, чтобы такие малые изменения частоты оправдывали выбор схемы тиг. 44 для нашего случая. Изменение потеры в дампе и этг. 44 для нашего случая. Изменение потеры в дампе и знтенного тока, несомненно, более важны, чем эти небольшие изменения частоты. Положение несколько изменяется при ввесении промежуточного контура между антенной и лампами. Это показано фиг. 45. И для этого случая ввачения сопротивлений могут быть взяты из фиг. 42,



Іяг. 45. Контур мошного усилителя, присоединенный к антенне через про-межуточный контур.

. Жирные кривые представляют собой реантивное, а пунтирные омическое сопротивления, впосимые в контур аненной.

Когда антенна настроена точно в разонанс, то вносиое в контур реактивное сопротивление равно нулю. Вноимое в контур омическое сопротивление, при мощности в
итсьне в 200 клвт., равно 4,25 омам, и полученное инерполяцией аначение для связи составляет 8 ом. Мощный
силитель подводит к контуру напряжение, создающее в
вмоиндукции и емкости первичного контура ток в 217 амп-

 $E_n = 217x51 = 11070B.$

Роличество НВА в конденсаторе = $217^2 \times 51 = 2400$ ква опереж.

Ноличество КВА в самоиндукции = $217^2 \times 51 = 2400$ ква ототаки.

Действительная мощность = $217^2 \times 4,25 = 200$ клвт. Полная подводимая мошность = 200 клвт.

Кажущееся сопротивление подвод. пепи = $\frac{11070^2}{200000}$ = 612 ом.

Очевидно, что эта величина сопротивления в омах не зависит от высора подводимого напряжения в 11070в., а сыла сы та же при всяком другом напряжении.

Из фиг. 42 видно, что ваибольшее реактивное сопротивление вносится антенной при расстройке в 0,15%. Т.к. это находится в пределах наблюдаемых изменений частоты, ло 0,3%, то чаше и при меньших мы проходим через эту точку.

При такой расстройке антенна вносит в первичний ковтур омическое и индуктивное сопротивление в 2 ома (величнее эти получены интерполяцией из кривых јиг. 42). Эту величину нужно сложить алгебраически с кажущимся сопротивлением индуктивной ретви первичного контура. Ток в этой ветви рарен

 $\frac{51}{53}$ x217 = 208,8 AMD.

Количество КВА в конденсаторе = $217^2 \times 51 = 2400$ КВА оперем.

Количество ква в самонадукции = 208,8 2 x51 = 2310 ква отстакц.

Действытельная мошность = $208.8^2 \times = 87.2$ квт.

Результир. Сезв. Уощность = 90 КРА опережающих ваттн. мощн. - 87,2, квт.

Полная мольость равна 125.2 КРА.

Кажущееся сопротивление = $\frac{11070^2}{125200}$ = 978 ом.

реакт сопрот. = 704 омам

Из них:

омическь сопр. - евг омям.

Эти значения также не зависят от высора аноди. Напряжения в 11070 в. К.П. Л. ламп, выстанных для получения мошности в антенне в 200 клвт. равен 80%, а потери в них на преодоление пространственного заряда составляет около 10%. Для вычислений можно считать метод гла вы 2 достаточно точным, и из тип. 14 получаем для угла $2\theta_1$ - 125° .

Основная составлякшая тока в контуре отдачи равна

11070 — 18.1 амперам. Торма нривой тока определяются

следукщим образом: т. н. потари на преодоление пространотвенного заряда составляют 10%, то приложенное постоянное напряжение равно:

$$1070 \times 1.41 \times \frac{100}{90} = 17320 \text{ F}$$

Среднее значение тока судет:

$$\frac{200000 \times \frac{100}{80}}{17320} = 14,45 \text{ ann.}.$$

во т. к. ток течет только в течение части периода, соответствующей 125⁰, то за это время средний ток сулет равен:

$$14,45x\frac{360}{125} = 41,6 \text{ amg.}$$

 $\cos 62.5^{\circ} = 0.463$ Среднее значение между -62.5 и +62.5 (этнесенное к ливны симметрии) равно:

$$\frac{1}{125} \int_{-62,5}^{+62,5} \cos \theta \, d\theta = \frac{180^{\circ}}{97 \times 125^{\circ}} \times 2 \sin 62,5^{\circ} = 0.81$$

В этом масштабе наисольшия ордината равна 1.

Средное положительное значение этой кривой равно 0,814-0,463=0,351. Эта же кривая, отнесенная к масштасу, в котором средний ток при 1250 равен 41,6 амн.,пред старляет собой положительную часть кривой тока.

$$1 = \frac{41.6}{0.351} \cos \theta - \frac{41.6}{0.351} 0.463 = 0$$

Когда антенна расстроена, ток повыситься не может

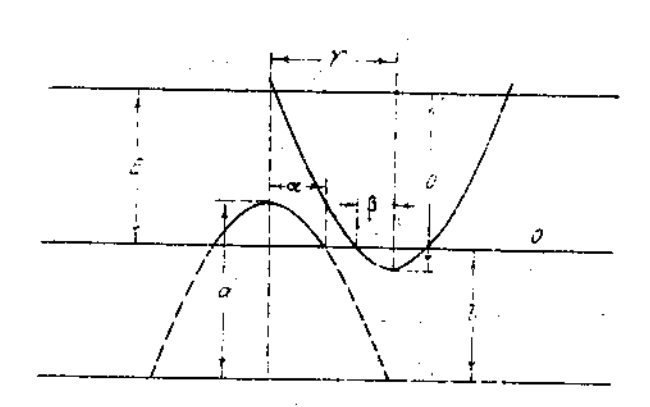
Разложение в ряд Турье дает для среднего квадратичного значения основной составляющей тока, нак и следова до ожидать, 18,1 амп.

вследствие того, что как эмиссия, так и возбуждение сетки остались те же. Он, наоборот, даже может упаств, т.к. при расстройке антенны кажущееся сопротивление антенны возросло. Если бы мы довели ток до низкого значения, то переменное анодное напряжение стало бы также очень чизким и не в состоянии было бы ограничить тока. При постепеном возрастании тока наступает такой момен когда результирующее анодное овпряжение становитоя вампновение равным нулк. При приближении к этой точке присходит быстрое уменьшение угла отсечки тока. Обращаяс к фиг. 46, представляющей кривые колебаний анодного тока и напряжения, заметим, что для СДЕ никакого ограничения угла отсечки тока нет, для ССЕ, если только крамя тока скончательно не искажена, угол 2 у имеет наибо нее значение. Если эмиссия и возбуждение таковы, что п

уменьшенном угле невозможно, чтобы С было больше или р

но E, то величина C солеме увеличиться не может. Если C другой стороны, такое значение C нозможно, то ток может возрастать до тех пор, пока $\infty + \beta = \gamma$. E этой точке, при заданном возбуждении сетки, кривая уже дальше подымать ся не может, т. к. форма кривой тока зависит от возбуждения оетки и при отрицательном напряжении на аноде тока сыть не может. Для того чтосы определить, возможно ли, чтосы C сыло сольше E, достаточно получить решение для пограничного случая $C \Rightarrow E$.

Обратимоя снова к фиг. 46 и для навего случая предположим, что кривая сока представляет собой часть изобра женной здесь оннусоиды, при чем постоянний член, дополняющий действительную амплитуду тока до амплитуды синусоиды a=18,5 амп. может изменяться.



Тиг. 18. Соотношение между анодным напряжением и током в мощном усилительном контуре.

Пусть:

- Е = пост. анодн. напр.
- а = амплитуда кривой тока = 118,5амп.
- волична, дополняющая действ. ампл.
 точа до 118,5 амп., минм. значение которой равно 54,9 амп.
- С = амплитуда эподи, напр.

$$\gamma$$
 = угол сдвига фаз нонт = cos 0,697=469.
 β = cos $\frac{-1}{C}$

Z - как сопр контура R - вносимое в контур омическ сопрот.

в - амглитуда основной составляющей Поглощение в контуре = $\frac{C^2}{272}R = \frac{3^2 \times 682}{27978^2} = 356 \times 10^{-6} C^2$

NC CORY Отдача лампь

При установившемся состоянии помери равны отдаче, HOSTOMY:

356x10-6 02 = MCcos

Разложение в ряд тупье двет:

$$\pi = \frac{1}{\pi} \int \left(a \cos^2 \theta - b \cos \theta \right) d\theta = \frac{1}{\pi} \left[a \left(\frac{\theta}{2} \right) \frac{1}{4} \sin 2\theta \right] - b \sin \theta \right] = \frac{1}{\pi} \left[a \left(\frac{\theta}{2} \right) \frac{1}{4} \sin 2\theta \right] - b \sin \theta$$

$$= \frac{1}{\pi} \left(a + \frac{a}{2} \sin 2\theta \right) - b \sin \theta \right] = \frac{1}{\pi} \left(a + \frac{a}{2} \sin 2\theta \right) - b \sin \theta$$

Если C>E, тос $<\gamma$. В пограничном случае C=E и $A=\gamma$. CTAR b=a cosY=118,5x0,697#32,6

$$N = \frac{1}{3}(118.5 \times \frac{46\%}{180} + \frac{118.5}{2} \sin \theta 2^{\circ} - 2 \times 82.6 \sin 46^{\circ} = 12.5$$

$$C = \frac{12.5 \times 0.697}{2 \times 356 \times 10^{-6}} = 12240$$
 BOJET.

Отскда следует, что при отсутствии ограничения для угля отсечки токя напряжение могло бы возрасти до вели-чивы с = 1,41 x 18,1 x 978 = 25000 вольт; ограничение величины этого угла не деят напряжение подняться выше 17320 в., т.е. выше пост. напр. Е. Р деяствительности, угол ограничен еще меньшей величиной, т.н. в точке периода, соответствующей максимуму переменного внодного напряжения, ток должен иметь еще значительную величину. Если предположить, что при этом достаточно иметь разность потенциалов между анодом и нитью в 1000 в., то С должно быть равно 16320 в.

$$M = \frac{16320 \times 2 \times 356 \times 10^{-6}}{0,697} = 16,7$$

Для построения кривой тока даем ос ряд значений. Вы-

числения приводятся в приложении к этой главе (таблица 3), из которой, интерполируя, получаем m=16,7 и $\infty=53^{\circ}$. Полезная мощность = C^2 х 356 х 10^{-6} = 94.8 квт. Подводимая мощность = E х і среднее. = 17320 х $\frac{1}{37}$ (118,5 сов θ . 71,3) с $\theta = \frac{17320}{37}$ (118,5 sin 53° - 71,3 х $\frac{53}{180}$ π) = 158,8 квт.

Потери = 64 квт.

Таким образом, проможуточный нонтур не дает поторям возрастать так быстро, как боз него. Дальнейшая расстрой ка вызывает увеличение кажушегося сопротивления, сопро-вождакцееся, вероятно, уменьшением потеры.

Примененный здесь метод олишком прислиженный для того, чтосы его можно было считать надежным, но все же он двет порядон величин, которых можно ожидать в мошном уси лительном контуре с смешающим напряжением, создаваемым сопрстивлением в пепи сетки. Точное исследование может быть, конечно, произведено по методу, изложенному в гла ве 1. Вследствие непостоянства фазы сетки, при расстрой ке могут возникнуть некоторые особые явления. От серьезности этих явлений зависит, в каждом данном случае, взобходимость в большем или меньшем поотоянстве настрой ки.

Прложение к Главе 3.

таслипа 3.

Анализ кривой тока для нахождения соотавляющей с коэ ϕ ициентом мощности = 1.

	450	500	55	60°
«(в радианах)	0,787	0,875	٥,980	1,050
sinoc	0,707	0,768	0,820	0,867
sin 20c	1,000	0,98	0,94	0,867
cosa	0,707	0,643	0,573	0,500
b = 118,5 cosd	0,827	76,2	68,0	59,3
act/T	29,7	33,0	36,2	39,6
a/297 sin 2a	18,9	18,5	17,75	16,35
25/T sina	37,7	37,8	35,5	32,8
m	10,9	14,2	18,45	23,15

TRABA 7.

УВЕЛИЧЕНИЕ К.П.Л. ИСПОЛЬЗОВАНИЕМ ГАРМОНИК.

Во всех предыдущих главах предполагалось, что колебания в контурах могли быть только синусоклальные. Так, вапример, двубольнотый контур вастраивалоя таким обравом, что одна из кратных частот исключалась. В контуре.

ОТВЕЧАСЩЕМ ТОЛЬКО НА СИНУСОИЛАЛЬНЫЕ КОЛЕСАНИЯ, ПОЛЕЗНАЯ МОЩНОСТЬ ОПРЕДЕЛЯЕТСЯ ССНОВНОЙ СОСТАВЛЯЮЩЕЙ ТОКА, НАХО-ДЯЩЕЙСЯ В Фазе с напряжением, в то время как все осталь

ные составляющие тока дают потери. Следующие рассуждения покажут, что можно чувствительным образом повысить К.П.Д. и полезвую мощность, если сделать новтур нагрузки реагирующим на известные гармоники, так что не вся

идущая на эти гармоники мощность войдет в потери в дампе.

Осозначни (фиг. 47) черев:

X - приложенное пост. напр. ер- мгн. эначение падения напр. между анодом и нитью

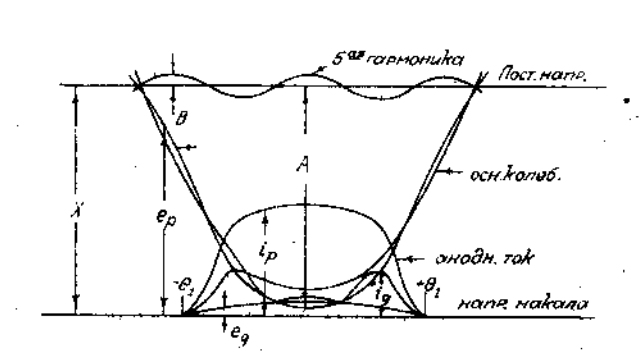
eg - мгн. значение напр. между сеткой и нитых in- мгновенное значение анодного тока ig - мгновенное значение сеточного тока.

Тогда: $X1_{p}$. мгнов. значение подводимой мошности $(X-e_{p})1_{p}$ - мгновенное значение полезной мошности (пренесрегая потерями в цели сотки).

 $e_{q}i_{q}$ мгновенное значение потерь в цепи сетки $(X-e_{r})i_{r}-e_{q}i_{q}$ - мгновенное значение полезной можн.

 $\frac{(X-e_p)i_p-e_qi_q}{Xi_p}$ - мгновенисе значение К.П.Д.

е,- угол отсечки тока.



фиг. 47. Кривые тока и напряжения в контурах с фильтром для гармоник.

Если пренесречь потерями в цепи сетки, то мгновенное вначение Н П.Д. равно $\frac{(X-e_p)}{X}$. Для того, чтосы помучить сольшое среднее значение Н.П.Д. необходимо, чтосы e_p сохраняло в течение значительной части периода малое значение

Это можно осуществить использованием несинусоидального напряжения, содержащего гармоники с соответствукщими фазами, сплишивающие кривую анодного тока (фиг. 47),
Очевидно, что наличия такой гармоники не достаточно для
того, чтобы показать, что при этом К.П.Л. повышается.
Гармоника эта должна возбуждаться в настроенном для нее
контуре за счет мощности генератора. Поэтому предположим, что кривая анодного тока содержит желаемую гармочику и рассмотрим, хнатит ли ее мощности для того, чтосы поддержать колебания соответствующей гармоники энол-

вого чапряжения.

Пусть:

 $e_n = X - A \cos \theta + B \cos n\theta$

Тогда:

(А сов θ - В сов $n\theta$) i_{τ} = полезной мощности (есл превебречь потерями в цепт сети

T.O.

А сов 0.1 г - полезной мошности основного колесания, а

-В сов $n\theta$.1_p - полезной мошности n-ой гармо-

Есми для взятого из х-ки лампы значения і рассматриваемая гармоника дает положительную мощность, то ее можно возбудить в настроенном на нее контуре (фир. 49) для того, чтобы поддерживать соответствующие значения амплитуды и фазы кривои вводного напряжения. Если

полезная мошность гармоники мала, то она может оказаться недостаточной для того, чтосы поддерживать колесания

анодного напряжения соответствующей формы. При отрипательном значении

мощности гармоники, фаза возбуждаемой гармоники анодного напряжения су-

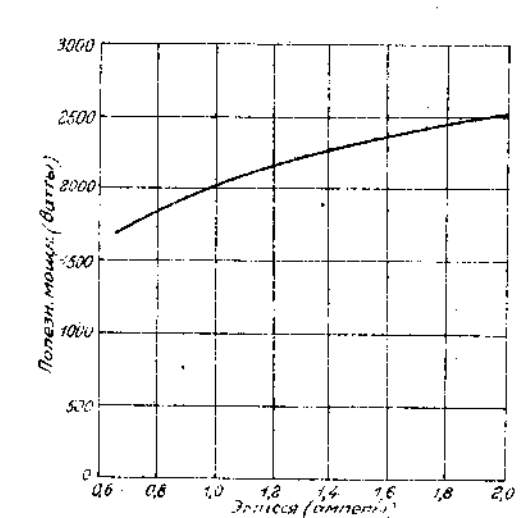
дет неправильна В этом случае кривая анодного

реннук форму и К.П.Д. уменьшится вместо того,

напряжения примет заост-

чтобы увеличиться.

Случан положительной и отрицательной мещности могут



фиг. 48. Емчисленная зависимость полезной мощности от то ка эмиссии для Радиотрона UV-206 при Е_г- 15000в. и потерях в лампе 350 ватт. встретиться при вычислении мощности различных гармоник одной и той же кривой внодного тока. Возымем х-ки фиг.4. Значения полезной мошности, потерь и К.П.Д. для синусс идальных анодного и сеточного возбуждений ланы в табли- це 4. Из фиг. 47 видно, что для приплиснутой кривой при θ_1 = 0 мгновенное значение мощности гармоник отрицательно. Для того, чтобы мощность эта была положительна, нефосторимо, чтобы в части периода, в течение которой ток идет, укладывалось 3/2 периода гармоники. Это значит, что если желетельно использовать пятуи гармоники 180° . Сонответственно этому θ_1 должно равняться 54° и 90° , или, округляя. 60° и 90° , или, округляя. 60° и 90° .

В таслице 5 приведены вычисления для случая испольвования 5-ой гермоники анодного напряжения, из этой таслицы видно, что при $\theta_1 = 60^\circ$ можно получить для поддержания гармонического колебания 16 ватт, а при $\theta_1 = 90^\circ$ мощности никакой получить нельзя.

Таслица 6 дает вычисления для случая использования третьей гармоники анодного напряжения. В этом случае при $\theta_1 = 60^\circ$ мощность равна-77 ватт, т.е. гармоническое колесание возникнет с неправильной фазой, что может привести к нежелательным результатам. Для $\theta_1 = 90^\circ$ можно для покрытия потерь в поглошающем контуре получить 38 ватт. Соотношение между мошностью гармоники тока и гармоникой напряжения зависит от данных поглощающего контура.

Так, например, для приведенных здесь х-к и постоянных контура можно, имея достаточно эффективный поглощакший контур, существенно повысить значение полного К.П.Д.
Полезная мощность правильно сконструированной лампы ограничена допускаемым на нагрев рассеянием, Поэтому зависимость между полезной мощностью и К П.Д. выражается
востношением:

Полезн. мошность К.П.7

На основалии этого можно сназать, что для $\theta_1 = 60^\circ$ пользование контуром, настроенным на пятую гармонику, повышает полезную мощность на 57%, а для $\theta_1 = 90^\circ$ третья

гармоника дает повышение мощности на 95%. Эти цифры получены в предположении, что К 🗎 🔏 яв-

ляотся тункцией только угла отсечки тока, что не всегда имеет место. В таблице 7 лана зависимость К Π д от эмис син для θ_1 = 60° Π этой таблицы видно, что для одного и того же угла отсечки тока увеличение эмиссии лишь сласо влияет на величину К.П.Д., так что при отсутствии настроенных на гармовики контуров повышение эмиссии будет только перегровать лампу.

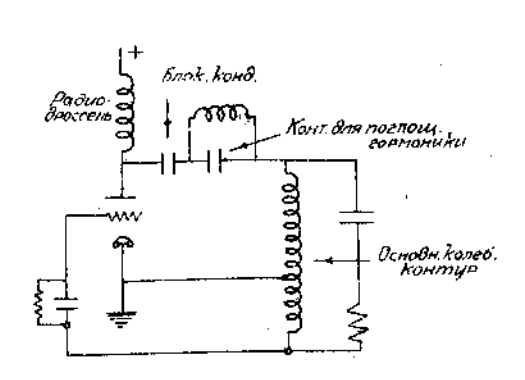
Величину полевной мощности можно несколько повысить

и сез настроенных на гармоники контуров увеличением тока эмиссии и уменьшением угла отсечки тока. Увеличение
полезной мощности на 57% для θ_1 = 60° использованием пя
той гармоники осответствует повышению эмиссии прислизительно на 51%, т.е. с С,7а. до 1,1а. Φ иг. 48 показывает,
какое можно получить повышение полезной мощности увеличением тока эмиссии и уменьшением угла этсечки тока при
постоянной величине потерв. Повышение эмиссии с 0,7 до
1,1 сез применения настроенных контуров увеличивает полезнук мощность на 20%. К этой же Φ иг. 48 необходимо отвести и повышение, которое можно получить, применяя настроенный на гармонику контур. Это даст для действительвого, приписываемого гармонике, повышения значение 157-120, т.е. 30%. Из кривои можно видеть, что дальней-

120 година на кривои можно видеть, что дальнаямее повышение эмиссии, сез использования гармоник, никакого выигрыша не дает.

Если мошности гармоники не достаточно для того, чтосы поддерживать колесания в настроенном для нее контуре, то ее необходимо увеличить. Все, что делает кривук солее плоской, увеличивает мошность гармоники. Ограниченность тока эмиссии действует также в этом направлении, и возножно, что часть мощности гармоники судет возврашена на СЕТКУ И УСТАНОВИТОЯ ГАРМОНИЧЕСКОЕ КОЛЕСАНИЕ ЖЕЛАЕМОЙ МОЩ НОСТИ. ЭТА ВОЗВРАЩЕННЫЯ ЧАСТЬ ДОЛЖНА СИТЬ МАЛА ПО СРАВ-НЕНИЕ СО ВСЕЙ МОЩНОСТЬЕ, Т. К. В ПРОТВНОМ СЛУЧАЕ НЕ СУЛЕТ СОХРАНЕНО ТРЭСУЕМОЕ СОСТНОШЕНИЕ ТАВ.

фиг. 49 изображает схему контура, в котором может вов суждаться гармоника анодного напряжения.



фиг. 49. Колобательный контур с фильтром для гармоники.

Предылущие выводы основаны на вычислениях с помощьк х-к, а не на величине подводимой мощности и опытах потерь генерирующей лампы. Поэтому они являются теоретическими. Послуживане основанием для вычислений опыты прооты и были подтвержены опытами над синусондально колеблющимися контурами. Т. к. х-ки различных типов ламп сильво отличаются одна от другой, особенно в отношении содержания гармоник в кривой анодного тока, то для общего
случая нельзя дать правильного метода получения требуемой мощности гармовики. Возможное повышение полезной
мощности зависит от эффективности лампы, представленной
в процемтах от полного анодного напражения, теряемых на
преодоление пространственного заряда. Чем выше в этом
отношении эффективность лампы, тем большую можно получит
стдачу применением настроенного на гармонику контура.

Таблица 4.

15000 в. Эмиссия - 0,7 а. Максимальное подожительное напряжение сетии - 650 в. Минимальное анодное нап-

<u> </u>	ряжени	e - 813	B.		
θ_4	5.0°	60°	700	800	900
Подвод. мощность	1,828	2,165	2,500	2,860	3,180
Электрон, потери	264	380	523	717	928
Полные потери	316	415	546	730	932
полеви. мащноэть	1512	1750	1954	2130	2248
н. п. д.	82,7	80,9	78,2	74,5	70,7

таслица 5.

15000 в. Эмиссия - 0,7 а. Амплитуда основной составляющей анодного напряжения - 15000 в. Амплитуда 5-й гармоники - 800 в. Наксимальное положительное напряжение сетки - 640 в.

θ,	50° 60°	700	80°	900
Подвод. мощность	2,100)		3,150
Электрон потери	224	<u> </u>		778
полные потери	274			782
Осв. полезв. мощн.	1826		:	2368
к.а.д.	87	,		75
(считая как потерк)	16			0,1

. Таблипа 6

15000 в. Эмиссия - 0,7 в. Амплитуда основной составляющей анодного напряжения - 16400 в. Амплитуда 3-и гар мовики аводн. вапряжения - 2200 в. Максим. положитель-

0,	50°	60°	7-0	80°	800
Подвод. мошность		2,130			3,150.
Электр. потери		165			496
Полные потери		198		<u>:</u>	538
Полезн. основн. мощн.		2009			2572
к.п.д.		-			82,5
Подезн. мощн. треть- ей гармоники (счи- тается, как потери)		- 77			+ 38
•					
]	i		1

15000 в., минимальное анодное напряжение - 800 в. Максимальное сеточное напр. - 640в. $\theta_1 = 60^{\circ}$

Эмиссия	0,7	1,0	1,5
Полвод. мощность	2,165	2,820	3,570
Электронные потери	380	468	560
Полные потери	415	505	617
Полезная мощность	1750	2315	2953
н.п.Д.	80,9	82,0	82,5
	!!!	!	

приложение.

ТЕОРИЯ РАДИОТРОНА.

Краткий осзор некоторых наименее заметных особенностей в расоте дампового генератора может оказаться полек ным при решении известных задач. В дальнейшем изложении сдежана попытка кратко коснуться различных факторов приведением теоретических формул и указанием на степень соответствия между теорией и практикой.

змиссия.

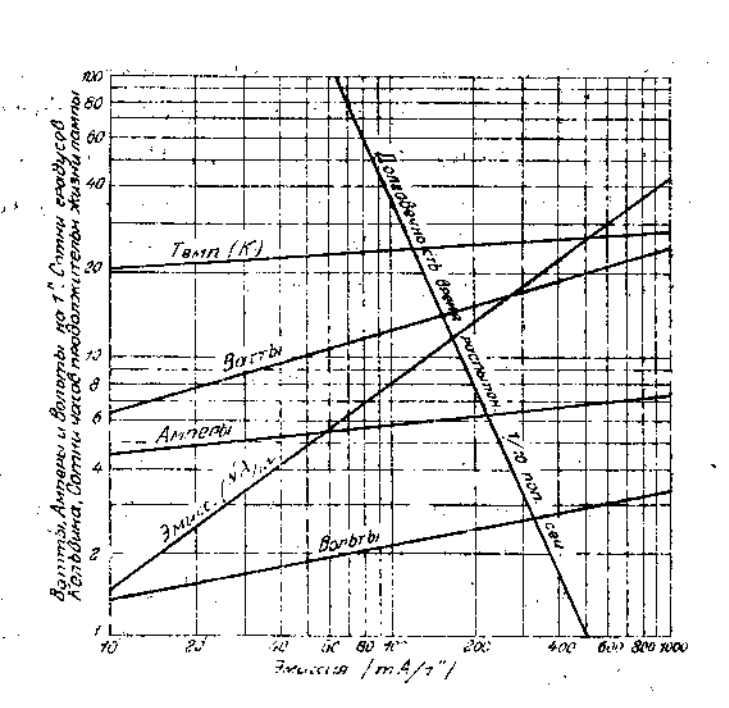
Раскаленная вольтрамовая нить излучает электроны. На

фиг. 50 представлены вольты, выперы, ватты и температура в зависимости от эмиссии вити дивметром в 0,25 мм. Ваятне на этих кривых звачения не соответствуют наследаемым в действительности. Причины этих отклонений могут сыть двух родов. Температурные влияния обуславливаются электродами, конструкцией стоек нити и самими токами эмиссин. Окружающие электроды отремятся отразить звачительную часть тепла обратно и нити. Е дампе совершенной пилиндрической формы отраженное тепло, собирающееся на выти, может значительно ее перегреть и ток эмиссии возрастет. Напряжение оказывает меньшее вдияние, т.к. с по-

Провода и стойки деяствукт охлаждающим образом на

вышением температуры сопротивление увеличивается. Обычвые несимметричные нити так расположены, что на них не может собраться сельшого количества отоаженного тепла. онцы и другие части нити, что понижает эмиссик. Это поижение эмиссии можно учесть, считая эффективную длину ити несколько меньше деяствительной.

Если накал нити производится переменным током, частоы отличной от контура, то ток в осоих концах нити симетрично увеличивается, что компенсирует охлаждение, прозводимое подводящими проводами. При токе накала постонном или синхронизированном с током эмиссии, один коец нити нагревается сильнее и полный ток эмиссии значиельно повышается



фиг. 50. Мощность накала нити диаметром 0, 25 мм. Температура ссхраняется постояние или вити диаметром ..d.*

Эмиссияd = 9миссин $10^{\frac{d}{10}}$; Раттыd = 88ттам $10^{\frac{d}{10}}$;

-ОТКОД=витин атэонревотасц; $\frac{1}{10}$ ($\frac{1}{10}$) $\frac{3}{10}$ итин . ПМЕ $\frac{1}{10}$ итин . $\frac{1}{10}$ жол вечности нитин . $\frac{1}{10}$ жол итин . $\frac{1}{10}$ жол итин . $\frac{1}{10}$ жол и $\frac{1}{10}$ жол и $\frac{1}{10}$ и $\frac{1}{10}$

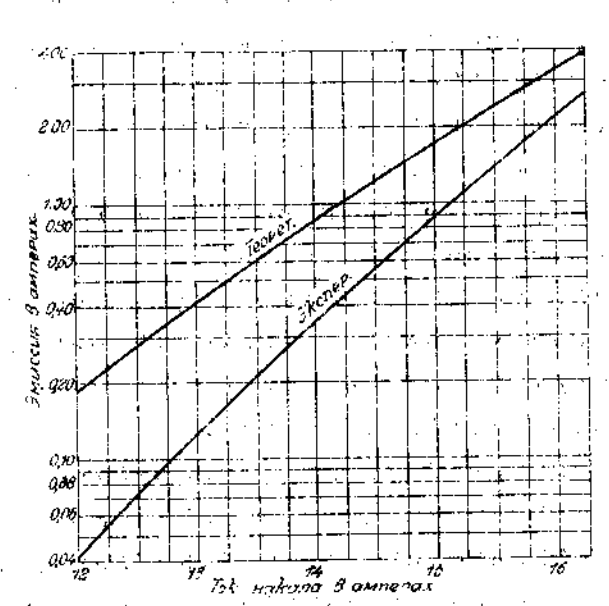
Проволжительность живни вити сольше всего тогда, когда она накаливается равномерс по всеи длине. Для етого требуется, чтобы ток накала был либо всинхронный либо в квадратуре с током эмисоки.

Нроме накала на величину эмиссии может также сильно влиять и форма нити. Намотанная густо в виде опирали нить представляет сосой электростатический экран дл внутренних частей ее витков. Такое же, менее заметное влияние, оказывают нити в форме у или ж. Развости по тенциалов между соседними витками также могут влиять н эмиссик от положительных частей.

ХОТЯ, ТЕОРЕТИЧЕСКИ, ЭТИ ЭКРАНИРУЮШИЕ ВЛИЯНИЯ ДОЛКНЫ ВЫЗЫВАТЬ ИЗМЕНЕНИЯ ПРОСТРАНСТВЕННОГО ЗАРЯДА, А НЕ Т
КА ЭМИССИИ, НАПРЯЖЕНИЯ, ТРЕСУЕМЫЕ ДЛЯ ТОГО, ЧТОСЫ ИЗВЛЕЧЬ ВОВ ИЗЛУЧАЕМЫЕ ЭЛЕНТРОНИ, ОТАНОВЯТСЯ СЛИШКОМ ВЫСОМИМИ ДЛЯ НАСЛЕДЕНИЙ ПРИ СТАТИЧЕСКИХ ОПЫТАХ. ХАРАКТЕР
НЫЙ ПРИМЕР РАСХОЛДЕНИЯ МЕЖДУ ТЕОРЕТИЧЕСКОЙ (ПРЯМОЛИНЕЙ
НАЯ НИТЬ) И НАСЛЕДЕНИЯ МЕЖДУ ТЕОРЕТИЧЕСКОЙ, ЭМИССИ
ПРЯМОЛИНЕЙНОЙ НИТЬ, Б1. КАК УЖЕ РАВБИЕ СООСМАЛОСЬ, ЭМИССИ
ПРЯМОЛИНЕЙНОЙ НИТИ, РАСПОЛОЖЕННОЙ ПО ООИ ПИЛИНДРА, РАВ
НА ТЕОРЕТИЧЕСКОЙ И МОЖЕТ СЫТЬ ДАЖЕ НЕСИОЛЬКО СОЛЬШЕ ИЗ
ЗА ОТРАЖЕННОГО ТЕПЛА. ИЗ ТИГ. 51 МОЖНО ВИДЕТЬ, ЧТО ДЛЯ
СОЛЬШИХ ТОКОВ НАКАЛА НАСЛЕДАЕМАЯ ЭМИССИЯ ГОРЗЕЛО СЛИЖЕ
К ТЕОРЕТИЧЕСКОЙ.

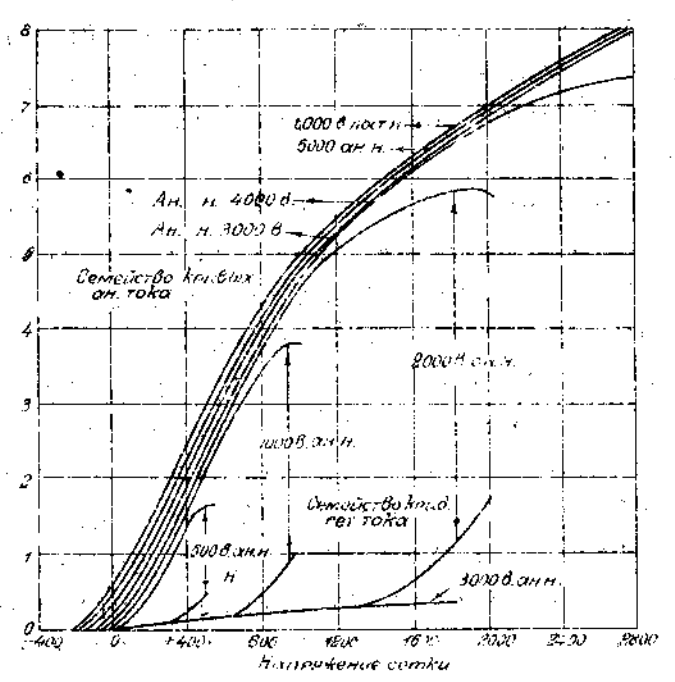
Одно из возможных объяснений этого явления заключае ся в том, что при более высоних температурах элентроны могут проходить с первоначальной скоростью из наисолее энранированных областей по другим частям нити и стойка в лампах с нитью сложной формы переход от области пространственного заряда к области тона насыщения очень постепенный. Удачный пример такого случая приведен на риз б2. Нить имвет форму двойного у и стойки ее расположены очень близке. Теоретически ток эмисси ранен 10-121

но уже при ба. начинается насышение, при чем ниже этой точки предполагается, что активными являются только вну ние части витков нити. Поэтому для современных типов ви



Тиг. 51. Эмносия Конотрова DV-218 с V-осразной нотых днам. 0,457 мм. Нить вольфрамовая с активной влиной в 108 мм.

тей нельзя непосредственно пользоваться теоретическими панными



Фиг. 52. X-ни Радиотрова с водяным охлаждением, полученные экотраполяцием.

осласть простревотвев вого заряда.

для лемп цилиндрической формы теоретическое ур-е в области пространственного заряда имеет вид:

$$i = 14.65 \times 10^{-6} \frac{LV^{3/2}}{R g^2}$$
.

Это соотношение построево графически для $oldsymbol{eta}^{z}=1$ на фи

БЗ. β^2 является функцией отношения радиусов внода и катода. Если диаметр катода сольше 1/10 диаметра внода, то β^2 не равно 1. фиг. 54 дает зависимость β^2 от отношений и на. В приведенных высе формулах предполагается, что нить представляет сосой поверхность равного потенциала. Ток нанала создает педение напряжения влоль нити и она уже не является поверхность равного потенциала. Фиг. 55 дает величины обисок, которые мы вносим, пренесрегая этим падением напряжения. Для внодного напряжения, мень шего падения вдоль нити, накаливаемой постоянным током.

ток в области пространственного заряда задается соотно-

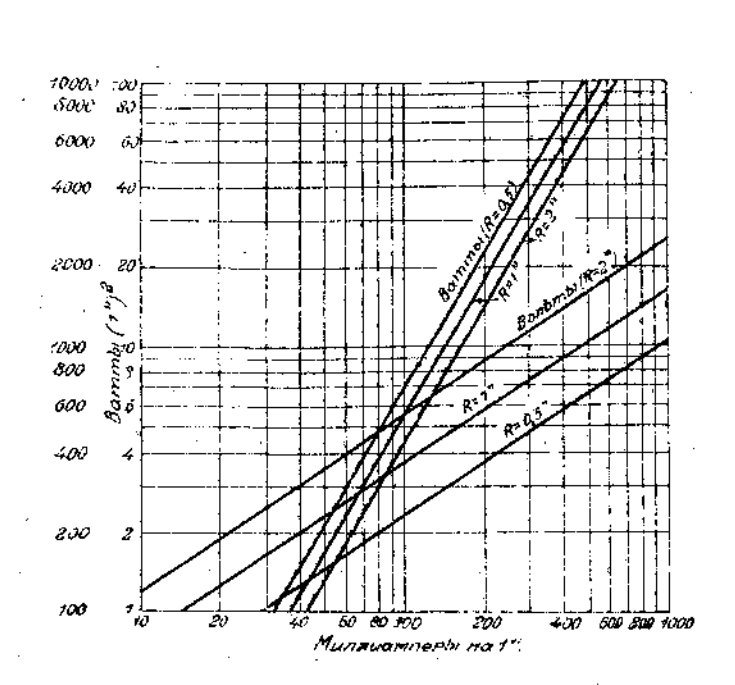
пением:

X = 14,65 x 10 одля цилиндр. анода.

Vo * паденик напр. вдоль нити.

Существует некоторое несогласие между этими формужами и полученными в действительности значениями. Для
трехэлектродной лампы было найдено эмпирически, что кри
вая зависимости анодного тока от ансдного напряжения пр
нулевом потенциале сетки приближается к параболе, и некоторые авторы приводили это в качестве дсказательства

протие закона отепени 3/2. Для напряжения нужно срать вначение результирующего анодного и сеточного напряжений,



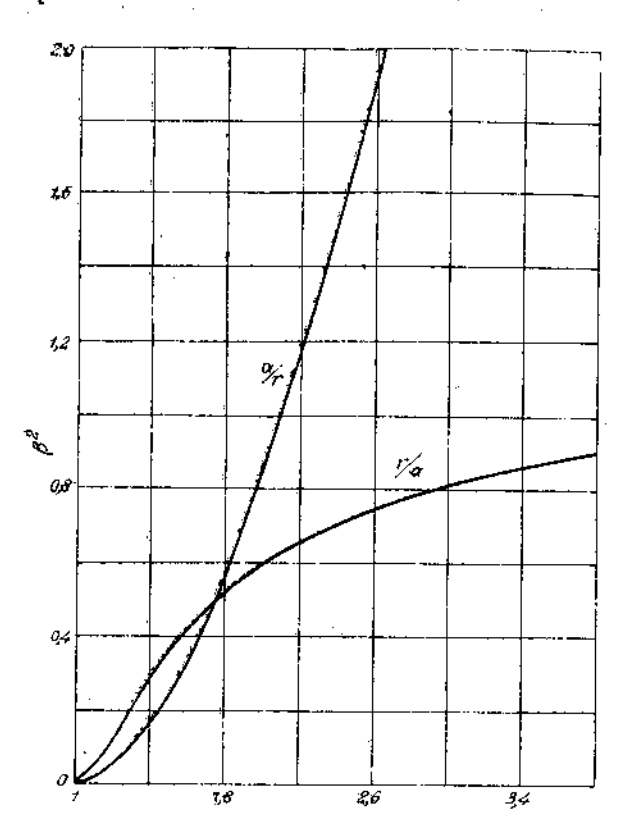
Тиг. 53. Область пространственного заряда для цилиндряческого анода диаметр. R, вычисленного из тормулы $1 = 14,65 \times 10^{-6} \frac{\text{LV}^{3/2}}{\text{RG}}$

ель степени намэняется от 3/2 до 5/3, так что мы в средем имаем квадратичный заков. Это очень ясно виведено у ап der Bijl'a ("The Thermoionic Vacuum Tube", page 236). яг. 56 дает соответствие между теорией и результатами аслидений. Для того, чтось теоретическая и эксперименальвая кривне совпали, необходимо, чтосы активная длиа вити была равна 60,4 мм., чего и нужно ожидать, есля ринять во внимание сулаждение концов нити. Помасатель тепени равен 3/2. Напряжение накала для этого случая авно 11 в. Согласно данным фиг. 55 отступление от зако-

а отепени 3/2 составляет только 01%.

: уоилительных дампах это результноующее напряжение, пра-

Для случея Радиотрона потенциал внутри сетки зависит как от напряжения сетки, так и от анода. Диаметр ин-

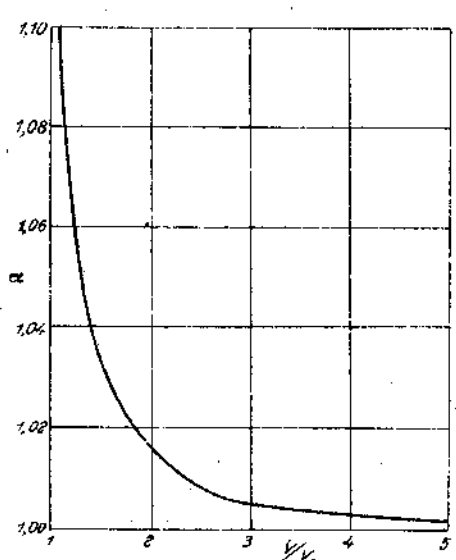


фиг. 54. Осласть пространотвенного варяда для цилиндр. анода и натода серконечвой длины. i=14,85 $\frac{LV^{3}}{R}$ х 10^{-6} . В-напр. В

вольтах, r-раднус анода, а-раднус катода, 1-длина рассматриваемого отрезна. При сольвих значениях $r/a - \beta^2$ прислижается и 1.

линдра, которыя оказывал бы то же самое экранирующее лействие, является ореднии между анодом и сеткой. Для густой решетчатой сетки эквивалентный диаметр очень мало отличаеся от диаметра сетки. Фиг. 57 дает теоретические вначения тока в области пространотвенного варяда для лампы с нитьк и анодом тех же размеров, что и в кенотроне предыдящего параграфа, но имекшей и сетку. На-

Слидаемые величины совпадают с теоретическими в пределах ошисок наслидений. Повидимому, виже заметного нас щения ур-ия для области пространственного заряда могу



Тиг. 55. Поправки на падение напряжения вдоль нити. $1 = \frac{KL}{r^{\infty}} (\frac{V-V_0}{2})^{\frac{3}{2}} x_a$. V-напр. между знодом и отрицительным концом нити. V₀-падение напр. вдоль вити. Для V4V₀ активная длина нити равна LV/V₀, что дает 1 = 0, $4 \frac{LV}{r^{\infty}} \frac{3}{2}$.

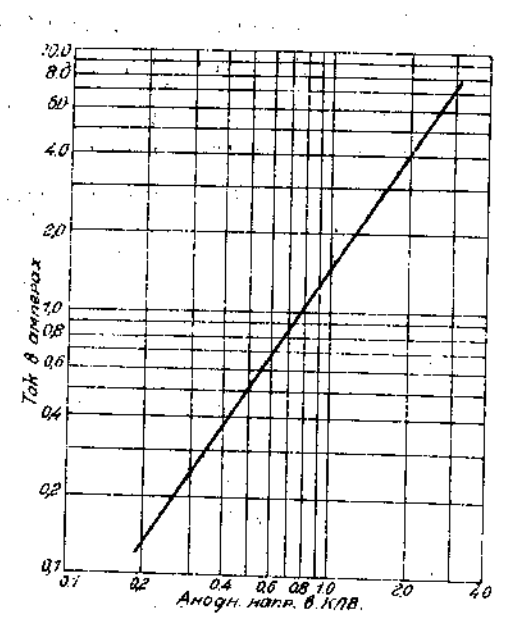
применяться с сольшой степенью точности, если только и вестны эффективные значения длины нити и диаметра анод

Постянная усиления.

Для определения усилительной постоянной Радиотрона в настоящее время, повидимому, еще не существует викак годиых теоретических ур-ий. Старые формулы предполагаю что диаметр проволски мал по сравнение с отверстиями. Д сольшинства генераторных и многих усилительных ламп эт сриулы очень неточны. Даже и сез указанного ограничения наличие стоек сетки представляет сосой серьевный ис

точник овисом. Поэтому для предварительного определения приходится пользоваться тольно эмпирическими методеми.

оноделению усилительной постоянной сыло посвящено исследовании и имеется много эмпирических данных.



риг. 56. X-ки кенотрона UV-318 в области пространотвенного заряда. V-образная нить диаметром 0,46 мм. Ллина нити 140 мм. Лиам. анода-38 мм., длина его-76 мм.

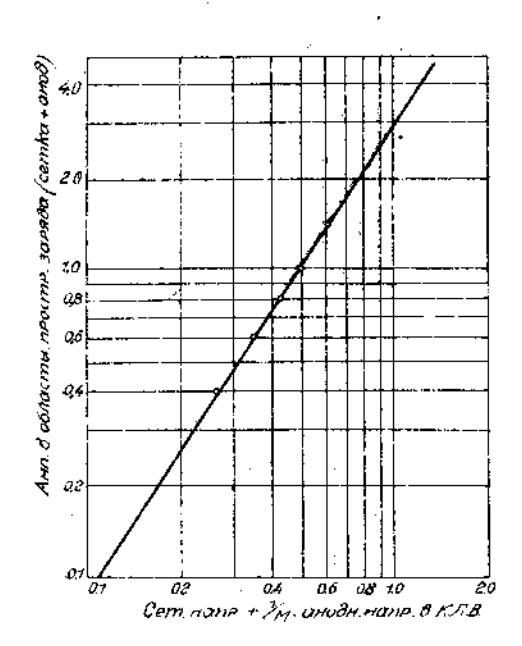
Примэчание: Эти кривые получены из опытов; теоретически длина каждой половинки у-ос-развой нити предполагалась равной 60,4 мм.

Разделение первичных электронов.

Самым основным законом, приложимым к распределению основ между осткой и анодом, является пропорциональность корости элентрона корнк квадратному из потенциала, че-

закону, электрон не может удариться об электрод отрица тельный по отношени к нити с потенциалом, сольшим поте циала, соответствукщего скорости эмиссии. Воэтому при этрипательном потенциале сетки сеточный ток равен нуль

Нокимая места слиз самих ее проволон, сетка оназавает почти равномерное влияние на электроны, и т.к.эле троны отталкиваются друг от друга, то распределение их при приближении к сетке совсем равномерно. Постигая се ки, электроны попадают в поле, радиальное по отношение



Фиг. 57. Ток в области пространственного заряда в Радистроне UV-206. V-образная нить диам. 0,46 мм. и длиной 140 мм. Диам. анода 38 мм., длина его 76 мм. Диам. сетки 19 мм., витков 11,8/1 см., диам. проволоки 0,25 мм. м=250.

к се проволокам. Т. н. они к тому времени приосрели наи сольшук скорость, то их инерция воспрепятотвует оледова ник их радиальному полк, если только их скорость существенно, отличается по направлению. Те электроны, которые ударятся о сетку, не откловяясь от своего пути, суут притягиваться ек все время, поиз она судет положиельной. На сетну попадет еще также несольшая часть эдетронов, отклорившихся от своего пути. Количество ударивихся о сетку электронов судет пропорционально проекции
етки на плоскость и, в случае положительного анода, дотаточного для того, чтосы привлечь все прошедшие через
се электроны; отношение сеточного тока к анодному не
удет зависеть от их относительных потенциалов. Правильссть такого рода определения разделения первичных элек-

Вторичвая эмиссия.

равильно, то этклонение действительного стношения сеочного тока к анодному может сыть осъяснено вторичной миссией. Количественно вторичная эмиссия неизвестна. эвестно только, что если электрон ударяется с поверхюсть со скоростью большей, чем 5 вольт, то он может излечь или выбить еще один или неоколько других электроюв. Это количество выбитых электронов зависит от скороти бомсардировки, состояния поверхности и следов газа лампе. Скорость вторичных электронов может составлять начительную часть скорости сомсардировки и равняться 0-60 вольтам.

Если заключение, оделанное в предыдущем параграфе,

з анода и из сетки и сильно влияют на распределение тоов. При высоких анодных и низних сеточных напряжениях
торичные электроны летят в большом количестве от сетки
ансду, так что сеточный ток может стать не только ниже
еличины соответствующей проекции сетки на плоскость, но
аже отрицательным, что может явиться причиной срыва коесаний "ьlocking". При приближении сеточного напряжеия к анодному, наибольший поток электронов идет от анов к сетке, так что сеточный ток может стать даже солье анодного. Этим объясняется форма приводимых эдесь х-к.

В Радиотроне такие вторичные электроны извленаются

Потеря электронов с анода на сетку дает насыщение

и ограничивает амплитуду нолобаний. Это влияние вполне постоянно, но оно ограничивает величину полезной мошно отн и К.П.Д. лампы. Переход электронов с сетки на анод уменьшает потери на сетку, что дает преимущества вплот до точки, где сеточний ток принимает обратное направление. Но и тогда полезная мощность увеличивается, зато возможно повреждение присоров, имеющихся обычно в схем

совдаемей смешающее напряжение.

Геометрическими факторами, имеющими значение для при цеосов излучения вторичных электронов, янляется величи расстояния между анодом и сеткой посравненик с расстоянием между анодом и витьк. Если, по сравнению с расстоянием от нити, анод расположен бливно от сетки, то пространственный заряд между ними будет мал и перелет вторичных олектронов не вотретит препятствий. При сольном расстоянии между анодом и сеткой имеем обратное явление

Болькая часть материалов, послуживших для построения кривых в этой главе, получены Сыли от Dr'a Irving Langmuir'a.